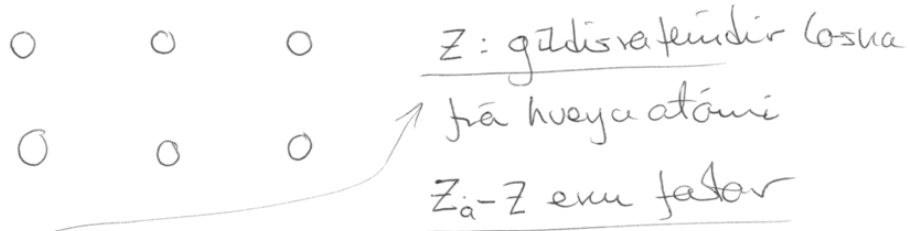


Litani Drudes af matnum

①

Rafeindagas í jóna-kristalli



↑ leðnirrafeindir

þéttleiki rafeindar

$$n = \frac{N}{V} = N_A [\text{mol}^{-1}] \frac{Z \rho_m [\text{g/cm}^3]}{A [\text{g/mol}]}$$

$$\frac{1}{n} = \frac{4\pi r_s^3}{3} \rightarrow r_s = \left(\frac{3}{4\pi n}\right)^{1/3}$$

$$a_0 = \frac{\hbar^2}{me^2} \text{ Bohr geisli}$$

fyrir málma $r_s/a_0 \sim 2-5$

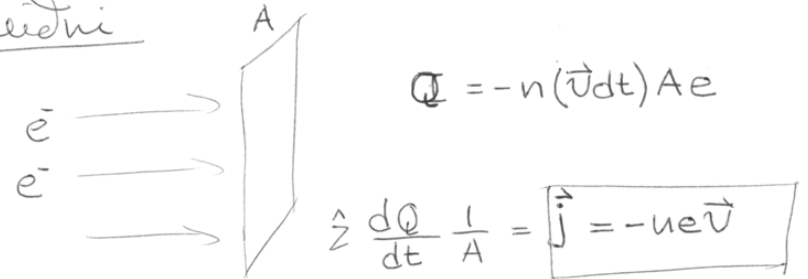
1000 x þéttleiki gass

Samt

②

- ① Frjálssarrafeindir, eugín vaxlvertum!
- ② 'Aretstar við jónir, ekki við rafeindir
- ③ 'A tímarnum dt eru litur \bar{a} aretstri dt/τ
 τ : slökunertími, meðal tími milli aretstra
- ④ Stoðbandið vanmáttu vegi, stefna rafeindar ekkert aretstar er stömbi stöð fæðin er hæg hita

DC-leidni



án ytra sviðs er $\langle \bar{v} \rangle = 0$

með ytra sviði klukkan t et
stöðast áretstar var við $t=0$

$$\langle \bar{v} \rangle = \langle \bar{v}_0 - \frac{e\vec{E}t}{m} \rangle$$
$$= -\frac{e\vec{E}}{m} \langle t \rangle$$
$$= -\frac{e\vec{E}}{m} \tau$$

$$\rightarrow \vec{j} = \nabla \cdot \vec{E} \quad \text{med} \quad \tau = \frac{ne^2 \tau}{m}$$

Ohms lögmál

τ má mola tíð og tíma $\tau \sim 10^{-14} - 10^{-15}$ s

medal hjarlaga á milli áreistna Hefbrigis
hita

$$l = v_0 \tau : \quad \frac{1}{2} m v_0^2 = \frac{3}{2} k_B T \quad v_0 \sim 10^8 \text{ m/s}$$

$$\rightarrow l \sim 1 - 10 \text{ \AA}$$

skýgur áreistna með jönu

Nými sýni ~~med~~ $k_B T \sim 0$ $l \sim \mu, \text{mm}, \text{cm}$

Heiðfjálfra refluða

medal skidþungi

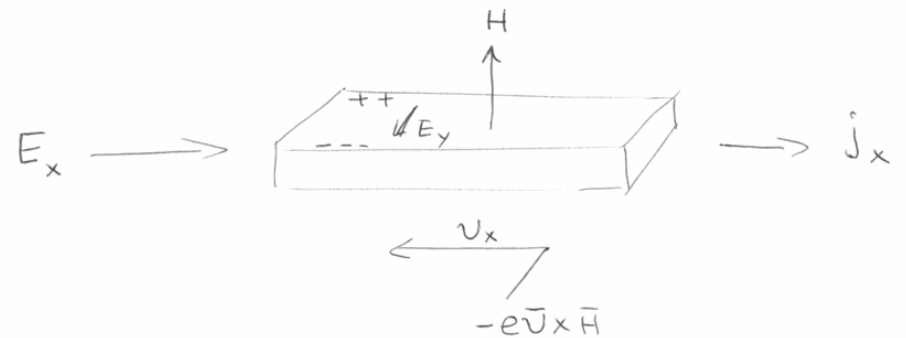
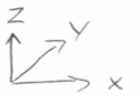
$$\vec{p}(t+dt) = \left(1 - \frac{dt}{\tau}\right) \vec{p}(t) + \vec{f}(t)dt + O(dt)^2$$

↑
veða ekki fyrir áreistni

$$\rightarrow \frac{d\vec{p}(t)}{dt} = - \frac{\vec{p}(t)}{\tau} + \vec{f}(t)$$

↑
viðnáms tíður

Segul viðnáms, Hall hit



$$\text{Lorentz } \vec{F} = -e(\vec{E} + \vec{v} \times \vec{H}/c)$$

Hallswiðid E_y verkar á móti Lorentz kv.

$$\text{Segulviðnáms: } \rho(H) = \frac{E_x}{j_x}$$

$$\text{Hall stuðull } R_H = \frac{E_y}{j_x H}$$

getur foneki
bera hleðslu

(5)

$$\frac{d\vec{p}}{dt} = -e\left(\vec{E} + \frac{\vec{p}}{mc} \times \vec{H}\right) - \frac{\vec{p}}{\tau}$$

stödugt ástand

$$\omega_c \equiv \frac{eH}{mc}$$

$$0 = -eE_x - \omega_c p_y - \frac{p_x}{\tau}$$

$$0 = -eE_y + \omega_c p_x - \frac{p_y}{\tau}$$

$$\rightarrow \nabla_0 E_x = \omega_c \tau j_y + j_x$$

$$\nabla_0 E_y = -\omega_c \tau j_x + j_y$$

$$\nabla_0 = \frac{ne^2 \tau}{m}$$

$$j_y = 0 \rightarrow E_y = -\left(\frac{\omega_c \tau}{\nabla_0}\right) j_x$$

$$= -\left(\frac{H}{nec}\right) j_x \rightarrow R_H = -\frac{1}{nec}$$

einungis háð n → málning á R_H
segir kl um gæði líkans

Hæð H álmennit

Lágt T eftir of stórt H } $R_H \rightarrow -\frac{1}{nec}$
hvein = gæði

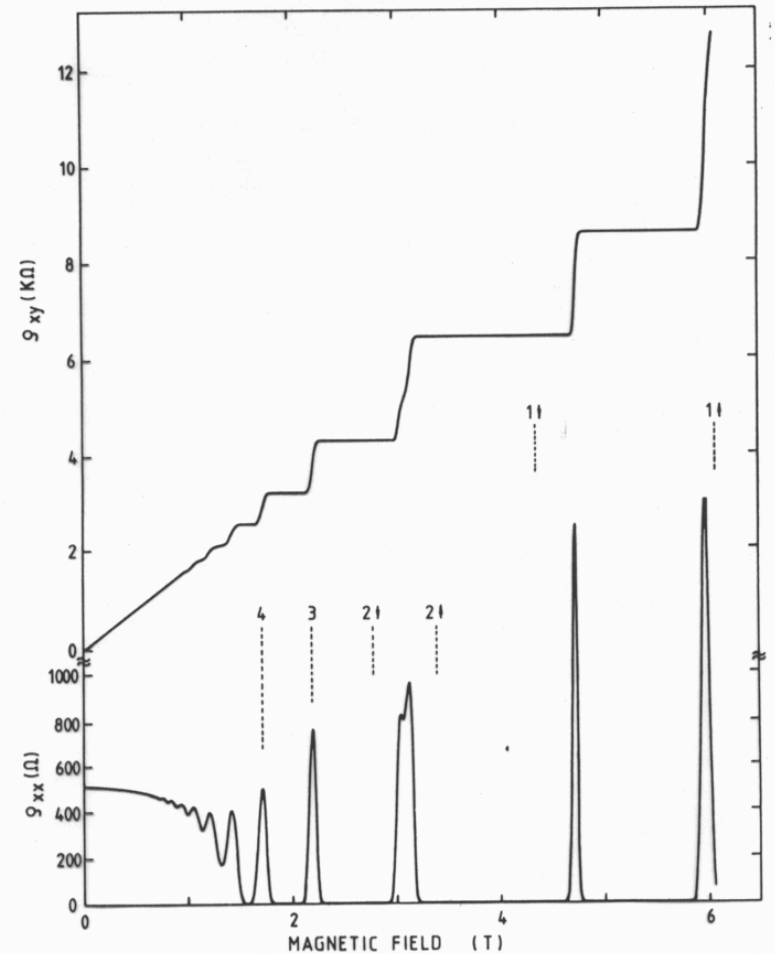


Fig. 14. Experimental curves for the Hall resistance $R_H = \rho_{xy}$ and the resistivity $\rho_{xx} \sim R_x$ of a heterostructure as a function of the magnetic field at a fixed carrier density corresponding to a gate voltage $V_g = 0V$. The temperature is about 8mK.

This analysis is based on the equation

$$\frac{1}{C} = \frac{1}{e^2 \cdot D(E_F)} + \text{const.} \quad (19)$$

The combination of the different methods for the determination of the DOS leads to a result as shown in Fig. (20). Similar results are obtained from other experiments, too [33, 34] but no theoretical explanation is available.

If one assumes that only the occupation of extended states influences the Hall effect, then the slope $d\rho_{xy}/dn_s$ in the plateau region should be dominated

ground state to the fully spin-polarized ground state at $\nu = \frac{8}{5}$. These experimental results lend support to a series of theoretical predictions about the spin-reversed ground state and excitations [4.23-27] and will be discussed in detail in Sect. 9.4. Finally, following a theoretical prediction about the possibility of observing the FQHE with *even* denominator fractions in multilayer systems [4.28,29], such observations were actually made in a double layer system [4.30] and will be discussed in Sect. 9.5.

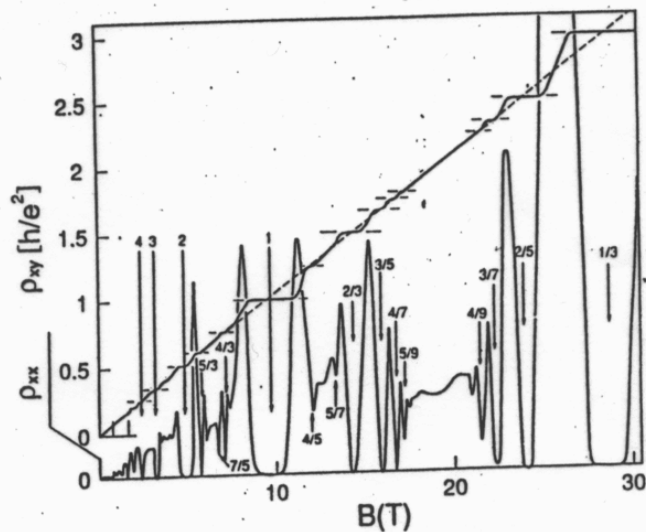


Fig. 4.2. Overview of the observed fractions in the FQHE measurements [4.5]. The Landau level filling factor ν has been defined in the text

In explaining the FQHE, a system of noninteracting electrons is, however, inadequate. According to our present understanding of the FQH electron correlations play a major role in this effect, and there have been a variety of theoretical attempts to understand this unique many-electron phenomenon. In the following chapters, we have attempted to survey many of these theoretical approaches, and have tried to present in detail the current state of our understanding of this fascinating effect.

As the fractional Hall steps are observable only in samples of very high mobility, impurity potentials are not expected to be very important in con-

AC-leadni

$$\vec{E}(t) = \text{Re}(\vec{E}(\omega)e^{-i\omega t})$$

Hayfijaman er

$$d_t \vec{p} = -\frac{\vec{p}}{\tau} - e\vec{E}$$

leitöðer lausna (stöðugastands) á forminu

$$\vec{p}(t) = \text{Re}(\vec{p}(\omega)e^{-i\omega t})$$

athugun

$$-i\omega \vec{p}(\omega) = -\frac{\vec{p}(\omega)}{\tau} - e\vec{E}(\omega)$$

$$\vec{p}(\omega) \{1 - i\omega\tau\} = -e\tau \vec{E}(\omega)$$

notun $j = -ne\vec{p}/m$



$$\vec{j}(\omega) \{1 - i\omega\tau\} = \frac{ne^2\tau}{m} \vec{E}(\omega) = \nabla_0 \vec{E}(\omega)$$

$$\vec{j}(\omega) = \nabla(\omega) \vec{E}(\omega), \quad \nabla(\omega) = \frac{\nabla_0}{1 - i\omega\tau}$$

$$\tau\omega \gg 1$$

$$\nabla_0 = \frac{ne^2}{m}$$

$$\epsilon(\omega) = 1 - \frac{4\pi\nabla_0}{\omega^2\tau}$$

$$= 1 - \frac{\left(\frac{4\pi ne^2}{m}\right)}{\omega^2} = 1 - \frac{\omega_p^2}{\omega^2}$$

ef $\omega < \omega_p \rightarrow \epsilon \in \mathbb{R} \quad \epsilon < 0$

lausur (*) ~~de~~ fæ

breytist fy - $\omega = \omega_p$

lausur sem de fæ ekki

matu verð gengsa

Hverjar eru afleiðingar $\nabla(\omega)$?

Plasma bylgjur (vatgas bylgjur)
gegasei málma

Langbylgju nálgun $\lambda \gg l$

Maxwells jöfnur

$$\vec{\nabla} \cdot \vec{E} = 0, \quad \vec{\nabla} \cdot \vec{H} = 0, \quad \vec{\nabla} \times \vec{E} = -\frac{1}{c} \partial_t \vec{H}$$

$$\vec{\nabla} \times \vec{H} = \frac{4\pi}{c} \vec{j} + \frac{1}{c} \partial_t \vec{E}$$

~~notum~~ leitum lausna með tímabætt $e^{-i\omega t}$
og notum $\vec{j}(\omega) = \nabla(\omega) \vec{E}$

$$\rightarrow -\nabla^2 \vec{E}(\omega) = \frac{\omega^2}{c^2} \underbrace{\left(1 + \frac{4\pi i \nabla(\omega)}{\omega}\right)}_{= \epsilon(\omega)} \vec{E}(\omega) \quad (*)$$

$$\epsilon(\omega) = 1 + \frac{4\pi i \nabla}{\omega} = 1 + \frac{4\pi i}{\omega} \frac{\nabla_0}{1 - i\omega\tau}$$

athugum mjög háa tíðni $\omega\tau \gg 1$

Hitaleidni

(9)

Einangra \rightarrow slöm hitaleidni

málmur \rightarrow góð hitaleidni

\downarrow Drude

hitaleidni er vegra ferðni reftenda

$$\vec{j}^q = -k \vec{\nabla} T$$

\uparrow
varmaleidni

Wiedemann-Franz reglan

$\frac{k}{\nabla T}$ er fasti fyrir marga málma
reynskulögumál

Drude $k = \frac{1}{3} v^2 \tau C_v = \frac{1}{3} l v C_v$

með $\left(\frac{dE}{dT}\right) \frac{1}{v} = C_v$ eðlisvarmi reftenda

$$\frac{k}{\nabla T} = \frac{\frac{1}{3} C_v m v^2}{n e^2}$$

sigtú gas $\rightarrow \frac{k}{\nabla T} = \frac{3}{2} \left(\frac{k_B}{e}\right)^2$

helmingur þess sem málist

$\frac{E_n}{\nabla T} (C_v)_{class} = 100 (C_v)_{ska}$

~~$(v^2)_{class} = \frac{1}{100} (v^2)_{ska}$~~

við kerbergishita

$\frac{E_n}{\nabla T}$ Ohm reglan, plasma tíðni
benda til þess að vöxlvertun
reftendanna sé hverfandi

\updownarrow
hverning getur það verið við
þéttleika sem er mjög há
og sterk Coulomb vöxlvertun

(10)

Sommerfeld líkanid

①

- ① Fermi dreifing fyrir beini rafeldir.
- ② Engin vixlverkan milli rafeldna.
- ③ Jöwir \rightarrow Einstötu jökbödur batgr.
- ④ Stærta fjödi, hálfklassískt.

Grunnstand kerfis ($T=0$)

Hver rafeld hefur samtvent

$$-\frac{\hbar^2}{2m} \nabla^2 \psi(\vec{r}) = \Sigma \psi(\vec{r})$$

þeim er ræðað á orkusky samtvent Fermi dreif.

Útjum losna við yfirborðs áhrif, tökum $V \rightarrow \infty$. Notum Boru-voukanna

$$\psi(\vec{r} + \vec{R}) = \psi(\vec{r})$$

$$\vec{R} = nL\hat{x} + mL\hat{y} + lL\hat{z}$$

②

lausu jöfnunar er

$$\psi_{\vec{k}}(\vec{r}) = \frac{1}{\sqrt{V}} e^{i\vec{k} \cdot \vec{r}}$$

$$\Sigma(\vec{k}) = \frac{\hbar^2 k^2}{2m}$$

$\psi_{\vec{k}}$ er eiginfall skriðþunga virkjan

$$\vec{p} = -i\hbar \vec{\nabla} \text{ með eiginq. } \vec{p} = \hbar \vec{k}$$

$$\vec{v} = \frac{\vec{p}}{m} \text{ og } \lambda = \frac{2\pi}{|\vec{k}|}$$

Jöfnustýringin gefa

$$e^{i\vec{k}_i L} = 1 \rightarrow k_i = \frac{2\pi n_i}{L}$$

$V \rightarrow \infty$ þ.a. bilid á milli k -gilda $\frac{2\pi}{L}$ sé mjög smátt m.v. stöð

k -rúmsins sem er setin Ω

(mítill fjöldi rafeldna)

(3)

$$\text{fjöldi } k\text{-gilda} = \frac{\Omega}{(2\pi/L)^3}$$

$$\text{þéttni punkta í } k\text{-rúminu er } \frac{V}{8\pi^3}$$

Ω : kúlugaga með gleiða k_F

$$\rightarrow N = \left(\frac{4\pi k_F^3}{3}\right) \left(\frac{V}{8\pi^3}\right) = \frac{k_F^3}{6\pi^2} V$$

↑ fjöldi ástanda

Tvær spuna stefnur \rightarrow

$$\text{fjöldi rofenda } N = \frac{k_F^3}{3\pi^2} V$$

\rightarrow þéttleiki rofenda

$$n = \frac{k_F^3}{3\pi^2}$$

Fermi kúla
yfirborð

$$\text{Skriðþungi } p_F = \hbar k_F$$

$$\text{hæð } v_F = p_F/m$$

(4)

Atungid vel (2.22) - (2.26)

Atungum meðalorku

$$\text{heildar: } E = 2 \sum_{k < k_F} \frac{\hbar^2}{2m} k^2$$

Þreytum summu í heildi $V \rightarrow \infty$

$$\Delta \vec{k} = \frac{8\pi^3}{V}$$

$$\sum_{\vec{k}} F(\vec{k}) = \frac{V}{8\pi^3} \sum_{\vec{k}} F(\vec{k}) \Delta \vec{k}$$

$$\rightarrow \lim_{V \rightarrow \infty} \frac{1}{V} \sum_{\vec{k}} F(\vec{k}) = \int \frac{d\vec{k}}{(2\pi)^3} F(\vec{k})$$

og

$$\frac{E}{V} = \frac{2}{(2\pi)^3} \int_{k < k_F} d\vec{k} \frac{\hbar^2 k^2}{2m} = \frac{1}{\pi^2} \frac{\hbar^2 k_F^3}{10m}$$

5

$$\frac{E/V}{N/V} = \frac{E/V}{n} = \frac{3}{5} \Sigma_F = \frac{E}{N}$$



mjög stört m.v. $\left(\frac{E}{N}\right)_{\text{klass}} = \frac{3}{2} k_B T$

p. $T \rightarrow 0$

Skilgreinum Fermi hita stig

$$T_F k_B = \Sigma_F$$

$$\rightarrow T_F = \frac{58.2}{(r_s/a_0)^2} \cdot 10^4 \text{ K}$$

Rafeldsgas málma er Kulgas (degenere)

Athugum við $T \neq 0$

$$f(\epsilon_i) = \frac{1}{e^{(\epsilon_i - \mu)/k_B T} + 1}$$

7

$$2 \int \frac{d^3k}{(2\pi)^3} F(\Sigma(\epsilon)) = 2 \cdot \frac{4}{3} \pi \int_0^\infty \frac{k^2 dk}{(2\pi)^3} F(\Sigma(\epsilon))$$

$$= \int_{-\infty}^\infty d\epsilon g(\epsilon) F(\epsilon)$$

med $g(\epsilon) = \theta(\epsilon) \frac{m}{(h\pi)^2} \sqrt{\frac{2m\epsilon}{\hbar^2}}$

ástanda þéttleikann

$$g(\epsilon) d\epsilon = \frac{\text{fjöldi ástanda milli } \epsilon \text{ og } \epsilon + d\epsilon}{V}$$

$$g(\epsilon_F) = \frac{3}{2} \frac{n}{\Sigma_F}$$

Kynna sér vel Summe-feld nálgunina á bls 45-47 til að reikna

$$\int_{-\infty}^\infty H(\epsilon) f(\epsilon) d\epsilon = \int_{-\infty}^\mu H(\epsilon) f(\epsilon) d\epsilon + \frac{\pi^2}{6} (k_B T)^2 H'(\mu) + \dots$$

6

μ : ekvivalenti

$$\lim_{T \rightarrow 0} \mu = \Sigma_F$$

$$C_V = \left(\frac{\partial U}{\partial T} \right)_V \quad \text{med } u = \frac{U}{V}$$

p.s. U er inni orkan

$$U = 2 \sum_{\vec{k}} \epsilon(\vec{k}) f(\epsilon(\vec{k}))$$

$$\rightarrow 2 \int \frac{d\vec{k}}{(2\pi)^3} \epsilon(\vec{k}) f(\epsilon(\vec{k}))$$

og ekvivalenti μ er ákvæðað af

$$n = 2 \int \frac{d\vec{k}}{(2\pi)^3} f(\epsilon(\vec{k}))$$

Heildi þessarar tegundar má leysa með skilgreiningu á ástandaþéttleika

$\epsilon(\vec{k})$ er fall af $|\vec{k}|$

8

Með henni finnst

$$\mu = \Sigma_F \left\{ 1 - \frac{1}{3} \left(\frac{\pi k_B T}{2 \Sigma_F} \right)^2 \right\}$$

$$U = U_0 + \frac{\pi^2}{6} (k_B T)^2 g(\Sigma_F)$$

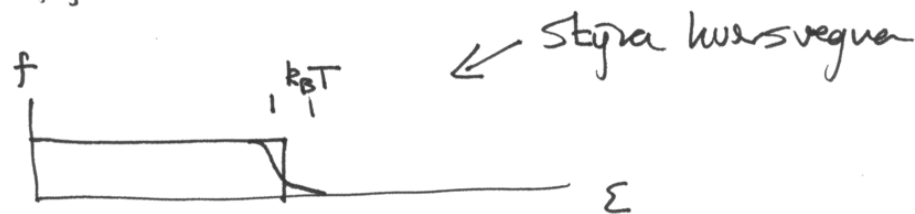
\uparrow
 $T=0$

$$\rightarrow C_V = \left(\frac{\partial U}{\partial T} \right)_n = \frac{\pi^2}{2} \left(\frac{k_B T}{\Sigma_F} \right) n k_B$$

Samantvörf við $(C_V)_{\text{klass}} = 3n k_B / 2$

mjög smátt fyrir $T < 300 \text{ K}$

fyrir matna



Fyrir kristall fast

$$C_v = \gamma T + AT^3$$

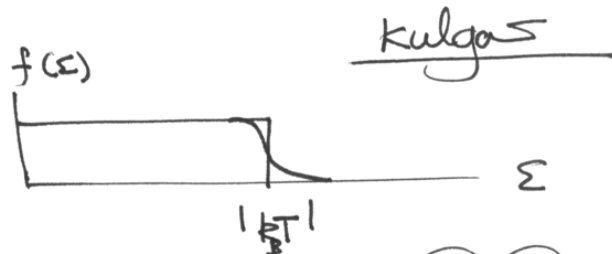
↑
rateindis

↑
grind

leiddi

þarf flutnings líkan

fyrir hvaða orku geta árekslar
gerst



upplags og loka ástand hvaða orku til

fjöleindar fr. með vöxlventum gefur
(einsleitt)

$$\langle \Sigma_{kin} \rangle \approx \frac{2.21}{(r_s/a_0)^2} \quad \left| \begin{array}{l} n \uparrow \\ r_s \downarrow \end{array} \right.$$

$$\langle \Sigma_{pot} \rangle \approx -\frac{0.916}{(r_s/a_0)} + 0.0622 \ln\left(\frac{r_s}{a_0}\right) - 0.096 + \dots$$

→ $\langle \Sigma_{kin} \rangle > \langle \Sigma_{pot} \rangle$ þ. n, u_{ex}

lesa 3 kafla sjálf

'Áhrif kristallagrúndar

Krystallsgründur

①

Hvers vegna? (aftr. rot. gründ., nykur.)

Bravais gründur

Jónir
atóm
samúnd...

① Óendanleg gründ, þar sem umhverfi allra punkta er eins.

② 3D Bravais gründ er mengi allra punkta með stöðuvígur

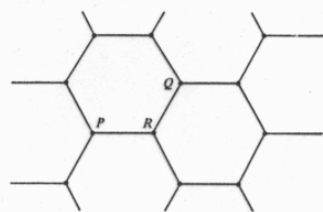
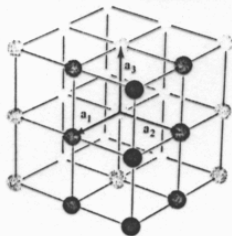
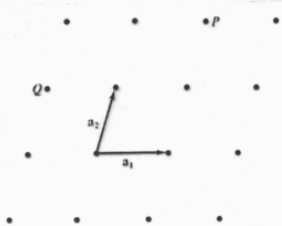
$$\vec{R} = n_1 \vec{a}_1 + n_2 \vec{a}_2 + n_3 \vec{a}_3$$

$$n_i \in \mathbb{Z}$$

a_i : grunnvígur grúndarinnar

SC 

ekki B.g.



↑ margir mögulegir grunnvígur

②

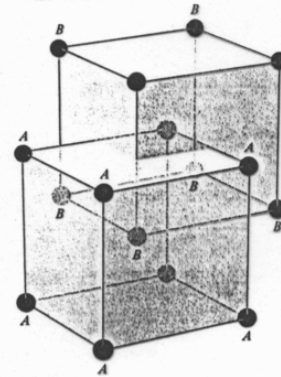
Einkrystall, fjölkristall

(endanlegur, óendanlegur)

Dæmi

BCC - Body Center Cubic

A og B í miðju?



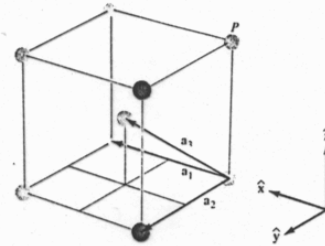
Tvær framsetu.

Ba
Cr
Cs
Fe
K
Li
Mo
Na
...

$$\vec{a}_1 = a \hat{x}$$

$$\vec{a}_2 = a \hat{y}$$

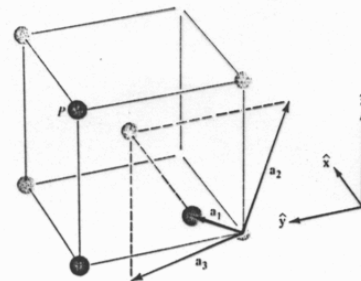
$$\vec{a}_3 = \frac{a}{2} (\hat{x} + \hat{y} + \hat{z})$$



$$\vec{a}_1 = \frac{a}{2} (\hat{y} + \hat{z} - \hat{x})$$

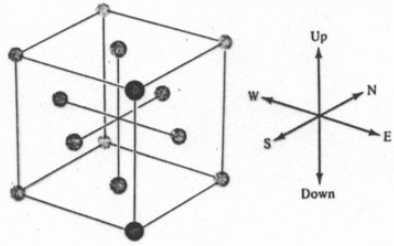
$$\vec{a}_2 = \frac{a}{2} (\hat{z} + \hat{x} - \hat{y})$$

$$\vec{a}_3 = \frac{a}{2} (\hat{x} + \hat{y} - \hat{z})$$



FCC - Face Center Cubic

(3)

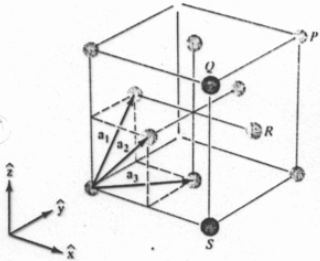


Ar, Ag, Al, Au, Ca,
Ce, β -Co, Cu, Ir, Kr,
La, Ne, Ni, Pb, Pd, Pt...

$$\vec{a}_1 = \frac{a}{2}(\hat{y} + \hat{z})$$

$$\vec{a}_2 = \frac{a}{2}(\hat{z} + \hat{x})$$

$$\vec{a}_3 = \frac{a}{2}(\hat{x} + \hat{y})$$



Coordination number

fjöldi næstu granna

SC: 6

BCC: 8

FCC: 12

Frum Kristalls einingun (Primitive Unit Cell)

(4)

Rúmmál sem hlíðroð um alla vögna
Bravais grúndar fyllir allt rúmið
án störmunar eða gata er

Frum Kristalls einingun

Dæmi

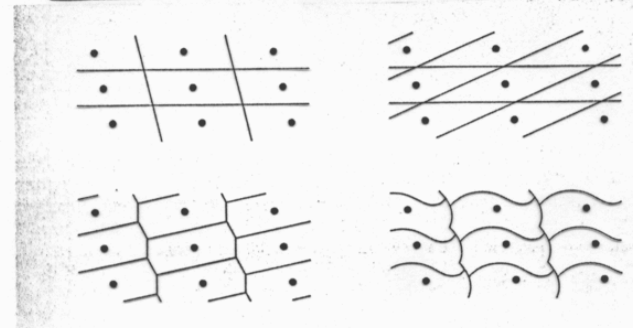
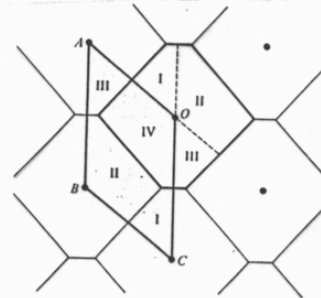


Figure 4.10
Several possible choices of primitive cell for a single two-dimensional Bravais lattice.

Einn grúndarpunktur í hverri einingun



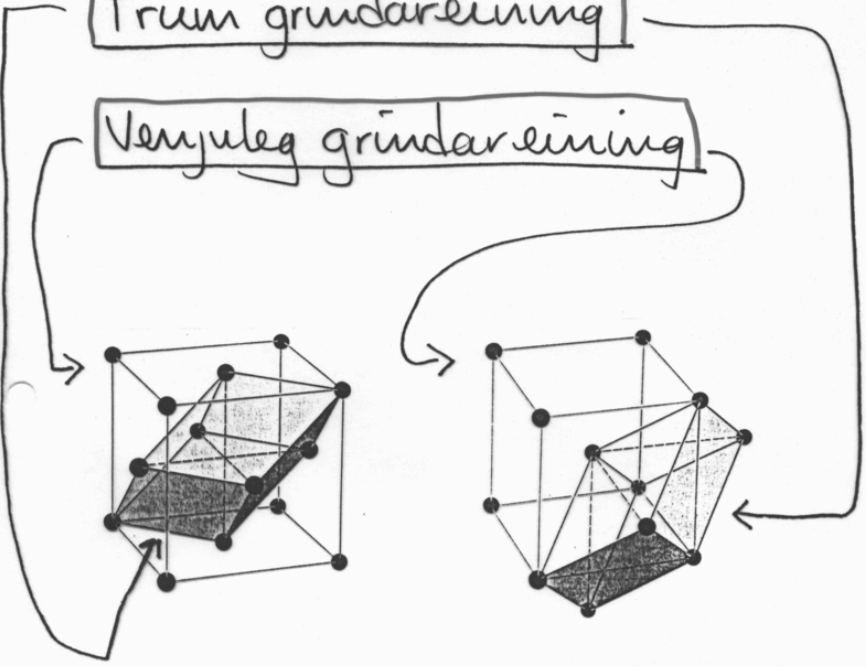
Tvær mögulegar grunn einingur

← bíta má hlíðra til um
grunnvögna

(5)

Frum grúndareining

Verjuleg grúndareining



Frum grúndareiningin hefur ekki endilega samhverfu grúndareiningar

Verjuleg grúndareining er stærri

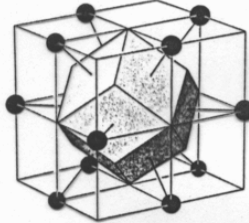
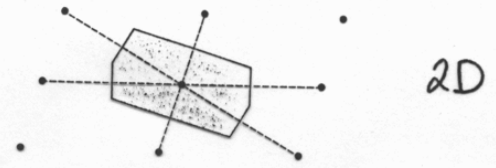
$n_v = 1$

(6)

Grúndareining með fulla samhverfu grúndarinnar



Wigner-Seitz frumseiningin

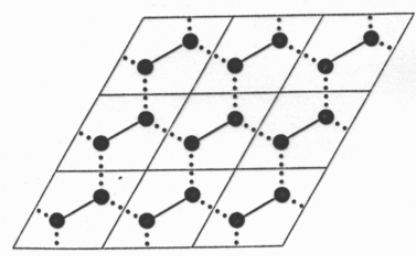


FCC



BCC

Grúnd með Grunni (basis)



Samseindir: t.d. C60
Einnig til þegunda
t.d. fyrir FCC og BCC

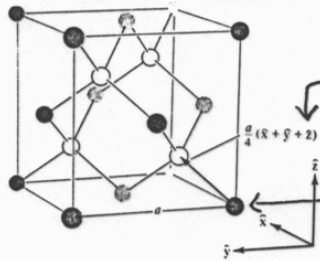
Dæmi um grúndur með grunni

(7)

Demansbygging

Demantur er ekki Bravais grúnd
En t.d. FCC með grunni

→ tveir punktar $\vec{0}, \frac{a}{4}(\hat{x} + \hat{y} + \hat{z})$



C
Si
Ge
 α -Sn

Zincblende

- CuF
- CuCl
- GaAs
- InAs
- SiC
- CdTe
- HgTe
- AlAs

↑ þá er dekkta punktar úr
ein atóm tegund og
kúrir önnur tegund.

Hexagonal Close-Packed

HCP

(8)

EKKI Bravais grúnd

- Be
- Mg
- Ti
- Zn

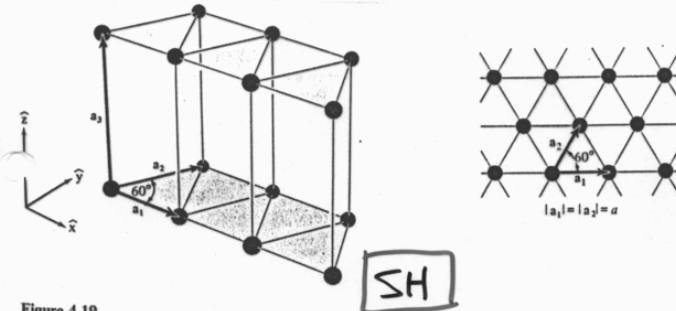


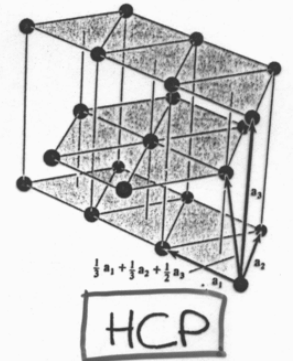
Figure 4.19
The simple hexagonal Bravais lattice. Two-dimensional triangular nets (shown in inset) are stacked directly above one another, a distance c apart.

SH

$$\vec{a}_1 = a\hat{x}$$

$$\vec{a}_2 = \frac{a}{2}\hat{x} + \frac{\sqrt{3}a}{2}\hat{y}$$

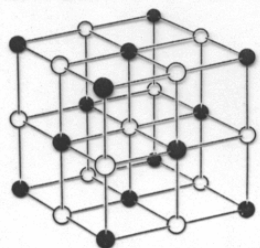
$$\vec{a}_3 = c\hat{z}$$



Adrir þetta þöktunum mögulegar
eru til

9

Natrium-klór-bygging



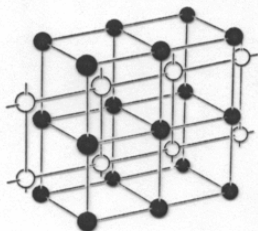
FCC með grunni

$\vec{0}$: Na
 $\frac{a}{2}(\hat{x} + \hat{y} + \hat{z})$: Cl

NaCl
 LiF
 KCl
 KF

↑ (SC ef einatöma)

Cesín-klór-bygging



SC með grunni

$\vec{0}$: Cs
 $\frac{a}{2}(\hat{x} + \hat{y} + \hat{z})$: Cl

↑ (BCC ef einatöma)

1

Nykurgründ

Lotubundin kristallur →

afllífræði kristallsins og rafleiðanna er best lýst í „nykurrúminu“

○ Stílgreining

Bravaisgründ: mengi punkta með stöðu vektor $\vec{R} = n_1\vec{a}_1 + n_2\vec{a}_2 + n_3\vec{a}_3$

$n_i \in \mathbb{Z}$ og $a_i =$ eru grunnvektar...

○ Vektorir \vec{K} sem uppfylla

$$e^{i\vec{K} \cdot \vec{R}} = 1$$

Stílgreina nykurgründ Bravaisgründarinnar

Nykurgründin er einnig Bravaisgründ

(2)

Önnur skilgr

Bravais grund með frumvögna \vec{a}_1, \vec{a}_2 og \vec{a}_3

pá er nykurgründin spönnuð af 3 frumvögnum

$$\vec{b}_1 = 2\pi \frac{\vec{a}_2 \times \vec{a}_3}{\vec{a}_1 \cdot (\vec{a}_2 \times \vec{a}_3)}$$

$$\vec{b}_2 = 2\pi \frac{\vec{a}_3 \times \vec{a}_1}{\vec{a}_1 \cdot (\vec{a}_2 \times \vec{a}_3)}$$

$$\vec{b}_3 = 2\pi \frac{\vec{a}_1 \times \vec{a}_2}{\vec{a}_1 \cdot (\vec{a}_2 \times \vec{a}_3)}$$

Samrýning

Greinilega gæðir $\vec{b}_i \cdot \vec{a}_j = 2\pi \delta_{ij}$

\vec{b}_i - geta ekki verið allir í sömu stöðu
þú getur hver \vec{b}_i vögu \vec{k} verið lögð

$$\vec{k} = k_1 \vec{b}_1 + k_2 \vec{b}_2 + k_3 \vec{b}_3$$

(3)

og
$$\vec{R} = n_1 \vec{a}_1 + n_2 \vec{a}_2 + n_3 \vec{a}_3$$

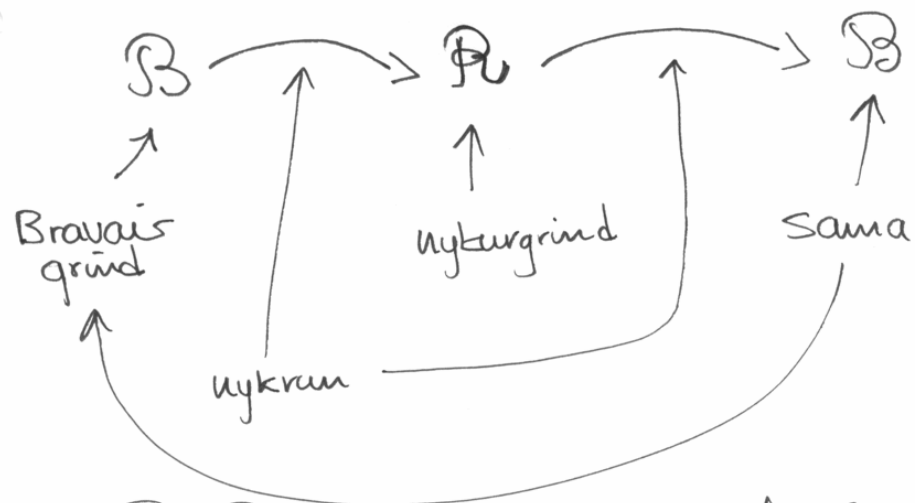
$$\rightarrow \vec{k} \cdot \vec{R} = 2\pi(k_1 n_1 + k_2 n_2 + k_3 n_3)$$

Ef k_i eru heilar tölur þá gæðir

$$e^{i\vec{k} \cdot \vec{R}} = 1$$

$\rightarrow \vec{k}$ er nykurgründarvögu ef $k_i \in \mathbb{Z}$

$\rightarrow \vec{b}_i$ eru frumvögna ~~Bravais~~
nykurgründarvögu



Samrýning með annari hvornri skilgreiningunni

Dæmi

(4)

SC: \vec{a}_i öll hornrétt
↓ önnur stölgreining

\vec{b}_i öll hornrétt

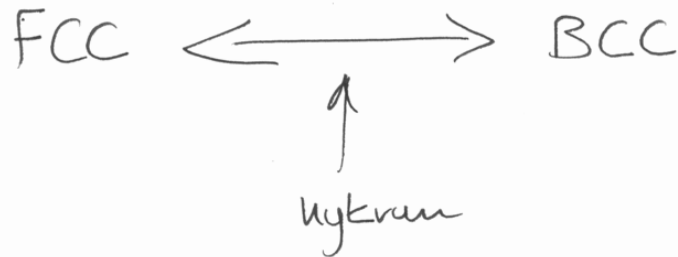
↳ \mathcal{R} er SC

$$\begin{aligned}\vec{a}_1 &= a\hat{x} \\ \vec{a}_2 &= a\hat{y} \\ \vec{a}_3 &= a\hat{z}\end{aligned}$$

$$\begin{aligned}\vec{b}_1 &= \frac{2\pi}{a}\hat{x} \\ \vec{b}_2 &= \frac{2\pi}{a}\hat{y} \\ \vec{b}_3 &= \frac{2\pi}{a}\hat{z}\end{aligned}$$

Venjuleg
gründar eining

Venjuleg
gründar ein.



Rúmmál

(5)

\mathcal{V} rúmmál frum Bravais gr.

→ rúmmál frum einingar

$$\mathcal{R} \text{ er } \frac{(2\pi)^3}{\mathcal{V}}$$

Fyrsta Brillouin Svæðið

Síðar sjáum við hvern BS og mikilvægi þeirra.

er Wigner-Seitz framsetning
nykurgründarinnar

Krístalls plöin (innihalda alla punkta \mathcal{B})

Athugið fyrst aðra stölgreiningu \vec{a}
nykurgründarvæðum

(6)

Mengjalla bylgjuvigr \vec{k} sem geta
sléttar bylgjur með lotu \vec{R} er ~~kallad~~
nykurgründ \vec{R} fyrir \vec{R}

$$\rightarrow e^{i\vec{k} \cdot (\vec{F} + \vec{R})} = e^{i\vec{k} \cdot \vec{F}}$$

(hæðan kemur skilgr. m. $e^{i\vec{k} \cdot \vec{R}} = 1$)

Fyrir
Sérhveja fjölstylda kristallsstéttna með
bil d eru bylgjuvigrar hornréttir á
sléttunum og sú styttski \vec{R} er með
lengdina $2\pi/d$

eda

Fyrir sérhvern nykurvigr \vec{k} til fjölst.
kristallsstéttna hornréttir á \vec{k} og með
bil d þ.a. lengd stytsta nykurvigrarsins
sambléða \vec{k} er $2\pi/d$

tengist en lesa sjálf sammanir

(7)

Miller visar fyrir kristallsstéttur

Vegna tengingar nykurvigrar við kristalls-
stéttur er högt að verkja þar með
stytta nitar vigrinum hornréttum á
sléttuna. Ef

$$\vec{k} = h\vec{b}_1 + k\vec{b}_2 + l\vec{b}_3$$

þá eru Miller visar sléttuna $\frac{h, k, l}{\uparrow}$

4 engin sameiginlegu þáttur

Miller visar eru háðir vali á
frum (nykur) vigrinum

"Önnur aðferð"

Kristalls ^{sléttu} ~~gründ~~ með h, k, l er hornrétt
á $\vec{k} = h\vec{b}_1 + k\vec{b}_2 + l\vec{b}_3$

→ sléttan liggur í samfelldu sléttum
skilgr. m. $\vec{k} \cdot \vec{r} = A = \text{fasti}$

sløttan sker ársana $\vec{a}_1, \vec{a}_2, \vec{a}_3$ í
punktunum $x_1\vec{a}_1, x_2\vec{a}_2, x_3\vec{a}_3$

p.s. x_i eru ákveðin m. $\vec{k} \cdot (x_i\vec{a}_i) = A$

en $\vec{k} \cdot \vec{a}_1 = 2\pi h, \vec{k} \cdot \vec{a}_2 = 2\pi k, \vec{k} \cdot \vec{a}_3 = 2\pi l$

$$\rightarrow x_1 = \frac{A}{2\pi h}, x_2 = \frac{A}{2\pi k}, x_3 = \frac{A}{2\pi l}$$

þú er högt að stílgreina vísana

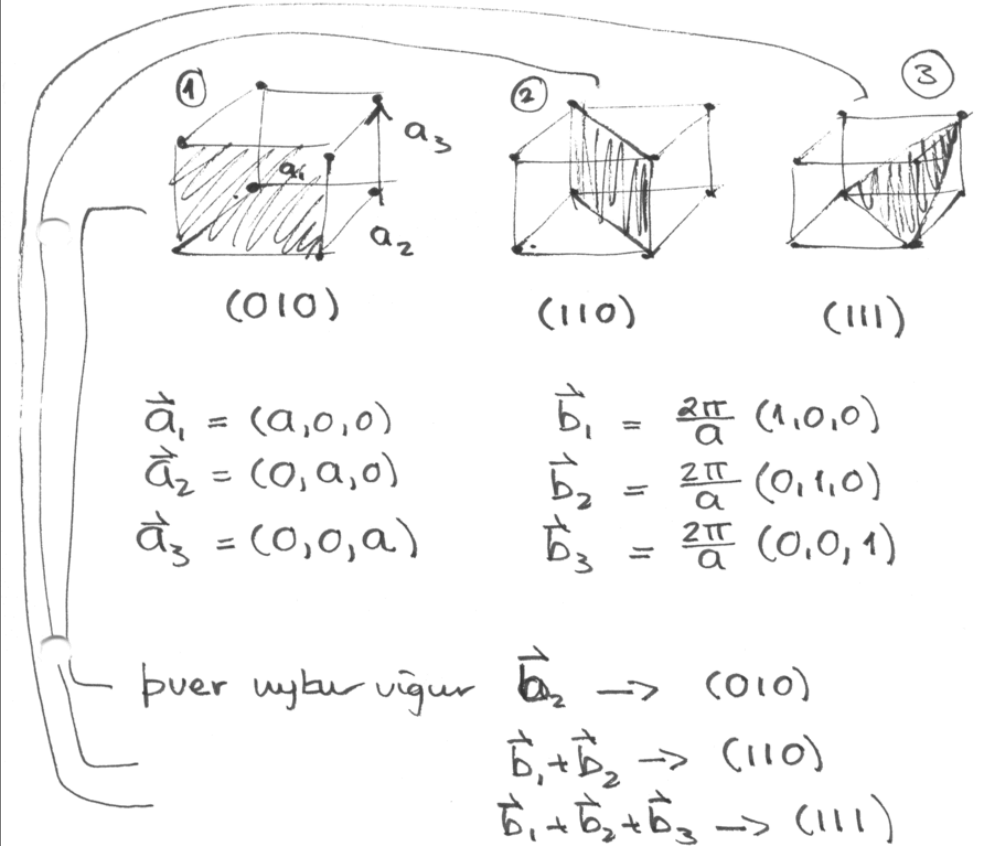
$$h:k:l = \frac{1}{x_1} : \frac{1}{x_2} : \frac{1}{x_3}$$

keilar tölur með engum
samseigunlegum þátt.

vísir með $-u \rightarrow \bar{u}$

(100) (010) (001) sløttunur í teningss...
eru jafngilda og merktar með $\{100\}$

Attirnar [100] [010] [001] [$\bar{1}$ 00] [0 $\bar{1}$ 0]
og [00 $\bar{1}$] í teningss... eru allar
jafngilda og merktar með $\langle 100 \rangle$



Skurðp. x_a

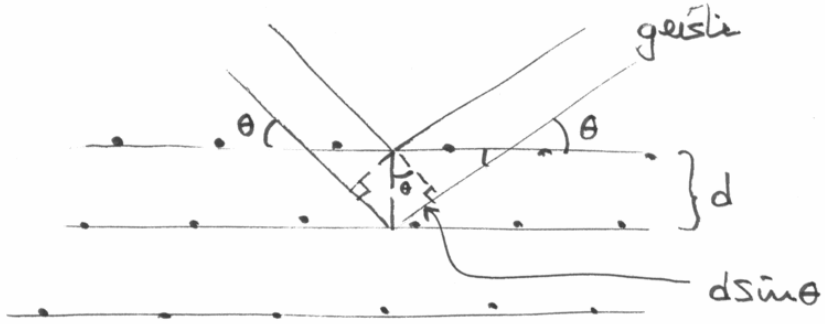
- ① $\frac{1}{\infty} : \frac{1}{a} : \frac{1}{\infty} \rightarrow (010)$
- ② $\frac{1}{a} : \frac{1}{a} : \frac{1}{\infty} \rightarrow (110)$
- ③ $\frac{1}{a} : \frac{1}{a} : \frac{1}{a} \rightarrow (111)$

Röntgenreining kristalla

1

Bragg

toppar í styrkleik speglaðs geisla af kristalli hæðir λ og (θ, ϕ)



Bylgju-eiginleikar röntungeislans

→ styrkjandi bylgjuvixl þegar

$$n\lambda = 2d \sin \theta$$

↑ Stig speglunar

margin toppar ← fjöldi mism.-sléttna

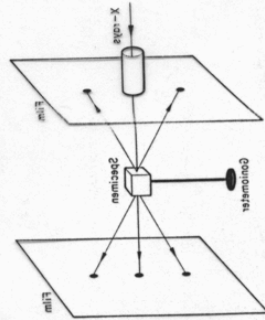


Figure 1.13 Diagram of X-ray scattering apparatus. The goniometer shows the specimen orientation to be varied.

30

[Crystal structure]

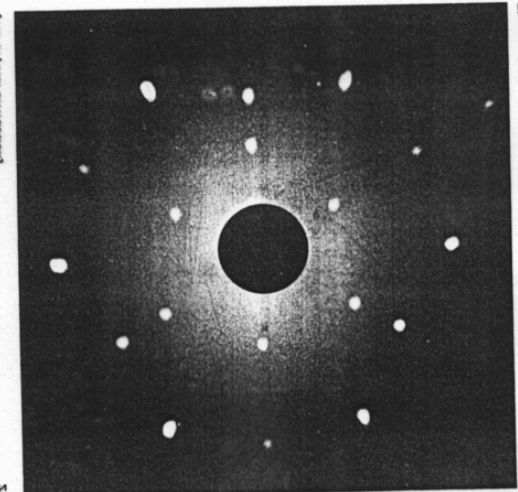


Figure 1.14 Actual pattern of spots obtained for X-ray scattering from a silicon crystal.

31

[X-ray diffraction]

now observe in case of well-ordered lattice to the direction of the incident wave θ is the angle between K and K' (see figure 1.13). The scattered radiation

$|K - K'| = 2K \sin \theta = |\Delta|$ (1.33)

first K , can vary in direction as long as conditions of the incident wave are satisfied. If K is fixed in direction from conditions to some information on crystal structure can also be obtained from Bragg's law. Some information on crystal structure can also be obtained from Bragg's law of scattering and it is a common method of determining the structure of a crystal. For example, the distance between atoms in a crystal lattice can be determined by measuring the angle of diffraction of the incident wave. The distance between atoms in a crystal lattice can be determined by measuring the angle of diffraction of the incident wave.

direction of an incident X-ray, diffraction phenomena is shown in figure 1.13. Diffraction of a crystal can be operated for X-ray and a specimen (1.13) requires a series of questions in order:

1. The specimen must be a crystal (or a collection of small crystals) and the incident wave must be monochromatic.

2. The incident wave must be a plane wave.

3. The specimen must be a crystal (or a collection of small crystals) and the incident wave must be monochromatic.

4. The incident wave must be a plane wave.

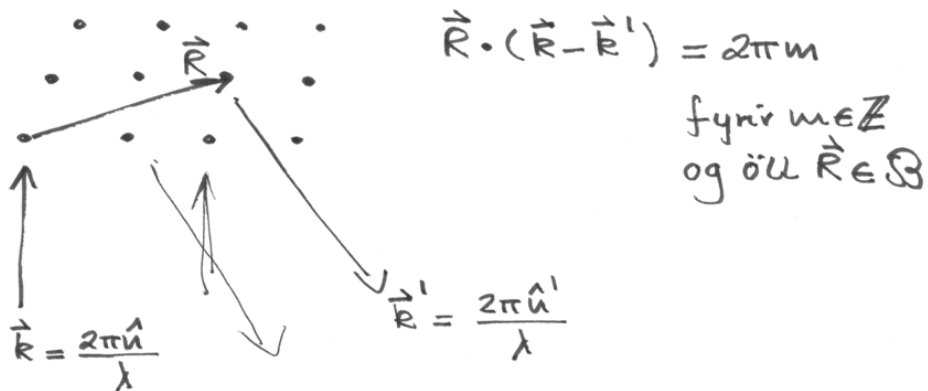
5. The incident wave must be a plane wave.

Von Laue

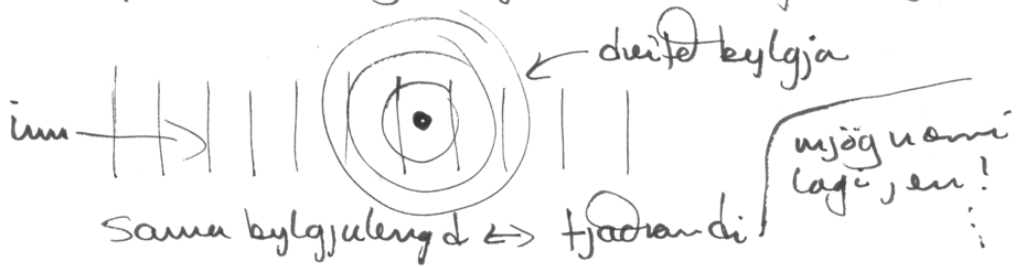
Engin krístalla þönn notuð

* Geti ræð fyrir að atóm á Bravais grínd geti endurkastad geislum í allar áttir

Styrkjandi vixl möguleg



Þetta er stýjandi frá dreifingu bylgna



$$\text{Jafngildir } \exp\{i(\vec{k} - \vec{k}') \cdot \vec{R}\} = 1$$

Bera saman við stílgreiningu á \mathbb{R}

\rightarrow von Laue stílgreining fyrir styrkjandi vixlum

breyting bylgjuvectorsins

$$\vec{K} \equiv \vec{k}' - \vec{k}$$

er vigrur $\in \mathbb{B}$

lesa sjálf um túlkun röntgen kráanna á krístöllum bls. 101-104

Dreifing bylgna vegna einatöma grúndar með grunni ; rúmr. byggingar stöðullim

Innan grúndarsinningar eru dreifimíðjur með stöðuvigrum $\vec{d}_1, \dots, \vec{d}_n$
Sann geta mism. vixlum

(4)

Geislum sem dættist frá frumgrúnder einingunni för líkindavísu með þáttum

$$S_{\vec{k}} = \sum_{j=1}^n e^{i\vec{k} \cdot \vec{d}_j}$$

↑
byggingsstuddull \leftarrow rúmfræðilegur

Segir hve mikil völd frá grunni deyfa Bragg toppum tengdum \vec{k}

dæmi BCC sem SC með grunni

| Bragg toppur þegar \vec{k} er vígur. |
| FCC nýturgrúndinni

En notum SC með $a\hat{x}$, $a\hat{y}$ og $a\hat{z}$
með grunni $\vec{d}_1 = 0$ $\vec{d}_2 = \frac{a}{2}(\hat{x} + \hat{y} + \hat{z})$

SC grúndin \rightarrow SC með $\frac{2\pi}{a}$ - hlid

(5)

En hver toppur deyft með

$$S_{\vec{k}} = 1 + \exp\left\{i\vec{k} \cdot \frac{1}{2}a(\hat{x} + \hat{y} + \hat{z})\right\}$$

i SC gildir $\vec{k} = \frac{2\pi}{a}(n_1\hat{x} + n_2\hat{y} + n_3\hat{z})$

$$\rightarrow S_{\vec{k}} = 1 + \exp\left\{i\pi(n_1 + n_2 + n_3)\right\}$$

$$= 1 + (-1)^{n_1 + n_2 + n_3}$$

$$= \begin{cases} 2 & \text{ef } n_1 + n_2 + n_3 = \text{jöfn} \\ 0 & \text{ef } \dots \dots \dots \text{öjfn} \end{cases}$$

Sama ef við höfum beint reiknað fyrir BCC $\in \mathcal{B} \rightarrow$ FCC $\in \mathcal{B}$

(6)

Fjölatóma kristallurAtómbyggvingar) Stuðull

Ef jónirnar eru ekki allar eins

$$\rightarrow S_{\vec{k}} = \sum_{j=1}^n f_j(\vec{k}) e^{i\vec{k} \cdot \vec{d}_j}$$

með f_j : atómstuðullinnFyrsta stigs treflun reikningurfyrir f_j getur (Born nálgun)

$$f_j(\vec{k}) = -\frac{1}{e} \int d\vec{r} e^{i\vec{k} \cdot \vec{r}} \rho_j(\vec{r})$$

Sem er Fourier umformun bleklu-
þéttleika jónar j .

(7)

Við munum ekki fara í 7 kafla
sem fjallar um kristallsamhverfur

7 Kristallskerfi

14 Bravais grúður

230 punktgrúpur

⋮

Við höldum beint í 8 kafla
og könnum aflfræði í lotubundnum
metti

Lokubundnaðmætti

①

Algebralega lokubundnað, heim loka

↳ athugum síðar frávik

Lokubundnaðmætti fóna
+ vixlverkun rafseinda umbyrðis

Nálgun H, HF, LDA



öðráttar rafseindir =
Lokubundnað vixlverkun mætti

Athugum fyrst áhugi lotu áu þess að klitaba nákvæmlega mættið uman hvernar lotu

$$U(F+\bar{R}) = U(F)$$

því uogir að stöðu seinnar eundar
hæyfti jöfnu:

②

$$H\psi = \left\{ -\frac{\hbar^2}{2m} \nabla^2 + U(F) \right\} \psi = E\psi$$

Block rafseindir ↔ frjálstar rafseindir

Setning Blochs

Eigunföll H hafa óð ofan eru

$$\psi_{n\bar{K}}(F) = e^{i\bar{K}\cdot F} U_{n\bar{K}}(F)$$

með $U_{n\bar{K}}(F+\bar{R}) = U_{n\bar{K}}(F)$

fyrir ölla $\bar{R} \in \mathcal{B}$

sem jafngildir

$$\begin{aligned} \psi_{n\bar{K}}(F+\bar{R}) &= e^{i\bar{K}\cdot(F+\bar{R})} U_{n\bar{K}}(F+\bar{R}) \\ &= e^{i\bar{K}\cdot\bar{R}} \cdot e^{i\bar{K}\cdot F} U_{n\bar{K}}(F) \\ &= e^{i\bar{K}\cdot\bar{R}} \psi_{n\bar{K}}(F) \end{aligned}$$

Sönnun

(3)

Skilgreinum hlíftranarvörðjann

$$T_{\vec{R}} f(\vec{r}) = f(\vec{r} + \vec{R}), \quad \vec{R} \in \mathcal{B}$$

$$T_{\vec{R}} H\psi = H(\vec{r} + \vec{R})\psi(\vec{r} + \vec{R})$$

$$= H(\vec{r})\psi(\vec{r} + \vec{R}) = HT_{\vec{R}}\psi$$

$$\text{fyrir öll } \psi \rightarrow [H, T_{\vec{R}}] = 0$$

og greinilega

$$[T_{\vec{R}}, T_{\vec{R}'}] = 0, \quad T_{\vec{R}} T_{\vec{R}'} = T_{\vec{R} + \vec{R}'}$$

H og $T_{\vec{R}}$ hafa sameiginleg ástönd

$$H\psi = E\psi$$

$$T_{\vec{R}}\psi = c(\vec{R})\psi$$

finnum eigin gæðir $c(\vec{R})$

$$T_{\vec{R}'} T_{\vec{R}} \psi = c(\vec{R}') T_{\vec{R}} \psi = c(\vec{R}') c(\vec{R}) \psi$$

$$\hookrightarrow = T_{\vec{R} + \vec{R}'} \psi = c(\vec{R} + \vec{R}') \psi$$

(4)

því

$$c(\vec{R} + \vec{R}') = c(\vec{R}) c(\vec{R}')$$

Veljum \vec{a}_i grunnvigrana í \mathcal{B} .

Það er alltaf hægt að skilja

$$c(\vec{a}_i) = e^{2\pi i x_i}$$

ef x_i er valið rétt.

$$\vec{R} = n_1 \vec{a}_1 + n_2 \vec{a}_2 + n_3 \vec{a}_3 \in \mathcal{B}$$

$$\rightarrow c(\vec{R}) = c(\vec{a}_1)^{n_1} c(\vec{a}_2)^{n_2} c(\vec{a}_3)^{n_3}$$

en athugum

$$e^{i\vec{R} \cdot \vec{r}}$$

$$\text{með } \vec{R} = x_1 \vec{b}_1 + x_2 \vec{b}_2 + x_3 \vec{b}_3$$

$$\text{og } \vec{b}_i \cdot \vec{a}_j = 2\pi \delta_{ij}$$

$$\begin{aligned} &\hookrightarrow \exp\{i2\pi(n_1 x_1 + n_2 x_2 + n_3 x_3)\} \\ &= (e^{2\pi i x_1})^{n_1} (e^{2\pi i x_2})^{n_2} (e^{2\pi i x_3})^{n_3} \end{aligned}$$

$$\rightarrow c(\vec{R}) = e^{i\vec{R} \cdot \vec{r}} \quad \vec{R} \in \mathcal{B}, \quad \text{☹}$$

því fast

$$T_{\vec{R}}\psi = C(\vec{R})\psi = e^{i\vec{k}\cdot\vec{R}}\psi(\vec{r})$$

$$L \rightarrow \psi(\vec{r} + \vec{R})$$

Bloch setningin

(5)

Bloch bylgjuvígurinn hefur einu ekkert
verum ákveðnum. Það gerist með
hreyfijöfnum og jöfnu stöðjunnar.

(\vec{R} þarf ekki að vera vigrar í \mathbb{R}^3 !)

Jöfnu stöðjunnar

Enderbættum Born-von Karman

$$\psi(\vec{r} + N_i \vec{a}_i) = \psi(\vec{r}) \quad i=1,2,3$$

$$N_1 N_2 N_3 = N \text{ fjöldipunkturinn í grúnd}$$

$$\psi_{u\vec{E}}(\vec{r} + N_i \vec{a}_i) = e^{iN_i \vec{k} \cdot \vec{a}_i} \psi(\vec{r})$$

↑
Bloch stöðjunnar

til þess að uppfylla B-UK þarf því

$$e^{iN_i \vec{k} \cdot \vec{a}_i} = 1$$

$$\rightarrow e^{2\pi i N_i x_i} = 1 \quad \text{ef } \vec{k} = x_1 \vec{b}_1 + x_2 \vec{b}_2 + x_3 \vec{b}_3$$

og því $x_i = \frac{m_i}{N_i}$ með $m_i \in \mathbb{Z}$

Bloch bylgjuvígurinn einu þarf

$$\vec{k} = \frac{m_1}{N_1} \vec{b}_1 + \frac{m_2}{N_2} \vec{b}_2 + \frac{m_3}{N_3} \vec{b}_3$$

Rúmmál $\Delta\vec{k}$ í k -rúminu um kvætt \vec{k}

er

$$\Delta\vec{k} = \frac{\vec{b}_1}{N_1} \cdot \left(\frac{\vec{b}_2}{N_2} \times \frac{\vec{b}_3}{N_3} \right)$$

$$= \frac{1}{N} \vec{b}_1 \cdot (\vec{b}_2 \times \vec{b}_3)$$

$$= \frac{(2\pi)^3}{V}$$

Samant og fyrir
frjálsa ástandin

(6)

fjöldi leiðra bylgjuvægra \vec{r}
 frumleiningu útkrúmsins er N
 jafn heildar fjölda punkta í kristallinum

lesa sjálf um hina sömu
 Bloch stöðugarinnar bls 137-139

Vid munum athuga bráðlega líkan með
 gefnu lotubundnu mætti: Kronig-
 Penney-líkanid.

En athugana um almennar stöðugindir
 um lotubundnu mætti

þú H fyrir lotubundnu mætti gildir

$$[\vec{p}, H] = [\vec{p}, U(\vec{r})] \neq 0, \vec{p} = -i\hbar\vec{\nabla}$$

H er ekki með hláðrunarsamhverfu
 nema um $\vec{R} \in \mathcal{B}$

\rightarrow H og \vec{p} hafa ekki sameiginleg ástand.

$\hbar\vec{k}$ er ekki skjöpfungir rafvæðar

$$\begin{aligned} \vec{p}\psi_{\vec{k}\vec{r}} &= -i\hbar\vec{\nabla}(e^{i\vec{k}\cdot\vec{r}} U_{\vec{k}\vec{r}}(\vec{r})) \\ &= \hbar\vec{k}\psi_{\vec{k}\vec{r}} + e^{i\vec{k}\cdot\vec{r}} \frac{\hbar}{i}\vec{\nabla}U_{\vec{k}\vec{r}}(\vec{r}) \end{aligned}$$

$\{\psi_{\vec{k}\vec{r}} \text{ er ekki eiginástand } \vec{p}!\}$

$\hbar\vec{k}$ er kristallsstöpfungir rafvæðar

útvirkun \vec{a} þ yfir í lotubundnu mætti

\vec{k} er alltaf \vec{a} fyrsta Brillouinsvæðinu

þú ef vissst \vec{k}' er það ekki þá gildir

$$\vec{k}' = \vec{k} + \vec{K}$$

og $e^{i\vec{k}'\cdot\vec{r}} = e^{i(\vec{k}+\vec{K})\cdot\vec{r}} = e^{i\vec{k}\cdot\vec{r}}$

\uparrow í fyrsta Brillouin Sv.

Stammtatalan u merkir lausn Schrödunge jöfnunar fetar, því $e +$

(9)

$$\Psi(F) = e^{i\vec{k}\cdot\vec{r}} U(F)$$

þá fest

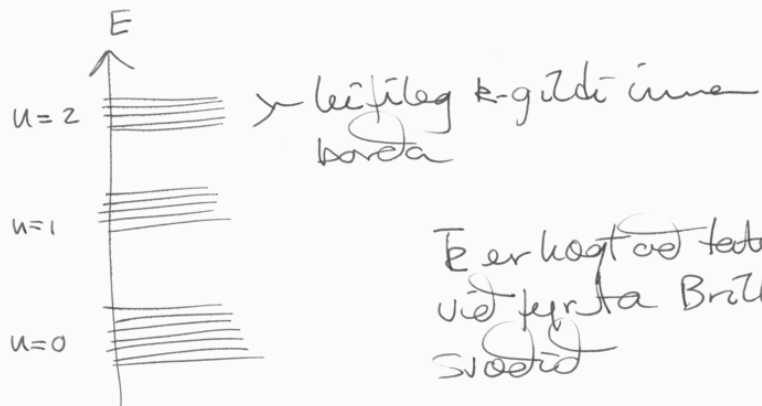
$$H\Psi = e^{i\vec{k}\cdot\vec{r}} \left\{ \frac{\hbar^2}{2m} (-i\vec{\nabla} + \vec{k})^2 + U(F) \right\} U_{\vec{k}}(F)$$

$$= e^{i\vec{k}\cdot\vec{r}} \sum_{\vec{K}} U_{\vec{K}}(F), \quad U_{\vec{K}}(F) = U_{\vec{K} + \vec{k}}(F)$$

gefur Schrödunge jöfnu fyrir frumeyringu kristallsins

líttlega flakkest eiginleikur saman

í bórða merktum með u



\vec{k} er lagt við festu merki við fyrsta Brillouin svæðið

(10)

því

$$\Psi_{n, \vec{k} + \vec{K}}(F) = \Psi_{n, \vec{k}}$$

$$\sum_{n, \vec{k} + \vec{K}} = \sum_{n, \vec{k}}$$

$\Sigma_n(\vec{k})$: gefur bórða byggingu stöðu

Meðal meðal rafleiddar með \vec{k}

$$\text{er } \rightarrow V_n(\vec{k}) = \frac{1}{\hbar} \vec{\nabla}_{\vec{k}} \Sigma_n(\vec{k})$$

Hroðim beytistelli regna áreikna við jöfnu, kann er sýstædur fyrir ástand $|u\vec{k}\rangle$

sjá viðbót E

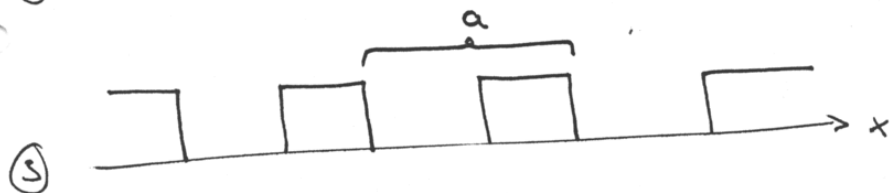
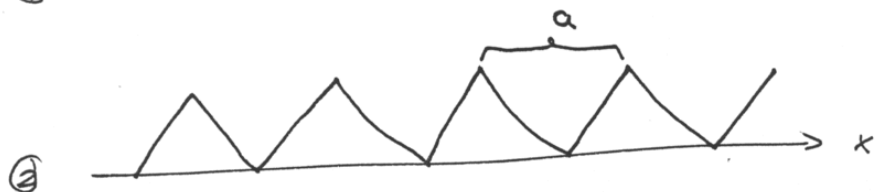
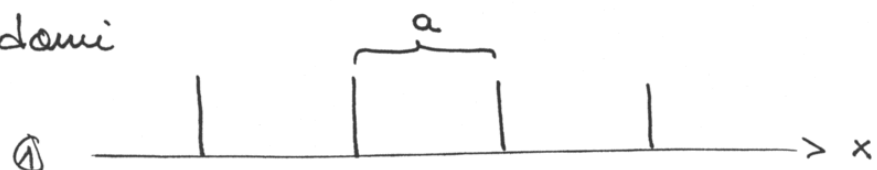
Lotubundin mætti

(2)

Hér verður farið lauslega í lotubundin mætti p.a. aðal áherslan verður á frásögu af lausu og útdráttum

$$V(x+an) = V(x) \quad \text{of } n \in \mathbb{Z}$$

dæmi



a: lotubund mætti

Allir punktar sem eru hlíðroðir um na eru jafngildir í x-rúmi

→ við verðum að krefjast

$$|\psi(x+a)|^2 = |\psi(x)|^2$$

Þú getur almennt gætt um ψ að

$$\psi(x+a) = e^{ika} \psi(x) \quad (*)$$

{ þannig má taka alla mögulega }
fasastuðla

p.s. $e^{2\pi i n} = 1$ þá veikir að
takmarka k p.a.

$$-\frac{\pi}{a} \leq k \leq \frac{\pi}{a}$$

(3)

(4)

(*) er aðeins högt að uppfylla ef

$$\psi(x) = e^{ikx} u_k(x)$$

Setning Blochs
með $u_k(x) = u_k(x+a)$

$$\begin{aligned} \psi(x+a) &= e^{ik(x+a)} u_k(x+a) \\ &= e^{ika} \{ e^{ikx} u_k(x) \} = e^{ika} \psi(x) \end{aligned}$$

Athugið nú lotuna $0 \leq x \leq a$

Gerum ráð fyrir að hér sé almenn lausa

$$\psi(x) = Au(x) + Bv(x)$$

pá gildir á bilinu $a \leq x \leq 2a$ (vegna*)

$$\psi(x) = e^{ika} \{ Au(x-a) + Bv(x-a) \}$$

(5)

Nú verða $\psi(x)$ og $\psi'(x)$ að vera samfeld í $x=a$

$$\rightarrow \begin{cases} Au(a) + Bv(a) = e^{ika} \{ Au(0) + Bv(0) \} \\ Au'(a) + Bv'(a) = e^{ika} \{ Au'(0) + Bv'(0) \} \end{cases}$$

Óhliðrað jöfnuhneppi fyrir A og B hefur aðeins lausa ef ákveða þess hverfur

$$\begin{pmatrix} u(a) - e^{ika} u(0) & v(a) - e^{ika} v(0) \\ u'(a) - e^{ika} u'(0) & v'(a) - e^{ika} v'(0) \end{pmatrix} \begin{pmatrix} A \\ B \end{pmatrix} = 0$$

$$\begin{aligned} \rightarrow & \{u(a) - e^{ika} u(0)\} \{v'(a) - e^{ika} v'(0)\} \\ & = \{u'(a) - e^{ika} u'(0)\} \{v(a) - e^{ika} v(0)\} \end{aligned}$$

Þessa jöfnu má umskrita sem

(6)

$$\cos ka = \frac{\{u(a)v'(a) + u(a)v'(0)\} - \{v(a)u'(a) + v(a)u'(0)\}}{2\{u(a)v'(0) - v(a)u'(0)\}}$$

↑ Þessi jafna ákvarðar möguleg gildi a k

Tökum nú víst dæmi

$$V(x) = \frac{\hbar^2}{m} \Omega \sum_{n=-\infty}^{+\infty} \delta(x+na)$$

og sköðum orkuvæðing

Schrödinger jafnan er

$$-\frac{\hbar^2}{2m} \psi'' + V(x) = E\psi, \quad E \geq 0$$

ef $x \neq na$ þá gildir

$$\psi'' + \frac{2mE}{\hbar^2} \psi = 0 \quad \rightarrow \quad \text{ef } q^2 = \frac{2mE}{\hbar^2}$$

þú reynum við a bilinu $(0, a)$

(7)

$$u(x) = e^{iqx} \quad \text{og} \quad v(x) = e^{-iqx}$$

$$\rightarrow \psi(x) = Ae^{iqx} + Be^{-iqx}$$

og a bilinu $(a, 2a)$ verður

$$\psi(x) = e^{ika} \{Ae^{iq(x-a)} + Be^{-iq(x-a)}\}$$

ψ er samfelt

$$\hookrightarrow \boxed{\psi(a^+) = \psi(a^-)} \quad (1)$$

Hvað gildir um ofleiðuna?

Athugið, heildum báðar hliðar Schrödingerjöfnunnar rétt um $x=a$

$$\int_{a-\epsilon}^{a+\epsilon} dx \left\{ -\frac{\hbar^2}{2m} \psi''(x) + V(x)\psi(x) \right\} = E \int_{a-\epsilon}^{a+\epsilon} dx \psi(x)$$

Samfelt \searrow (8)

$$\int_{a-\epsilon}^{a+\epsilon} dx \left\{ -\frac{\hbar^2}{2m} \psi''(x) + \frac{\hbar^2}{m} \Omega \delta(x-a) \right\} = E \{ \psi(a+\epsilon) - \psi(a-\epsilon) \}$$

$$= 0$$

$$\rightarrow \frac{\hbar^2}{m} \left\{ -\frac{1}{2} (\psi'(a+\epsilon) - \psi'(a-\epsilon)) + \Omega \psi(a) \right\} = 0$$

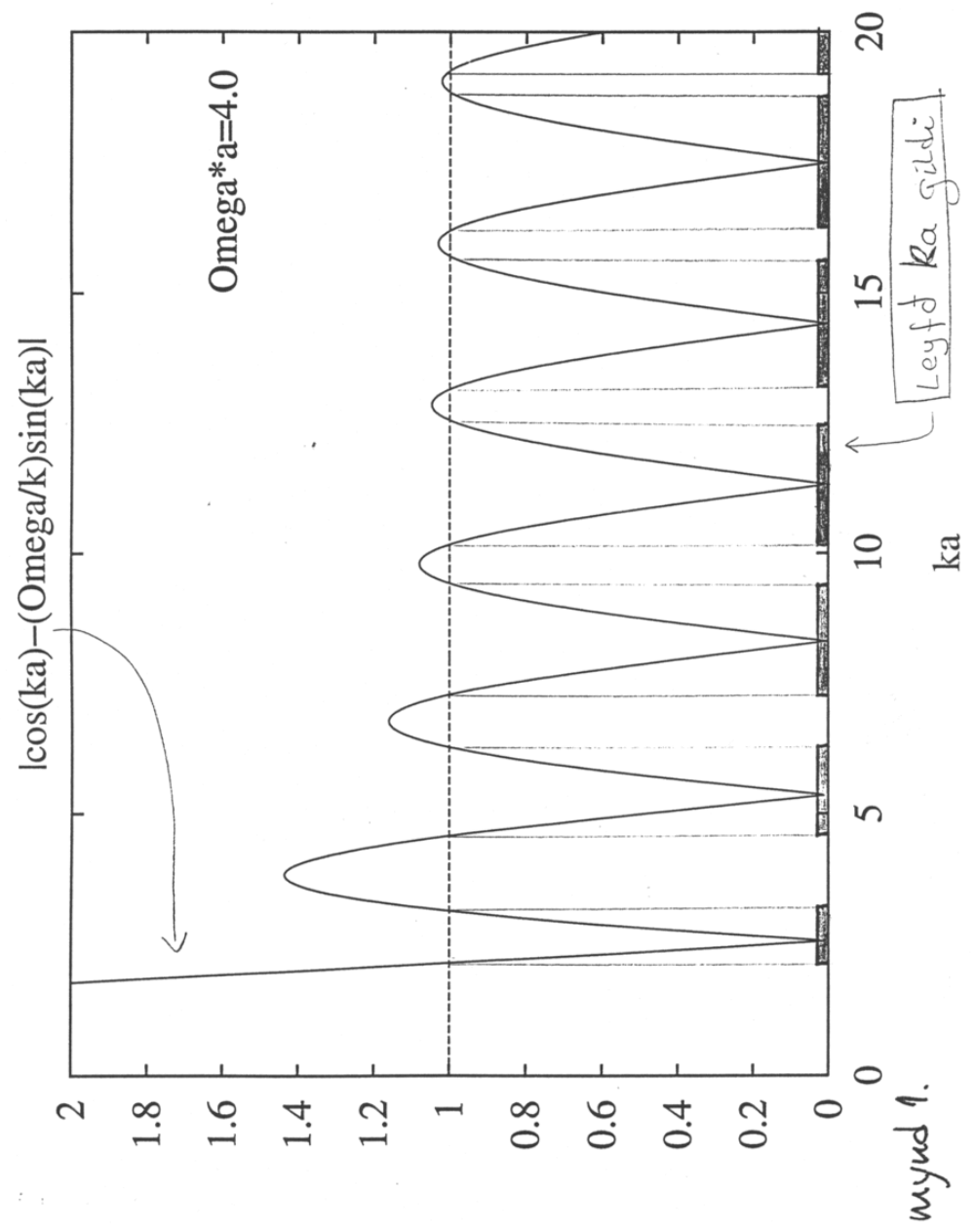
$$\rightarrow \psi'(a+) - \psi'(a-) = 2\Omega \psi(a) \quad (2)$$

Setjum inn í (1) og (2)

$$\begin{aligned} (1) \rightarrow e^{ika} (A+B) &= A e^{ika} + B e^{-ika} \\ (2) \rightarrow i k e^{ika} (A-B) &= i k (A e^{ika} - B e^{-ika}) + 2\Omega (A e^{ika} + B e^{-ika}) \end{aligned}$$

ákræfum verður að hverja

$$\rightarrow \cos ka = \cos qa + \frac{\Omega}{q} \sin qa \quad (3)$$



Jafna ③ ákvæður orku róf eindahrimmar ⑨

$$|\cos ka| \leq 1$$

$$\rightarrow \left| \cos qa + \frac{\sin qa}{qa} \right| \leq 1$$

mynd 1 sýnir þú að aðeins
viss qa -gildi eru leyfið í

Jöfnuna $E = \frac{\hbar^2}{2ma^2} (qa^2)$

Orku gildi vafseindar (eindar) koma
söfnast saman í borða

{ ekki strjál orkuskipt og heldur
ekki alveg samfeld }

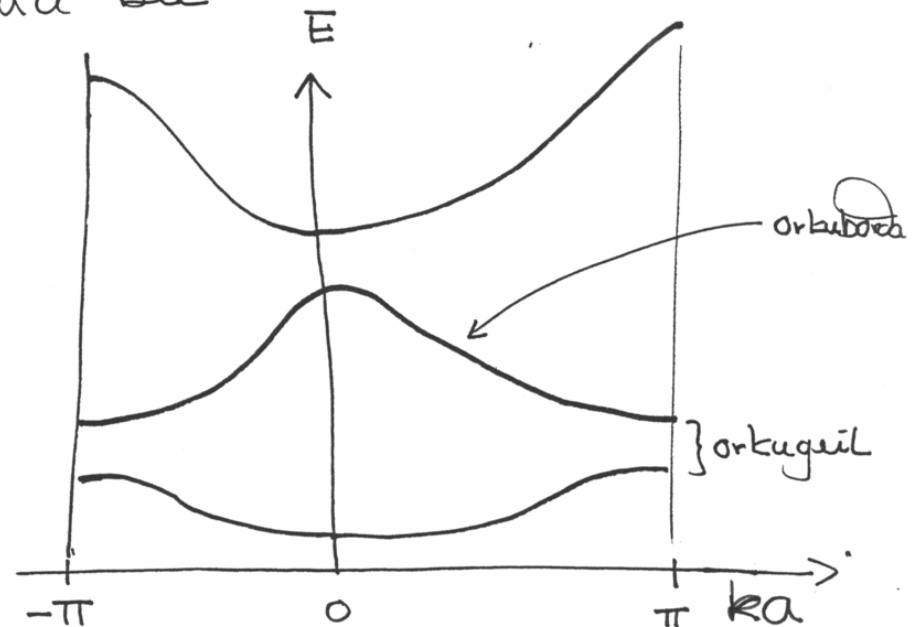
Vid höfðum takmarkað k p.a. ⑩

$$-\pi \leq ka \leq \pi$$

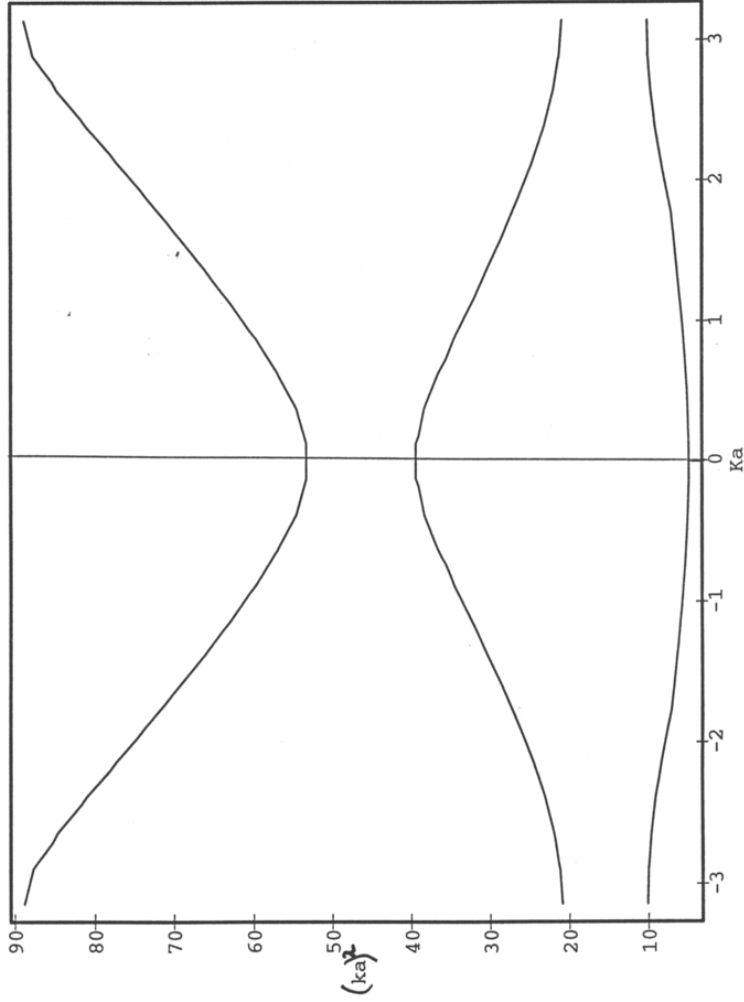
þú þarft að leysa óbeinnu jöfnuna

③ fyrir qa þegar ka tekur
eitt hvert gildi á þessu bili.

Fyrir hvert ka finnst öndunlega
 margar lausur fyrir qa , þú
 qa er ekki takmarkað við
þetta bil



$$\left\{ \cos(Ka) = \cos(ka) + \frac{4}{ka} \sin(ka) \right\} \rightarrow (ka)^2$$



> with(plots):

> cos(Ka)=cos(ka)+(4/ka)*sin(ka);

$$\cos(Ka) = \cos(ka) + 4 \frac{\sin(ka)}{ka}$$

> cos(Ka)=cos(sqrt(ka))+4/sqrt(ka)*sin(sqrt(ka));

$$\cos(Ka) = \cos(\sqrt{ka}) + 4 \frac{\sin(\sqrt{ka})}{\sqrt{ka}}$$

> implicitplot(cos(Ka)=cos(sqrt(ka))+4/sqrt(ka)*sin(sqrt(ka)), Ka=-Pi..Pi, ka
=0..9*Pi^2);

Rafeindirnar í þessum „einvíða kristalli“ retast þar ekki á jónirnar.
 Heldur geta einungis rafeinda-
 bylgjur með vissa skriðþunga
 borist um kristallinn. (11)

Astanda þéttleiki bónda

Höfum oft

$$Q = 2 \sum_{n \in K} Q_n(E)$$

$$\Rightarrow \rho = \lim_{V \rightarrow \infty} \frac{Q}{V} = 2 \sum_n \int \frac{dE}{(2\pi)^3} Q_n(E)$$

PC. \uparrow
 aðeins það n, k
 í gegnum $\Sigma_n E$

$$= \int dE g(E) Q(E)$$

með \swarrow α bónda

$$g(E) = \sum_n g_n(E)$$

og \int PC.

$$g_n(E) = \int \frac{dE}{4\pi^3} \delta(E - E_n(E))$$

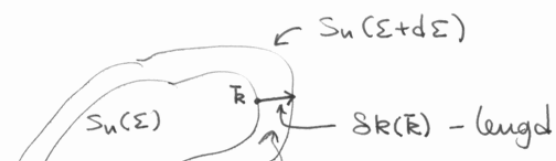
því

$$\int dE g(E) Q(E) = \int dE \sum_n \int \frac{dE}{4\pi^3} \delta(E - E_n(E)) Q(E)$$

$$= 2 \sum_n \int \frac{dE}{(2\pi)^3} Q(E_n(E))$$

$$= 2 \sum_n \int \frac{dE}{(2\pi)^3} Q_n(E)$$

(2)



$S_n(E)$ er yfirblanding $\Sigma(\vec{k}) = E$
 innan P.C. (frumgr. ein.)

$\rightarrow g_n(E) dE = 2 \int_{S_n(E)} \frac{dS}{(2\pi)^3} S_R(\vec{k})$

fjöldi ástanda í skel
 $\frac{(2\pi)^3}{V}$ rúmmál um punkt í k -grind

$\Sigma + d\Sigma = \Sigma + |\nabla_{\Sigma_n}(\vec{k})| S_R(\vec{k})$

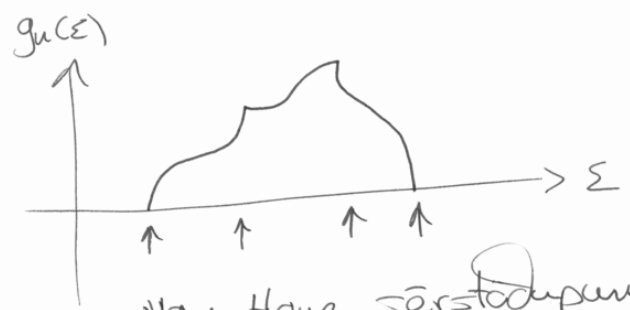
$\rightarrow S_R(\vec{k}) = \frac{d\Sigma}{|\nabla_{\Sigma_n}(\vec{k})|}$

Svo $g_n(E) = 2 \int_{S_n(E)} \frac{dS}{(2\pi)^3} \frac{1}{|\nabla_{\Sigma_n}(\vec{k})|}$

$\Sigma_n(\vec{k})$ er lotubandi í S_E
 \rightarrow takmarkað að ofan og neðan
 \rightarrow til punktar með $|\nabla \Sigma| = 0$
 í 3D eru sérstöp. haldar lagi

(3)

en valda ósamfelli í afleiðu



Van Hove sérstöðupunktur

í 2D- og 1D eru punktarnir vörvi

Áhrif þeirra koma fram í
 flutningsfræðun

Nöfnum frjáltsarrafendiskir (1)

Tilraunir: margir málmar
 Σ og P rafendiskir utan lotubunda
 kvæla

Bloch

$$\psi_{\mathbf{k}}(\mathbf{r}) = e^{i\mathbf{k}\cdot\mathbf{r}} u(\mathbf{r})$$

$$u(\mathbf{r}+\mathbf{R}) = u(\mathbf{r})$$

Nöfnum frjáltsar \rightarrow sléttar bylgjur

Fourier umm.
 lotubundis
 falls

reynum

$$u(\mathbf{r}) = \sum_{\mathbf{k}} C_{\mathbf{k}} e^{-i\mathbf{k}\cdot\mathbf{r}}$$

↑ sást frá Schr. jöfnun

$$\psi_{\mathbf{E}}(\mathbf{r}) = \sum_{\mathbf{k}} C_{\mathbf{k}} e^{i(\mathbf{E}-\mathbf{k})\cdot\mathbf{r}}$$

flayfjafnaner

$$\left\{ -\frac{\hbar^2}{2m} \nabla^2 + U(\mathbf{r}) \right\} \psi = \Sigma \psi$$

reynum innsetningu

$U(\mathbf{r})$ er lotubundid i \mathbf{R} og mæi þu
 skrifa sem Fouriervöð

$$U(\mathbf{r}) = \sum_{\mathbf{k}} U_{\mathbf{k}} e^{i\mathbf{k}\cdot\mathbf{r}}$$

með

$$U_{\mathbf{k}} = \frac{1}{V} \int_{\text{eining}} d\mathbf{r} e^{-i\mathbf{k}\cdot\mathbf{r}} U(\mathbf{r})$$

\rightarrow

$$\sum_{\mathbf{k}} \left\{ \left(\frac{\hbar^2}{2m} (\mathbf{E}-\mathbf{k})^2 - \Sigma \right) C_{\mathbf{k}} e^{i(\mathbf{E}-\mathbf{k})\cdot\mathbf{r}} + \left(\sum_{\mathbf{k}'} U_{\mathbf{k}'} e^{i\mathbf{k}'\cdot\mathbf{r}} \right) C_{\mathbf{k}} e^{i(\mathbf{E}-\mathbf{k})\cdot\mathbf{r}} \right\} = 0$$

$$\sum_{\mathbf{k}'\mathbf{k}} U_{\mathbf{k}'} e^{i(\mathbf{E}-(\mathbf{k}-\mathbf{k}'))\cdot\mathbf{r}} C_{\mathbf{k}-\mathbf{k}} \quad \mathbf{k} \rightarrow \mathbf{k}+\mathbf{k}'$$

$$\sum_{\mathbf{k}'\mathbf{k}} U_{\mathbf{k}'} e^{i(\mathbf{E}-\mathbf{k})\cdot\mathbf{r}} C_{\mathbf{E}-(\mathbf{k}+\mathbf{k}')}$$

þú er heyrjafnan

(3)

$$\sum_{\vec{k}} e^{i(\vec{k}-\vec{k}')\cdot\vec{r}} \left\{ \left(\frac{\hbar^2}{2m} (\vec{k}-\vec{k}')^2 - \Sigma \right) C_{\vec{k}-\vec{k}'} + \sum_{\vec{k}'} U_{\vec{k}'} C_{\vec{k}-(\vec{k}+\vec{k}')} \right\} = 0$$

byrtum stefni summunnar
 $\vec{k}' \rightarrow \vec{k}' - \vec{k}$

þá fæst:

$$\sum_{\vec{k}} e^{i(\vec{k}-\vec{k}')\cdot\vec{r}} \left\{ \left(\frac{\hbar^2}{2m} (\vec{k}-\vec{k}')^2 - \Sigma \right) C_{\vec{k}-\vec{k}'} + \sum_{\vec{k}'} U_{\vec{k}'-\vec{k}} C_{\vec{k}-\vec{k}'} \right\} = 0$$

fellkonin grannur sem upp fylkir jafnarst.
þú gæðir fyrir sérhvern bylgjuvegar $\vec{k}-\vec{k}'$

$$\left(\frac{\hbar^2}{2m} (\vec{k}-\vec{k}')^2 - \Sigma \right) C_{\vec{k}-\vec{k}'} + \sum_{\vec{k}'} U_{\vec{k}'-\vec{k}} C_{\vec{k}-\vec{k}'} = 0$$

$\vec{k} \in 1. \text{ Brillouin}$ $\vec{k}' \in \mathcal{R}$

Frjálssar rafveindir fyrir ástand $|\vec{k}\rangle$ gæðir

(4)

$$U_{\vec{k}} = 0$$

$$\rightarrow \left(\frac{\hbar^2}{2m} (\vec{k}-\vec{k}')^2 - \Sigma \right) C_{\vec{k}-\vec{k}'} = 0$$

$$\left(\Sigma_{\vec{k}-\vec{k}'}^0 - \Sigma \right) C_{\vec{k}-\vec{k}'} = 0$$

\rightarrow fyrir sérhvert \vec{k} gæðir: annarhvort er

$$C_{\vec{k}-\vec{k}'} = 0 \text{ eða } \Sigma = \Sigma_{\vec{k}-\vec{k}'}^0 (*)$$

tveir möguleikar

① (*) geist aðeins fyrir eitt \vec{k}
einföld ástand

$$\Sigma = \Sigma_{\vec{k}-\vec{k}'}^0, \quad \psi_{\vec{k}} \sim e^{i(\vec{k}-\vec{k}')\cdot\vec{r}}$$

② (*) geist fyrir $\vec{k}_1, \dots, \vec{k}_m$ gefa öll sömu orku

m -föld lausu, sérhvers samantekt
 m -lausur (frjálst $C_{\vec{k}-\vec{k}'}$) er líka
lausu

Veikt lotubandi matni

(5)

" $U_{\bar{K}} \neq 0$ er mjög smá"

① ~~Notum~~ einföld ástand

Veljum \bar{K} og athugum \bar{K}_1 p.a.

$$|\Sigma_{\bar{K}-\bar{K}_1}^0 - \Sigma_{\bar{K}-\bar{K}}^0| \gg U \quad \forall \bar{K} \neq \bar{K}_1$$

Veljum fíma áhrif U á frjálsa ástandið gefið með

$$\Sigma = \Sigma_{\bar{K}-\bar{K}_1}^0, \quad C_{\bar{K}-\bar{K}} = 0, \quad \bar{K} \neq \bar{K}_1$$

hreyfijafnan er

$$(\Sigma - \Sigma_{\bar{K}-\bar{K}_1}^0) C_{\bar{E}-\bar{K}_1} = \sum_{\bar{K} \neq \bar{K}_1} U_{\bar{K}-\bar{K}_1} C_{\bar{E}-\bar{K}} \quad (1)$$

$$U_{\bar{K}} = 0 \quad \text{þegar } \bar{K} = 0$$

↑ (fasti lagður við máltilid)

Ef nú $\bar{K} \neq \bar{K}_1$, þá getur hreyfijafnan

(6)

$$C_{\bar{E}-\bar{K}} = \frac{U_{\bar{K}_1-\bar{K}} C_{\bar{E}-\bar{K}_1}}{\Sigma - \Sigma_{\bar{K}-\bar{K}}^0} + \sum_{\bar{K}' \neq \bar{K}} \frac{U_{\bar{K}'-\bar{K}} C_{\bar{E}-\bar{K}'}}{\Sigma - \Sigma_{\bar{K}-\bar{K}}^0}$$

stærri hefur
vegna $C_{\bar{E}-\bar{K}_1}$ sem er stærst

líklegt í U ef neftarinn verður aldrei lítill vegna margfeldni

$$C_{\bar{E}-\bar{K}} = \frac{U_{\bar{K}_1-\bar{K}} C_{\bar{E}-\bar{K}_1}}{\Sigma - \Sigma_{\bar{K}-\bar{K}}^0} + O(U^2)$$

notum í (1)

$$(\Sigma - \Sigma_{\bar{K}-\bar{K}_1}^0) C_{\bar{E}-\bar{K}_1} = \sum_{\bar{K}} \frac{U_{\bar{K}-\bar{K}_1} U_{\bar{K}-\bar{K}}}{\Sigma - \Sigma_{\bar{E}-\bar{K}}^0} C_{\bar{E}-\bar{K}} + O(U^3)$$

leysum fyrir Σ upp til annars gráðu \bar{U} (línefara $\Sigma \rightarrow \Sigma_{\bar{K}-\bar{K}_i}$)

$$\Sigma = \Sigma_{\bar{K}-\bar{K}_i}^0 + \sum_{\bar{K}} \frac{|U_{\bar{K}-\bar{K}_i}|^2}{\Sigma_{\bar{K}-\bar{K}_i}^0 - \Sigma_{\bar{K}-\bar{K}}^0} + O(U^3)$$

* U kemur fyrst inn í annars stigs trefkun

* Fráhindring orku stiga

$\Sigma_{\bar{K}-\bar{K}}^0 > \Sigma_{\bar{K}-\bar{K}_i}^0$ veldur lökkun Σ

$\Sigma_{\bar{K}-\bar{K}}^0 < \Sigma_{\bar{K}-\bar{K}_i}^0$ veldur hökkun Σ

(2) rostun margfalt ástand

Veljum \bar{K} þá eru til $\bar{K}_1, \dots, \bar{K}_m$

p.a. $|\Sigma_{\bar{K}-\bar{K}}^0 - \Sigma_{\bar{K}-\bar{K}_j}^0| \gg U \quad j=1, \dots, m$

$\bar{K} \neq \bar{K}_1, \dots, \bar{K}_m$

'Öll önnur stig eru fjarni m.v. U

þá má sama (lesa sjálf) að

$$(\Sigma - \Sigma_{\bar{K}-\bar{K}_i}^0) C_{\bar{K}-\bar{K}_i} = \sum_{j=1}^m U_{\bar{K}_j-\bar{K}_i} C_{\bar{K}-\bar{K}_j}$$

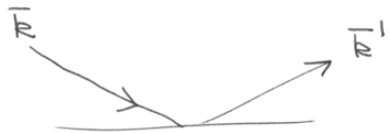
$i=1, \dots, m$

Bragg flötur (sætta)

von Laue stöðfræði fyrir speglun
röngtan geisla frá kristalli var

$$\vec{k} \cdot (\vec{k} - \vec{k}') = 2\pi m, \quad m \in \mathbb{Z}$$

$\forall \vec{k} \in \mathcal{B}$



$\rightarrow \vec{q} = \vec{k}' - \vec{k}$ er vígur í \mathcal{B}
einnig $-\vec{q}$

fræðandi árekskur $\rightarrow |\vec{k}| = |\vec{k}'|$

$$k = |\vec{k}' - \vec{q}|$$

$$\rightarrow k^2 = (k')^2 - 2\vec{q} \cdot \vec{k}' + q^2$$

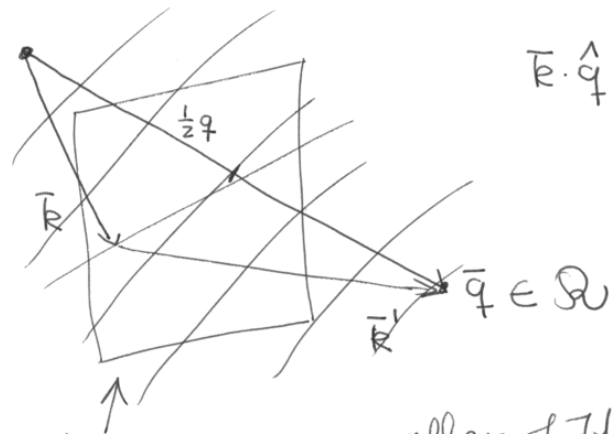
$$\rightarrow k^2 = k^2 - 2\vec{q} \cdot \vec{k}' + q^2$$

$\rightarrow q^2 = 2\vec{q} \cdot \vec{k}'$ Það á sama hátt
 $q^2 = 2\vec{q} \cdot \vec{k}$

$$\rightarrow \boxed{\vec{k} \cdot \vec{q} = \frac{1}{2} q}$$

(1)

(2)



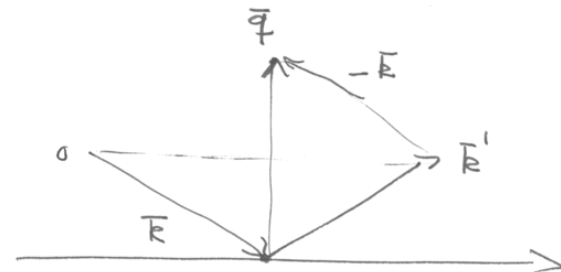
$$\vec{k} \cdot \vec{q} = \frac{1}{2} q$$

~~stettan sem~~

allar stettur þ.
stíðgreindar kallast
Bragg stettur

Umörðun á laue stöðfræðinum er

x-geisli speglast ef og aðeins ef
bylgju vígur geisla \vec{k} snertir
Bragg stettu



Ortugildi norri Bragg stættur

(3)

skývíst seinna

Um tvö frjálts ortugildi $\Sigma_{\bar{K}-\bar{K}_1}^0$ og $\Sigma_{\bar{K}-\bar{K}_2}^0$ gildir að þau eru norri hvort öðru en U og fjarri öllum öðrum gildum $\Sigma_{\bar{K}-\bar{K}_i}^0$ með $i \neq 1, 2$

þá gildir

$$\begin{cases} (\Sigma - \Sigma_{\bar{K}-\bar{K}_1}^0) C_{\bar{K}-\bar{K}_1} = U_{\bar{K}_2-\bar{K}_1} C_{\bar{K}-\bar{K}_2} \\ (\Sigma - \Sigma_{\bar{K}-\bar{K}_2}^0) C_{\bar{K}-\bar{K}_2} = U_{\bar{K}_1-\bar{K}_2} C_{\bar{K}-\bar{K}_1} \end{cases}$$

breytum rítholti

$$\bar{q} \equiv \bar{K} - \bar{K}_1 \quad \text{og} \quad \bar{K} = \bar{K}_2 - \bar{K}_1$$

$$\rightarrow (\Sigma - \Sigma_{\bar{q}}^0) C_{\bar{q}} = U_{\bar{K}} C_{\bar{q}-\bar{K}}$$

$$(\Sigma - \Sigma_{\bar{q}-\bar{K}}^0) C_{\bar{q}-\bar{K}} = U_{-\bar{K}} C_{\bar{q}} = U_{\bar{K}}^* C_{\bar{q}}$$

(4)

$$\Sigma_{\bar{q}}^0 \approx \Sigma_{\bar{q}-\bar{K}}^0, \quad |\Sigma_{\bar{q}}^0 - \Sigma_{\bar{q}-\bar{K}}^0| \gg U$$

ef $\bar{K}' \neq \bar{K}, \bar{0}$

$\Sigma_{\bar{K}} = \Sigma_{\bar{K}+\bar{K}}$: er lotubundin, en

$$\Sigma_{\bar{q}}^0 = \Sigma_{\bar{q}-\bar{K}}^0 \quad \text{aðeins ef} \quad \underbrace{|\bar{q}| = |\bar{q}-\bar{K}|}$$

Stilyrði fyrir þú að $|\bar{q}|$ sventi Bragg-stættu

þess vegna er stilyrðið að

$$\Sigma_{\bar{q}}^0 = \Sigma_{\bar{q}-\bar{K}'}^0 \quad \text{aðeins fyrir } \bar{K}' = \bar{K}$$

Krefa um að \bar{q} sventi aðeins þetta eina Bragg-plan

→ næstum tvöfalt ástand jafngildir þú að $\Sigma_{\bar{q}}$ sé norri þú að Bragg dreifast

Verti lotu bundin mætti hefur þau
 óeins áhrif á rafstöðir sem hafa
 bylgju lígur sem næstum uppfyllir
 Bragg stöðundin

Stöðum heftijöfnunar

Öhlidret jöfnu heppi \rightarrow ákvæða = 0

$$\begin{pmatrix} \Sigma - \Sigma_{\bar{q}}^0 & -U_{\bar{K}} \\ -U_{\bar{K}}^* & \Sigma - \Sigma_{\bar{q}-\bar{K}}^0 \end{pmatrix} \begin{pmatrix} C_{\bar{q}} \\ C_{\bar{q}-\bar{K}} \end{pmatrix} = 0$$

~~me~~ $AC = 0$

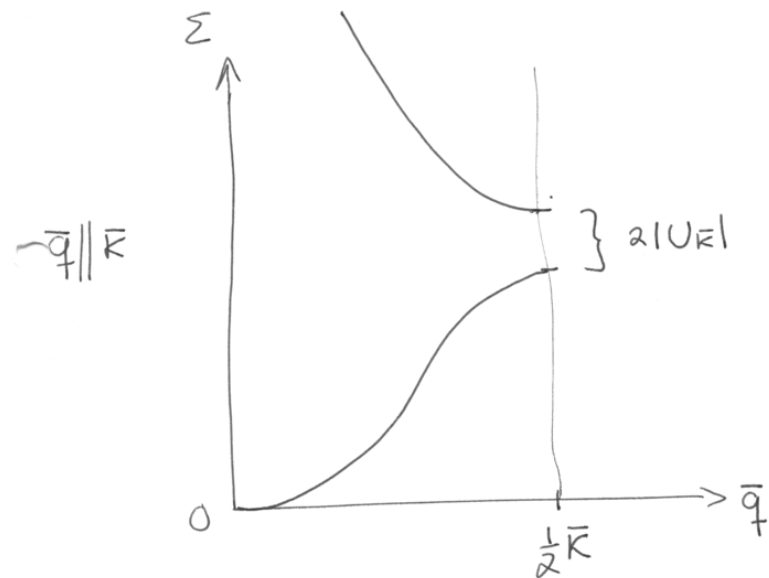
$\det A = 0$ gefur tvær lausnir

$$\Sigma = \frac{1}{2} (\Sigma_{\bar{q}}^0 + \Sigma_{\bar{q}-\bar{K}}^0) \pm$$

$$\left\{ \left(\frac{\Sigma_{\bar{q}}^0 - \Sigma_{\bar{q}-\bar{K}}^0}{2} \right)^2 + |U_{\bar{K}}|^2 \right\}^{1/2}$$

í Bragg stöðunni gæðir $\Sigma_{\bar{q}}^0 = \Sigma_{\bar{q}-\bar{K}}^0$

$$\rightarrow \Sigma = \Sigma_{\bar{q}}^0 \pm |U_{\bar{K}}| \quad \text{f. } \bar{q} \text{ á Bragg sl.}$$



í Bragg-stöðunni gæðir

yfirborð fastrar orku eru
 hornsett á Bragg stöðun

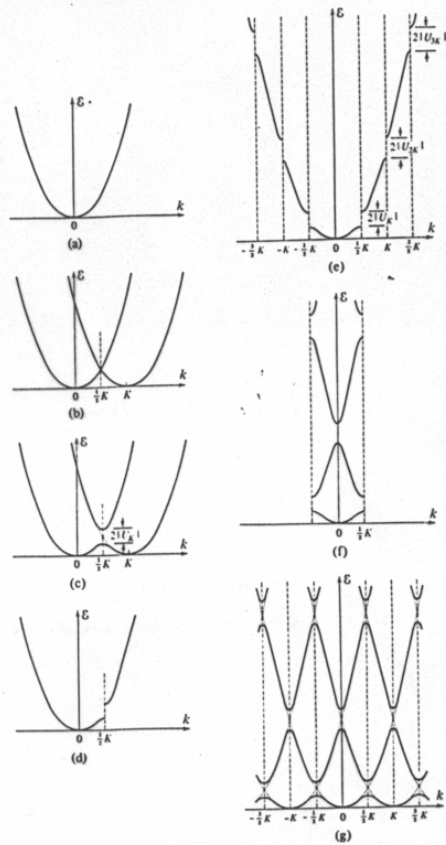


Figure 9.4 (a) The free electron ϵ vs. k parabola in one dimension. (b) Step 1 in the construction to determine the distortion in the free electron parabola in the neighborhood of a Bragg "plane," due to a weak periodic potential. If the Bragg "plane" is that determined by K , a second free electron parabola is drawn, centered on K . (c) Step 2 in the construction to determine the distortion in the free electron parabola in the neighborhood of a Bragg "plane." The degeneracy of the two parabolas at $K/2$ is split. (d) Those portions of part (c) corresponding to the original free electron parabola given in (a). (e) Effect of all additional Bragg "planes" on the free electron parabola. This particular way of displaying the electronic levels in a periodic potential is known as the *extended-zone scheme*. (f) The levels of (e), displayed in a *reduced-zone scheme*. (g) Free electron levels of (e) or (f) in a *repeated-zone scheme*.

extended zone scheme

reduced zone

repeated extended zone

Figure 9.5 Free electron energy levels for an fcc Bravais lattice. The energies are plotted along lines in the first Brillouin zone joining the points Γ ($k=0$), K , L , W , and X . ϵ_x is the energy at point X [$(h^2/2m)[2\pi/a]^2$]. The horizontal lines give Fermi energies for the indicated numbers of electrons per primitive cell. The number of dots on a curve specifies the number of degenerate free electron levels represented by the curve. (From F. Herman, in *An Atomistic Approach to the Nature and Properties of Materials*, J. A. Pask, ed., Wiley, New York, 1967.)

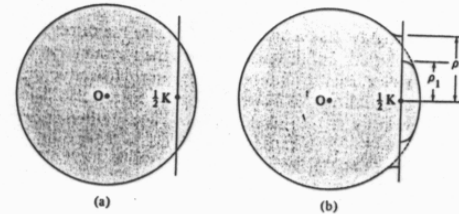
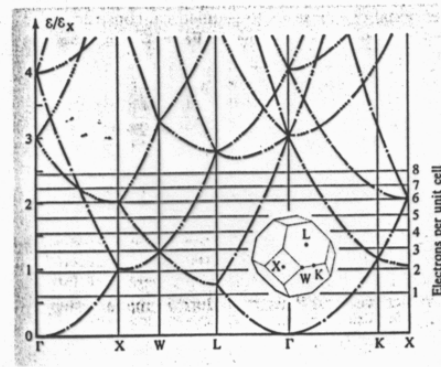
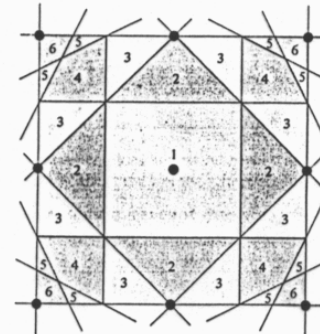


Figure 9.6 (a) Free electron sphere cutting Bragg plane located at $\frac{1}{2}K$ from the origin ($U_k=0$). (b) Deformation of the free electron sphere near the Bragg plane when $U_k \neq 0$. The constant-energy surface intersects the plane in two circles, whose radii are calculated in Problem 1.

Figure 9.7 Illustration of the definition of the Brillouin zones for a two-dimensional square Bravais lattice. The reciprocal lattice is also a square lattice of side b . The figure shows all Bragg planes (lines, in two dimensions) that lie within the square of side $2b$ centered on the origin. These Bragg planes divide that square into regions belonging to zones 1 to 6. (Only zones 1, 2, and 3 are entirely contained within the square, however.)



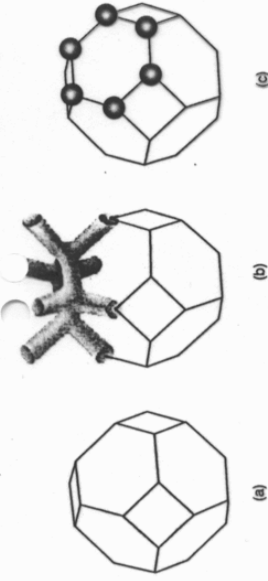


Fig. 5.24 The Fermi surface for an f.c.c. metal with four electrons per cell in the NFE approximation. (a) Second-zone hole-like surface. (b) Third-zone monster. (c) Four-zone electron-like surface.

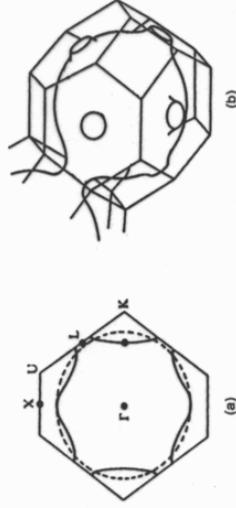


Fig. 5.25 The Fermi surface of Cu. (a) A (110) section through the first Brillouin zone. The dashed line represents the free-electron Fermi sphere. (b) The 3D Fermi surface inserted in the truncated octahedral Brillouin zone.

second and fourth zones are isolated and are hole-like and electron-like, respectively. However, the Fermi surface for the third zone is multiply connected in the repeated-zone scheme and cannot therefore be described as simply electron- or hole-like. Such topological forms for the Fermi surface are called, rather picturesquely, *monsters*.

For the monovalent alkali metals (Na, etc.), the Fermi wavevector is appreciably less than the shortest distance in reciprocal space to the first Brillouin-zone boundary (see Problem 5.1). Thus, NFE effects are negligible, and consequently the Fermi surface is simply a sphere lying within the first zone. Thus, such metals essentially behave like quantum free-electron systems. Cu also has one conduction electron per atom, and so the first Brillouin zone is also half-filled. However, k_F is rather close to the L-point in the first Brillouin zone (a truncated octahedron, since Cu has an f.c.c. structure), and so the electron energies in the (111) directions in k -space are strongly perturbed, and 'necks' occur near the L-points (Fig. 5.25).

5.2.5 Metals versus insulators

We have noted previously that the simple free-electron model with part-filled electron shells should be *metals*, since the result gas should be free to respond to an applied electric field at all frequencies. This picture is contrary to experience, since many materials are insulators, i.e. they have a zero electrical conductivity at zero frequency. The reasons for this are discussed thoroughly in Chapter 6. Nonetheless, to mention briefly here how the NFE picture allows to be distinguished.

It is instructive to consider at the outset a 1D crystal, for which the Brillouin zone consists of a single band, with bandgaps at the zone boundaries, the first Brillouin zone contains N states (where N is the number of atoms in the crystal of length L), each of which can contain two electrons (because of the Pauli exclusion principle). In the case of a monovalent chain (one conduction electron per atom) the Brillouin zone is filled with electrons, and k_F lies in the middle of the band (Fig. 5.26).

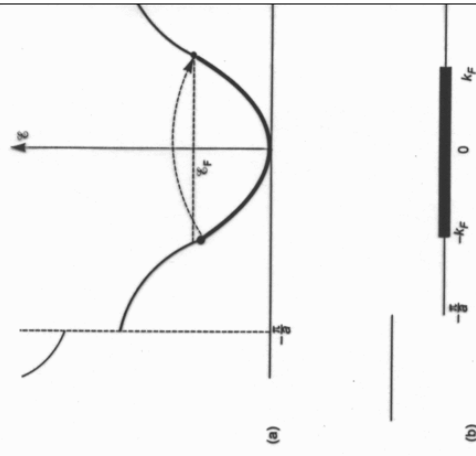


Fig. 5.26 (a) Band structure for a monovalent 1D crystal with periodic boundary conditions, shown by the bold curve. The system is metallic because the Fermi level lies within the band. A possible electronic transition, involving a change in momentum $\hbar k$, to the finite electrical resistance, is indicated. (b) Schematic representation of the Fermi level in the Brillouin zone for the 1D monatomic chain in the NFE approximation. There is a finite Fermi energy, $\pm \hbar v k_F$. If $|k_F| < \pi/a$, the electron distribution (shown by the shaded region) is a Fermi gas. If $|k_F| > \pi/a$, the electron distribution (shown by the shaded region) is a Fermi sea. In the latter case, the Fermi level lies at the zone boundary and metallic behaviour is exhibited.

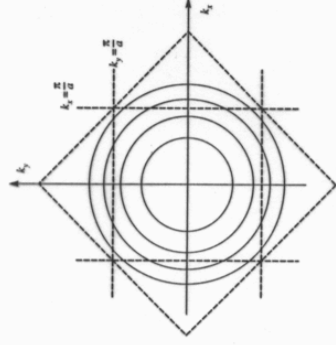


Fig. 5.18 Circular constant-energy contours (at equal energy intervals) for a free-electron gas in the empty-lattice approximation superimposed on the boundaries of the first two Brillouin zones of the 2D square real-space lattice.

the energy contours bend outwards from the free-electron circles towards the zone boundary. Likewise, the increase in energy for k -values just above the zone boundary causes the constant-energy contours to fall below the free-electron circular contours towards the zone boundary. The perturbed NFE contours meet the zone boundaries at right angles. Since the solutions of the Schrödinger equation at the zone boundaries are standing waves (eqn. (5.75)), the electron group velocity, $\partial \epsilon / \partial k = (1/\hbar) \nabla_k \epsilon$, must vanish there. The gradient of ϵ in k -space must therefore be parallel to the zone boundary, and consequently the constant-energy contour is normal to the boundary.

The NFE constant-energy contours for the 2D square lattice, superimposed on the boundaries of the first three, and part of the fourth, Brillouin zones (cf. Fig. 2.41) are shown in Fig. 5.19. The discontinuities in the energy contours at the zone boundaries correspond to the bandgaps in the band-structure $\epsilon(k)$ representation (Fig. 5.17). Figure 5.19 corresponds to the *extended-zone scheme* (cf. Fig. 5.17a). The energy contours can also be represented in the *reduced-zone scheme* (cf. Fig. 5.17b) by translating contours from zones higher than the first back into the first zone by means of appropriate reciprocal-lattice vectors. This is illustrated for the second zone in Fig. 5.20. Periodic continuation in k -space of these first and second zones (the contours already lying in the first zone in Fig. 5.19 and those translated into it from the second zone in Fig. 5.20, respectively) generates the *repeated-zone representation* (Fig. 5.21).

In general, of course, the most important energy contour to consider is that corresponding to the Fermi energy, ϵ_F , since it is electrons having this energy that control most of the electronic behaviour. A 2D example, for a square lattice containing four

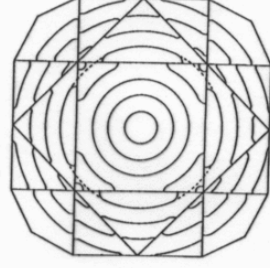


Fig. 5.19 Constant-energy contours for the NFE model applied to a 2D square lattice, superimposed on the boundaries of the first three, and part of the fourth, Brillouin zones in the extended-zone scheme. The dashed curves show one of the undistorted circular contours of the free-electron case.

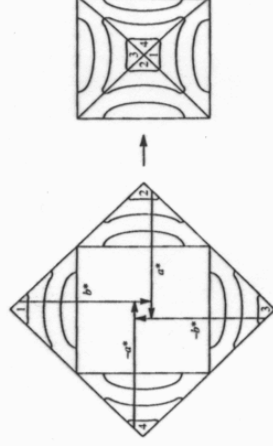
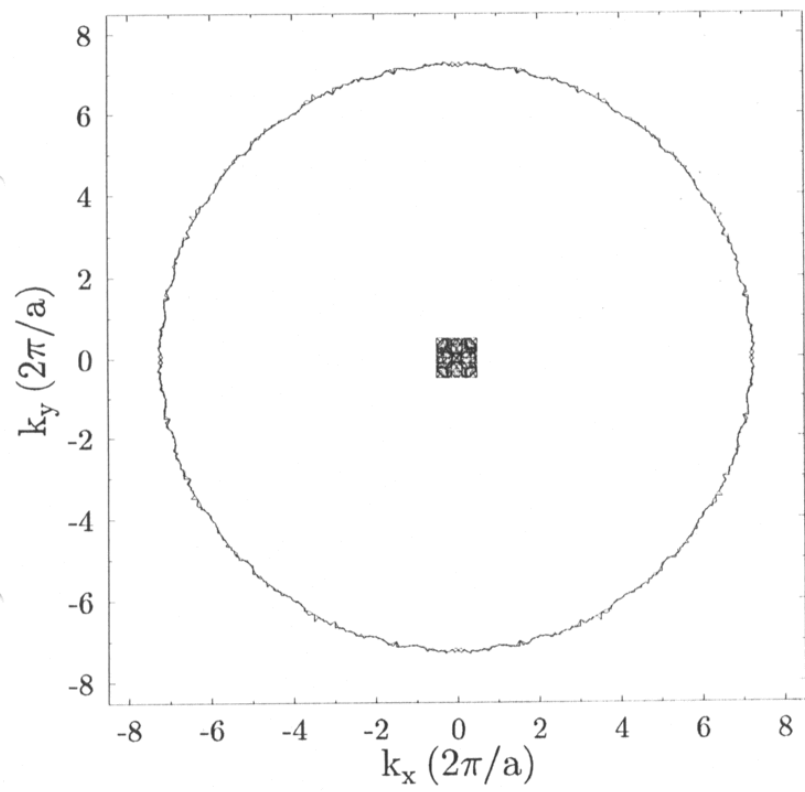


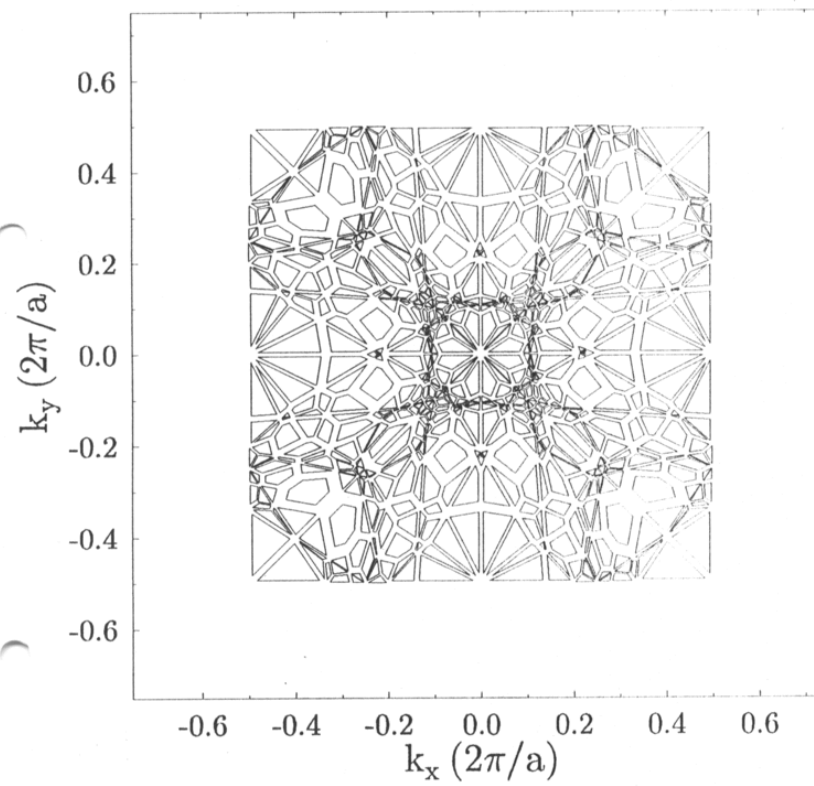
Fig. 5.20 Constant-energy contours from the second Brillouin zone in the extended-zone scheme (Fig. 5.19) represented in the reduced-zone scheme. The reciprocal-lattice vectors necessary to translate the segments from the second zone are indicated.

electrons per primitive unit cell in the free-electron approximation, is shown in Fig. 5.22a; the Fermi circle intersects four zones in this case. Those parts of higher zones that are occupied by electrons can be folded back into the first zone and periodically continued to generate repeated-zone representations, as in Figs. 5.22b-d. Note that there are two topologically distinct contours represented in Figs. 5.22b-d. In one,

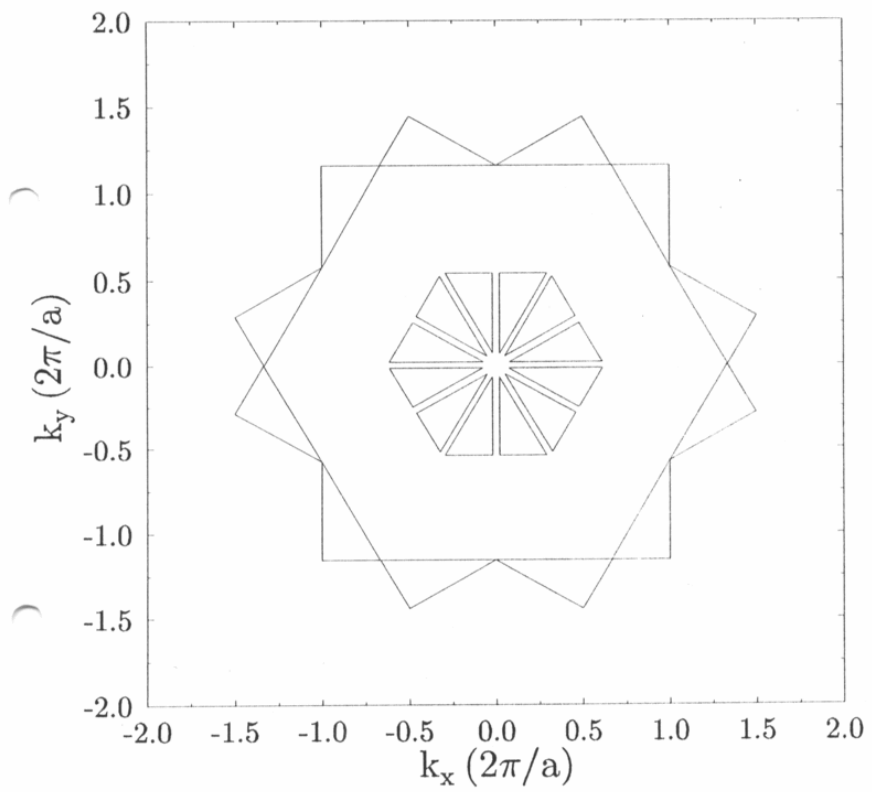
sqr, n=165



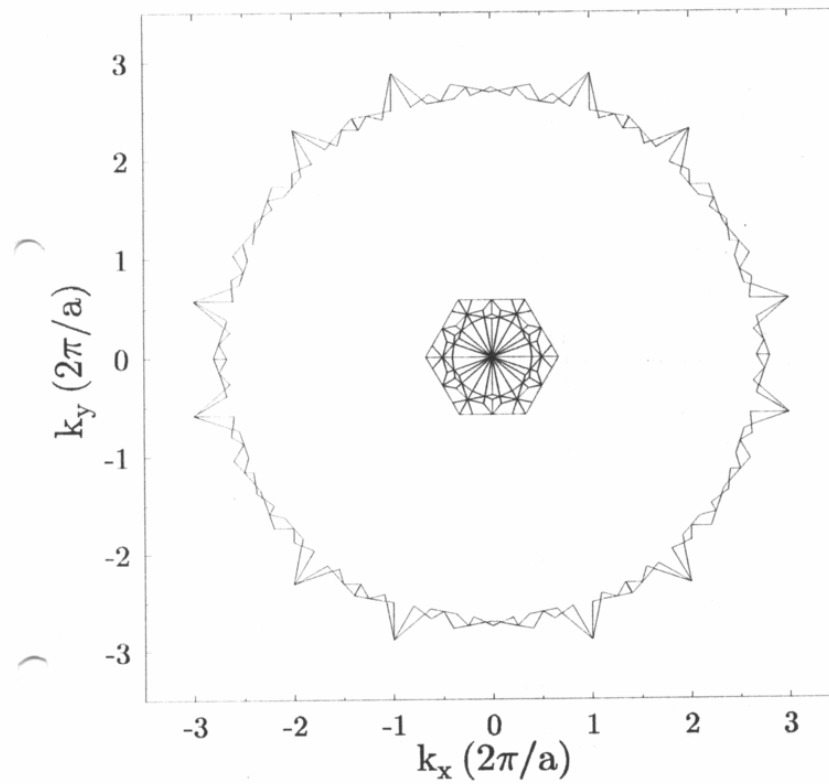
sqr, n=165



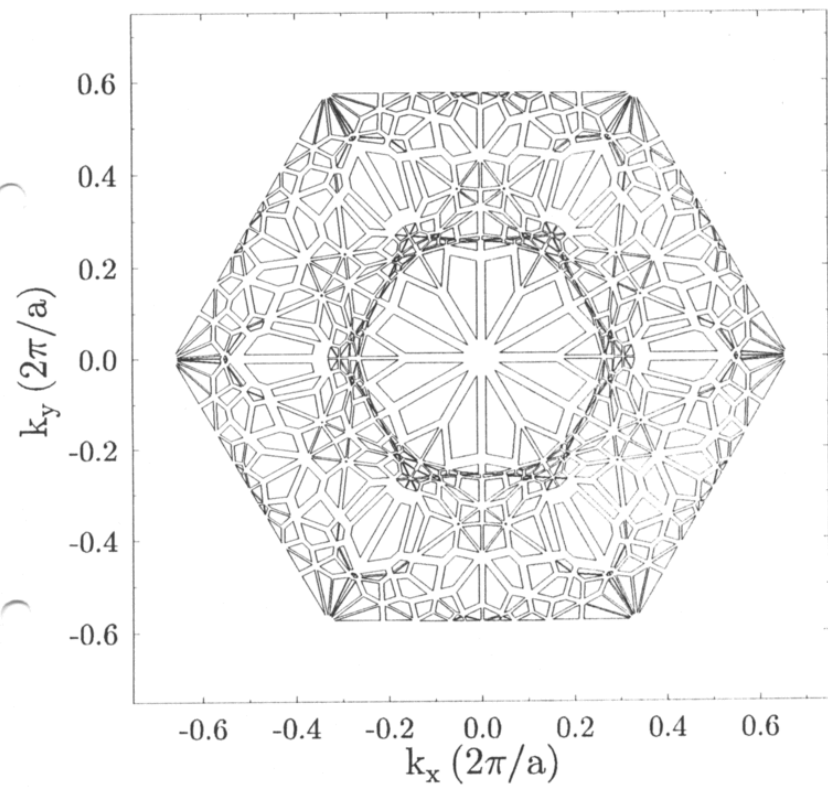
hex, n=5



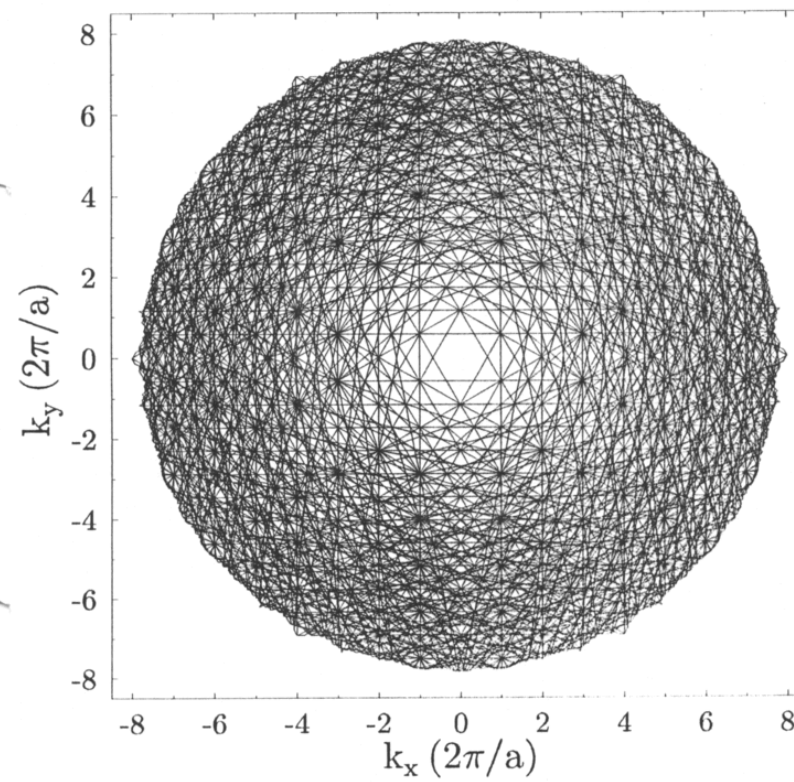
(n=21)



hex, $n=165$



hex, $n_z=1-165$



(1)

* Spunaþrautar vöxlveitun klýfur oft margföldu þörðu í hönnu sam hver þu punktum.

10 - Þéttbundnar rofeindir

Gengur þegar lítamä ä grüud atöma og finna rofeinda-ästöud küstalsins með tuflanaveitunögi fyrir atöma-ästöud.

Eimangurur

Mátnar með d-güldis rofeindir

Ef atömin emu þ. i grüudinni ä rofeinda-ästöudin tuflast ekk vegna notu gramma þä güdir

$$H_{at} \psi_n = E_n \psi_n$$

fyrir eitt visst atöm

Skörun bylgjuþella mismunandi atöma þart äð vera lítill (eða engin)

(2)

Ef skörun er þä þart

$$H = H_{at} + \Delta U(r)$$

allar leiðréttingar ä atömmattinn til äð ljusa lotubundna mötti grüudar.

Ef $\Delta U = 0$ alltaf þegar $\psi_n(r) \neq 0$ þä veri ψ_n líka lausu fyrir H.

Til äð uppfylla Bloch: $\psi(r+\bar{r}) = e^{i\bar{k} \cdot \bar{r}} \psi(r)$ þä veri lausnin valin sem

$$\psi_{n\bar{r}}(r) = \sum_{\bar{r}} e^{i\bar{k} \cdot \bar{r}} \psi_n(r-\bar{r})$$

↑
má sama

(\bar{r} tekur N güldi ä 1. Bs til äð uppfylla BrK)

$\Sigma_n(\bar{k})$ voni öhöð \bar{k} vegna engurr skörunar bylgjuþella

Mæt skörum

(3)

Leitum lausnar

$$\psi(\mathbf{r}) = \sum_{\mathbf{R}} e^{i\mathbf{k}\cdot\mathbf{R}} \phi(\mathbf{r}-\mathbf{R}) \quad (1)$$

Þs. ϕ er ekki „atómfall“ en verður að ákvarðast. ϕ má líta í ψ_n : (LCAO)

$$\phi(\mathbf{r}) = \sum_n b_n \psi_n(\mathbf{r}) \quad (2)$$

$$H\psi(\mathbf{r}) = (H_{\text{at}} + \Delta U(\mathbf{r}))\psi(\mathbf{r}) = \Sigma(\mathbf{k})\psi(\mathbf{r})$$

innfalda með ψ_m og nota

$$\langle \psi_m | H_{\text{at}} | \psi \rangle = \int \psi_m^*(\mathbf{r}) H_{\text{at}} \psi(\mathbf{r}) d\mathbf{r}$$

$$= E_m \langle \psi_m | \psi \rangle$$

þá fæst

$$E_m \langle \psi_m | \psi \rangle + \langle \psi_m | \Delta U | \psi \rangle = \Sigma(\mathbf{k}) \langle \psi_m | \psi \rangle$$

$$\Rightarrow (\Sigma(\mathbf{k}) - E_m) \langle \psi_m | \psi \rangle = \langle \psi_m | \Delta U | \psi \rangle$$

notum (1) og (2)

(4)

$$(\Sigma(\mathbf{k}) - E_m) \sum_{\mathbf{R}} e^{i\mathbf{k}\cdot\mathbf{R}} \sum_n b_n \int d\mathbf{r} \psi_m^*(\mathbf{r}) \psi_n(\mathbf{r}-\mathbf{R})$$

$$= \sum_{\mathbf{R}} e^{i\mathbf{k}\cdot\mathbf{R}} \sum_n b_n \int d\mathbf{r} \psi_m^*(\mathbf{r}) \Delta U(\mathbf{r}) \psi_n(\mathbf{r}-\mathbf{R})$$

$$\text{Ef } \mathbf{R} = 0 \text{ þá fæst } \langle \psi_m | \psi_n \rangle = \delta_{m,n}$$

þú er þetta

$$(\Sigma(\mathbf{k}) - E_m) b_m = -(\Sigma(\mathbf{k}) - E_m) \sum_n \left\{ \sum_{\mathbf{R} \neq 0} \int d\mathbf{r} \psi_m^*(\mathbf{r}) \psi_n(\mathbf{r}-\mathbf{R}) e^{i\mathbf{k}\cdot\mathbf{R}} \right\} b_n$$

$$+ \sum_n \left\{ \int \psi_m^*(\mathbf{r}) \Delta U(\mathbf{r}) \psi_n(\mathbf{r}) d\mathbf{r} \right\} b_n$$

$$+ \sum_n \left\{ \sum_{\mathbf{R} \neq 0} \int \psi_m^*(\mathbf{r}) \Delta U(\mathbf{r}) \psi_n(\mathbf{r}-\mathbf{R}) e^{i\mathbf{k}\cdot\mathbf{R}} d\mathbf{r} \right\} b_n$$

~~0=0~~

~~$$(\Sigma(\mathbf{k}) - E_m) b_m = \Sigma(\mathbf{k}) \langle \psi_m | \psi \rangle - E_m \langle \psi_m | \psi \rangle$$~~

Notum líkami þegar rafeindaástand em
staðbundin p.a. lódir með

(5)

$$\int dF \psi_m^*(F) \psi_n(F-R) \quad (\text{skörum})$$

em smáir m.v. 1

Eins er búst við að

$$\int dF \psi_m^*(F) \Delta U(F) \psi_n(F)$$

sé smár lódir, ψ_n er líkt p.s. ΔU er
ótti hverfandi

$$\text{f.d. } \psi_n \approx m=0 \quad (\Sigma(E) - E_m) b_m \text{ er líkt}$$

$$\rightarrow \Sigma(E) \approx E_0, \quad b_m \approx 0 \text{ nema } E_m \approx 0$$

Með í lódirum á ψ þarf að tala ástand
sem uomi liggja í orku

s-Dordi vegna eins s-ástands atóms

(6)

$$(\Sigma(E) - E_s) b_s = -(\Sigma(E) - E_s) \sum_{R \neq 0} \int dF \psi_s^*(F) \psi_s(F-R) e^{iE \cdot R} b_s$$

$$+ \int dF |\psi_s^*(F)|^2 \Delta U(F) b_s$$

$$+ \sum_{R \neq 0} \int dF \psi_s^*(F) \Delta U(F) \psi_s(F-R) b_s$$

Umstiftun sem:

$$(\Sigma(E) - E_s) = -(\Sigma(E) - E_s) \sum_{R \neq 0} \alpha(R) e^{iE \cdot R}$$

$$- \beta - \sum_{R \neq 0} \gamma(R) e^{iE \cdot R}$$

þá

$$(\Sigma(E) - E_s) (1 + \sum_{R \neq 0} \alpha(R)) = -\beta - \sum_{R \neq 0} \gamma(R)$$

$$\rightarrow \Sigma(E) = E_s = \frac{\beta + \sum_{R \neq 0} \gamma(R) e^{iE \cdot R}}{1 + \sum_{R \neq 0} \alpha(R) e^{iE \cdot R}}$$

$\Psi_s(\vec{r}) \in \mathbb{R} \rightarrow$ og ódeins hátt $|\vec{r}|$

$\rightarrow \alpha(-\vec{r}) = \alpha(\vec{r})$

$\Delta U(-\vec{r}) = \Delta U(\vec{r}) \leftarrow$ speglingarsamkv. grúndar

$\gamma(-\vec{r}) = \gamma(\vec{r})$

Waste grammar neftari $\rightarrow 1 \quad \frac{1}{2} \{ e^{i\vec{E} \cdot \vec{R}} + e^{-i\vec{E} \cdot \vec{R}} \}$



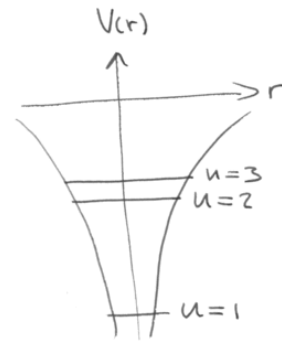
$\rightarrow \Sigma(\vec{E}) = E_s - \beta - \sum_{u.n.} \gamma(\vec{R}) \cos(\vec{E} \cdot \vec{R})$

fcc (sc)

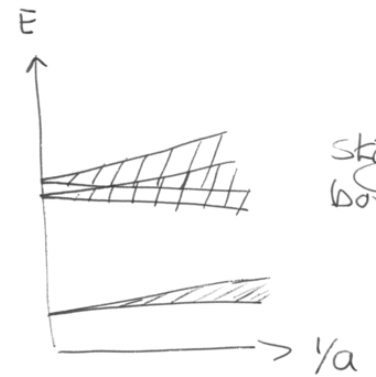
$\vec{R} = \frac{a}{2}(\pm 1, \pm 1, 0), \frac{a}{2}(\pm 1, 0, \pm 1), \frac{a}{2}(0, \pm 1, \pm 1)$

$\Sigma(\vec{E}) = E_s - \beta - 4\gamma \left\{ \cos\left(\frac{k_x a}{2}\right) \cos\left(\frac{k_y a}{2}\right) + \cos\left(\frac{k_y a}{2}\right) \cos\left(\frac{k_z a}{2}\right) + \cos\left(\frac{k_z a}{2}\right) \cos\left(\frac{k_x a}{2}\right) \right\} (*)$

↑ flýgþoga hátt k fyrir lítil E



atóm



kríSTALLUR

fyrir $ka \ll 1$

$\Sigma(\vec{E}) \approx E_s - \beta - 4\gamma \left\{ \left(1 - \frac{1}{2}\left(\frac{k_x a}{2}\right)^2\right) \left(1 - \frac{1}{2}\left(\frac{k_y a}{2}\right)^2\right) + \left(1 - \frac{1}{2}\left(\frac{k_y a}{2}\right)^2\right) \left(1 - \frac{1}{2}\left(\frac{k_z a}{2}\right)^2\right) + \left(1 - \frac{1}{2}\left(\frac{k_z a}{2}\right)^2\right) \left(1 - \frac{1}{2}\left(\frac{k_x a}{2}\right)^2\right) \right\}$

$\approx E_s - \beta - 4\gamma \left\{ 3 - \frac{ka^2}{8} \cdot 2 \right\}$

$= E_s - \beta - 12\gamma + \gamma ka^2$



þá er ortu flétur um $\vec{E} \approx 0$ en kátu samkv. fyrir.

* $V_{ij}(\vec{R}) = - \int dF \psi_i^*(F) \Delta U(F) \psi_j(F - \vec{R})$

Stýrir bandbreidd þada
 \rightarrow störun \leftrightarrow bandbreidd.

* Blokk-ástand \rightarrow rafeld er ekki
 stöðbundin í kristallinum
 sést líka þá $\bar{U}(\vec{k}) = \frac{1}{N} \sum_{\vec{k}} \Sigma(\vec{k})$
 mjörvi þada \rightarrow minni hagi

* Spuna-Drantar virkverkan
 er nauðsynleg þega ástand
 en notum margföld.

* fjöleindahit $a \rightarrow \infty$ leiðni
 munta hagt og rölega
 en í Raun þellast Matt.-breytingin

Lesi sjálf um Wannier

ds 187 - 188

Bordareikningar

Tvær aðferðir:

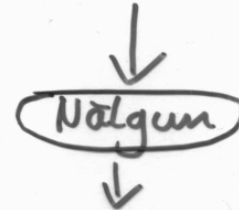
- 1) Notum frjálstar rafeldir s, p-málmar
- 2) Þéttbundnar rafeldir d-málmar
eiðangrar

\uparrow Tvö markgildi á sittuorun jöðri „öfs“
 Ekki allveg ljóst hvi þer verka frekar vel!

Fleiri aðferðir

Til aðráða við fleiri tilfelli

Fjöleindakerti \leftrightarrow fjöleindaaðferðir



Ein eind í virku motti

\uparrow
 Ljóst með $\psi(F)$

Safu frjálstra einda $\psi_n(F)$
 hver í virku motti $V(F)$

sem er háð
 öllum öðrum
 ψ_n

Ölunulegar jöfnur \rightarrow itrun lausna

Ástönd gildisrofeinda

(2)

Ástönd á innri hvelum eru staðbundin
 $\psi \rightarrow 0$ fjar kjarna ψ tekur miklum breytingum
næmi kjarna

Ástönd á „gildisborða“ eru ekki staðbundin

Öll ástöndin eru hornrétt
→ jafnvel gildisástönd
breytast hratt í kringum
kjarna

Ekki hægt að lýsa með næstum frjálsum
ástöndum, nema mjög stór grunnur sé
notaður

vegna þessa og
af öðrum ástöndum

Advar aðferðir

Einingaraðferð

brautkolla form
viðhengdar sléttar bylgjur
(APW)
Greensfalla aðferð
(KKR)

Leidréttar flatar bylgjur

→ Sjúðarmætti

Einingaraðferð (gründareining)

(3)

Uppfyllir Bloch skilyrðið

$$\psi_{\mathbf{R}}(\mathbf{r}+\mathbf{R}) = e^{i\mathbf{k}\cdot\mathbf{R}} \psi_{\mathbf{R}}(\mathbf{r})$$

Schrödinger jafnan er leyst innan ádeins
einnar frumgründareiningar



Mætti er einfaldast þ.a. ádeins ein jón
ákvæðar það

Jadaraskilyrði

$$\psi(\mathbf{r}) = e^{-i\mathbf{k}\cdot\mathbf{R}} \psi(\mathbf{r}+\mathbf{R})$$
$$\hat{H}(\mathbf{r}) \cdot \nabla \psi(\mathbf{r}) = -e^{-i\mathbf{k}\cdot\mathbf{R}} \hat{H}(\mathbf{r}+\mathbf{R}) \cdot \nabla \psi(\mathbf{r}+\mathbf{R})$$

$$\psi(\mathbf{r}, \mathbf{E}) = \sum_{\ell m} A_{\ell m} Y_{\ell m}(\theta, \varphi) \chi_{\ell, \mathbf{E}}(\mathbf{r})$$

(almennt ekki eiginástönd L^2)

Vandi

Er fjitt að uppfylla jadarst. í flökenni
einingu
Einvögruð jón í grundar einingu

(4)

(mit nichtw) (Waffen für) (AWM, KKS)

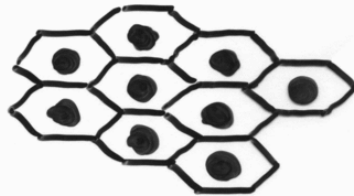
Brongkollaforn

Innan einindar:

$$\begin{aligned}
 \text{ö} > |r - r_0| > r_0 & \quad U(r) = V(|r - r_0|) \\
 \text{ö} < |r - r_0| < r_0 & \quad 0 = (r) V =
 \end{aligned}$$

ö > |r - r_0| > r_0

(ö > |r - r_0| > r_0)



WPA WPA

$$\psi_{j, \vec{r}} = \sum_{\vec{r}} \phi_{j, \vec{r}} : \text{ö} > |r - r_0| > r_0$$

ö > |r - r_0| > r_0

$$\psi_{j, \vec{r}} = \sum_{\vec{r}} \phi_{j, \vec{r}} : \text{ö} > |r - r_0| > r_0$$

$$\psi_{j, \vec{r}} = \sum_{\vec{r}} \phi_{j, \vec{r}} (|r - r_0|) V + \sum_{\vec{r}} \phi_{j, \vec{r}}^s \bar{V} \frac{\partial}{\partial \vec{r}}$$

$$\bar{V} > |r - r_0|$$

(5)

ö > |r - r_0| > r_0

ö > |r - r_0| > r_0

$$\psi_E(\vec{r}) = \sum_{\vec{k}} C_{\vec{k}} \phi_{\vec{k}, \Sigma(E)}(\vec{r})$$

ö > |r - r_0| > r_0



ö > |r - r_0| > r_0

$$E[\psi] = \frac{\int \left(\frac{\hbar^2}{2m} |\nabla \psi|^2 + U(r) |\psi|^2 \right) d\vec{r}}{\int |\psi|^2 d\vec{r}}$$

ö > |r - r_0| > r_0

ö > |r - r_0| > r_0

ö > |r - r_0| > r_0

Greenstalla aðferð Korrínga, Kohus og Rostokers (KKR) (6)

Schrödinger jafnan er skrifuð á heildisformi

$$\psi_E(\mathbf{r}) = \int d\mathbf{r}' G_{\Sigma(E)}(\mathbf{r}-\mathbf{r}') U(\mathbf{r}') \psi_E(\mathbf{r}')$$

$$G_{\Sigma}(\mathbf{r}-\mathbf{r}') = -\frac{e^{i\mathbf{k}|\mathbf{r}-\mathbf{r}'|}}{4\pi|\mathbf{r}-\mathbf{r}'|}$$

$$\begin{aligned} k &= \sqrt{2m\Sigma/\hbar^2} \quad \text{ef } \Sigma > 0 \\ &= i\sqrt{2m(-\Sigma)/\hbar^2} \quad \text{ef } \Sigma < 0 \end{aligned}$$

notum $U(\mathbf{r}) = \sum_{\mathbf{R}} V(|\mathbf{r}-\mathbf{R}|)$ muffin tíu

setjum $\mathbf{r}'' = \mathbf{r}' - \mathbf{R}$

$$\psi_E(\mathbf{r}) = \sum_{\mathbf{R}} \int d\mathbf{r}'' G_{\Sigma}(\mathbf{r}-\mathbf{r}''-\mathbf{R}) V(\mathbf{r}'') \psi_E(\mathbf{r}''+\mathbf{R})$$

Bloch $\rightarrow \psi_E(\mathbf{r}''+\mathbf{R}) = e^{i\mathbf{E}\cdot\mathbf{R}} \psi_E(\mathbf{r}'')$

því fast (7)

$$\psi_E(\mathbf{r}) = \int d\mathbf{r}' G_{\mathbf{R},\Sigma(E)}(\mathbf{r}-\mathbf{r}') V(\mathbf{r}') \psi_E(\mathbf{r}'+\mathbf{R})$$

með

$$G_{\mathbf{R},\Sigma}(\mathbf{r}-\mathbf{r}') = \sum_{\mathbf{R}} G_{\Sigma}(\mathbf{r}-\mathbf{r}'-\mathbf{R}) e^{i\mathbf{k}\cdot\mathbf{R}}$$

allar upplýsingar um krístallsuppbygg. og áhrif \mathbf{R} eru í G sem er óháð U

reyna mism. U

óhliðrud jafna \rightarrow ákveða $= 0$

$$\boxed{\Sigma(\mathbf{k})}$$

Ræða aðeins kosti heildisjafna

Leiðrétta sléttar bylgjur OPW

8

Jón \leftrightarrow milli svæði

$$\phi_E = e^{i\mathbf{k}\cdot\mathbf{r}} + \sum_C b_C \psi_E^C(\mathbf{r})$$

↑
gildisástand

↑
innri hvel
fengin frá
öðrum reitum.

Krefjumst að gildis og ástand innri
hvela séu hornrétt

$$\int d\mathbf{r} \psi_E^{*C}(\mathbf{r}) \phi_E(\mathbf{r}) = 0$$

$$\downarrow$$

$$b_C = - \int d\mathbf{r} \psi_E^{*C}(\mathbf{r}) e^{i\mathbf{k}\cdot\mathbf{r}}$$

Kostir

- * Jafnvel ϕ_E breytast hratt nærri
jón
- * Leiðrétting á sléttum bylgjum er
lítil á milli jóna

Sýndarmatti Pseudopotential

9

útvíkkun OPW

$$\phi_E^v(\mathbf{r}) = \sum_K C_K e^{i(\mathbf{K}+\mathbf{r})\cdot\mathbf{r}}$$

$$\psi_E^v(\mathbf{r}) = \phi_E^v(\mathbf{r}) - \sum_C \left(\int d\mathbf{r}' \psi_E^{*C}(\mathbf{r}') \phi_E^v(\mathbf{r}') \right) \cdot \psi_E^C(\mathbf{r})$$

Hægt er að umskrifa

$$H \psi_E^v = \sum_K^v \psi_E^v$$

sem

$$(H + V^R) \phi_E^v = \sum_K^v \phi_E^v$$

með

$$V^R \psi = \sum_C (\epsilon_E^v - \epsilon_C) \left(\int d\mathbf{r}' \psi_E^{*C}(\mathbf{r}') \psi \right) \psi_E^C$$

Sýndarmattid er stölgreint sem

$$H + V^R = -\frac{\hbar^2}{2m} \nabla^2 + V \text{ pseudo}$$

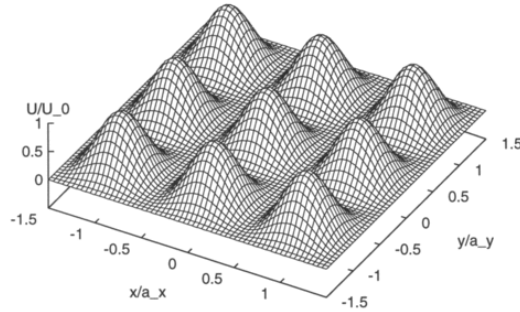
↑
östöðbundid

2 Lýsing kerfis

Við leggjum til grundvallar eftirfarandi andpunkta-mætti til lýsingar á virku mætti kristallsins í sléttunni:

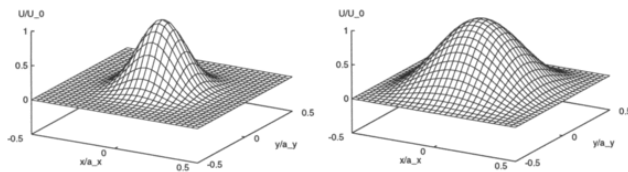
$$U(x, y) = U_0 \left[\cos\left(\frac{\pi}{a_x}x\right) \cos\left(\frac{\pi}{a_y}y\right) \right]^{2\alpha}. \quad (1)$$

Hér veljum við grindarfastana $a_x = a_y = 100$ nm og mættishæðina U_0 á stærðarþrepinu með V . Þessar stærðir eru í samræmi við þau GaAs kerfi sem hægt er að búa til á tilraunastofum með núverandi tækni (sjá [7]). Andpunktarnir í jöfnu (1) mynda ferningslaga Bravais-grind eins og sýnt er á mynd 1.



Mynd 1: Ferningsgrind andpunkta samkvæmt jöfnu (1). Hér er $\alpha = 1$.

Við munum skoða Bravais-grindina nánar hér á eftir en beinum nú sjónum okkar að eiginleikum andpunktanna (1). Breidd punktanna ákvarðast af veldisvísunum α . Af þessum vísi ræðst því hversu vel aðgreindir andpunktarnir eru, hver frá öðrum, og þar með hversu breiðar “rásir” liggja á milli þeirra. Þetta er sýnt á mynd 2



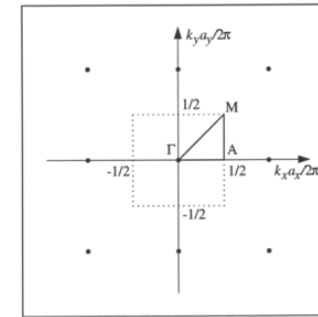
Mynd 2: Vel einangraður andpunktur (a) og breiður andpunktur með skörun (b). Í (a) er $\alpha = 3$ en fyrir (b) er $\alpha = 1$. Sýnd er ein frumeining í ferningsgrindinni.

4 Útreikningar á orkubörðum

Samkvæmt grein 3 gefur lausn jöfnuhneppisins (25) okkur orku og eiginástönd rafeindar í andpunkta-mættinu (1). Við endurrítum hér jöfnuhneppið til hægðarauka:

$$\left(\frac{\hbar^2}{2m} (\mathbf{k} + \mathbf{K})^2 - E \right) c_{\mathbf{k}+\mathbf{K}} + \sum_{\mathbf{K}' \in \mathcal{K}} \hat{U}(\mathbf{K} - \mathbf{K}') c_{\mathbf{k}+\mathbf{K}'} = 0, \quad \forall \mathbf{K} \in \mathcal{K}. \quad (27)$$

Hér er $\mathcal{K} = \{\mathbf{K} = m_1 \mathbf{b}_1 + m_2 \mathbf{b}_2 \mid m_1, m_2 \in \mathbb{Z}\}$ þar sem $\mathbf{b}_1, \mathbf{b}_2$ eru grunnvigrar nykurgrindarinnar eins og þeir voru skilgreindir í kafla 2. Við munum skoða lausnirnar innan fyrsta Brillouin svæðisins og höfum sérstaklega áhuga á orkubörðunum á samhverfuásnum í nykurgrindinni. Þessir ásar eru ΓA , ΓM og $\Gamma \Gamma$ og eru þeir sýndir á mynd 4 (nafngiftir eru hér í samræmi við [7]). Ef við



Mynd 4: Fyrsta Brillouin svæðið fyrir andpunkta-grindina. Mikilvægustu samhverfupunktur ásamt nafngiftum eru sýndir.

skilgreinum einingarlausu stikana t_x og t_y þannig

$$t_x := \frac{a_x}{2\pi} k_x \quad (28)$$

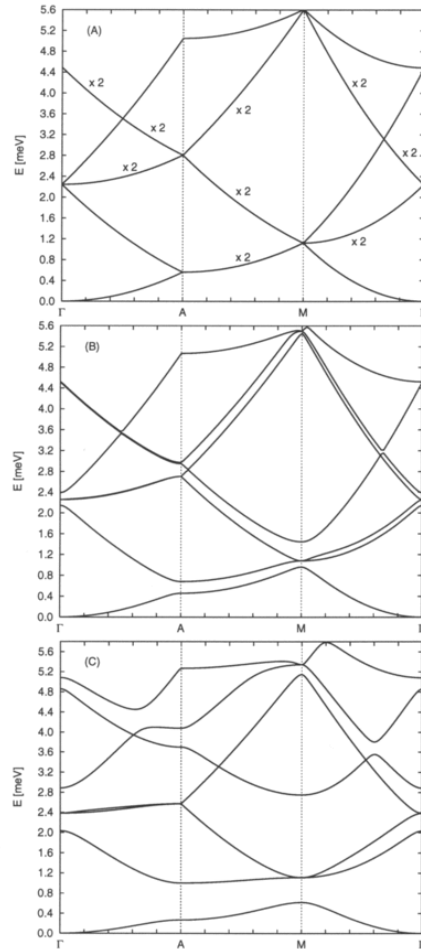
$$t_y := \frac{a_y}{2\pi} k_y \quad (29)$$

þá má rita fyrsta Brillouin svæðið sem mengið $[-1/2, 1/2] \times [-1/2, 1/2]$. Þetta er sýnt á mynd 4. Við munum notast við þessa framsetningu svæðisins héðan í frá.

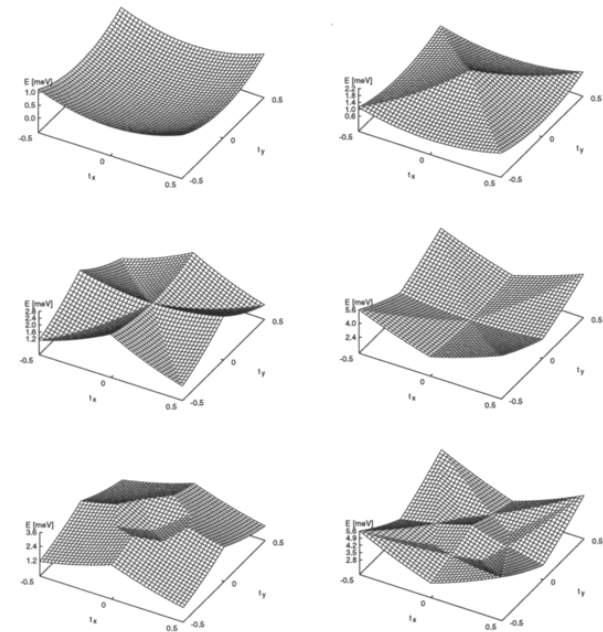
Í næstu greinum munum við leysa jöfnu (27) fyrir tvö tilvik. Annars vegar fyrir frjálsar rafeindir í umræddri grind og hins vegar fyrir rafeindir sem víxlverka við andpunkta í grindinni (sjá kafla 2).

4.1 Frjálsar rafeindir

Strangt til tekið þá hafa frjálsar rafeindir ekki orkubörða eins og lýst var í kafla 3. Þetta sést á því að víxlverkunarmættið er $U(\mathbf{r}) = 0$ fyrir frjálsar agnir



Mynd 9: Orkubörðar rafeinda í ferningsgrind andpunkta með mættishæð $U_0 = 0$ meV (A), 1 meV (B) og 5 meV (C). Börðarnir eru sýndir á samhverfu-ásam nykurgrindarinnar. Tvöfaldir börðar eru auðkenndir með “x 2”.



Mynd 7: Lægstu orkustig frjálsra rafeinda í ferningslaga grind. Orkustigin hafa verið flokkuð í sex “börða”.

þar sem fallið f er

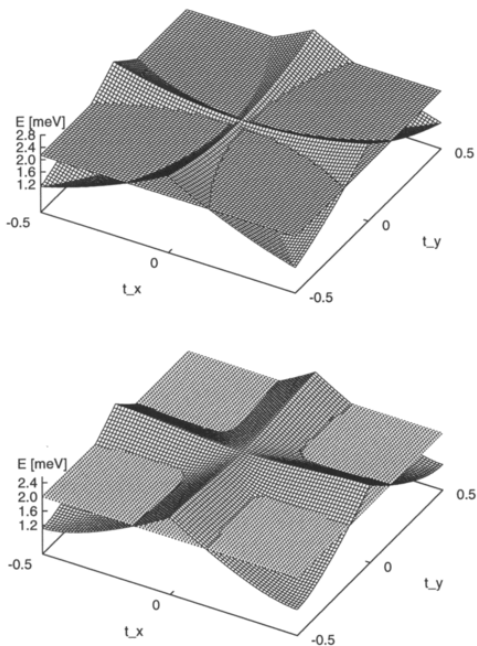
$$f(z) := 2e^{-i\frac{1}{2}z} \sin\left(\frac{1}{2}z\right) \left[\frac{2z^2 - (2\pi)^2}{z(z^2 - (2\pi)^2)} \right]. \quad (35)$$

Athugum nú að $\mathbf{K} = m_1\mathbf{b}_1 + m_2\mathbf{b}_2$ og

$$\mathbf{a}_i \cdot \mathbf{b}_j = 2\pi\delta_{ij}. \quad (36)$$

Jöfnu (34) má því rita

$$\hat{U}(\mathbf{K}(m_1, m_2)) = \frac{U_0}{4} f(2\pi m_1) f(2\pi m_2) \quad (37)$$



Mynd 16: Skurður Fermi-orku við 3. orkuborða. Efri myndin sýnir tvísvítt rafeindagas en sú neðri rafeindir í grind andpunkta. Hér er agnaþéttleikinn $n = 6 \times 10^{10} \text{ cm}^{-2}$ og andpunktarnir hafa mættishæð $U_0 = 5 \text{ meV}$ og $\alpha = 1$.

skera plönin. Síðarnefnda atriðið er afleiðing af breyttri borðabyggingu. Eins og sést á myndum 14 og 15 þá eru orkuborðarnir í þessum tveimur kerfum tölulvert ólíkir, t.d. liggur fyrsti orkuborðinn mun neðar í andpunktakerfinu en rafeindagasinu. Sá fjöldi setinna ástanda sem virðist í fljótu bragði á vanta til að rafeindapétteikinn sé hinn sami í kerfunum er því veginn upp af meiri sætni í neðri orkuborðum andpunktakerfisins.

Auðvelt er að sýna að þéttfni með hálfyllta orkuborða hefur ætíð málmkennda eiginleika (sjá [6]). Á myndum 16 og 18 kemur greinilega fram að 3. orkuborðinn er aðeins fylltur að hluta við rafeindapétteikann $n = 6 \times 10^{10} \text{ cm}^{-2}$ í andpunktagrindinni. Reyndar er svo við flestar aðstæður í kerfinu okkar; orkuborðar eru hálfylltir og kerfið því málmkennt.

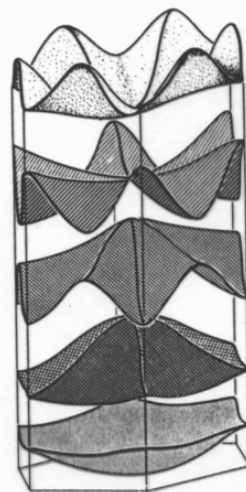


Fig. 2.17. The bands of Fig. 2.15b "smoothed" by the effect of a weak lattice potential.

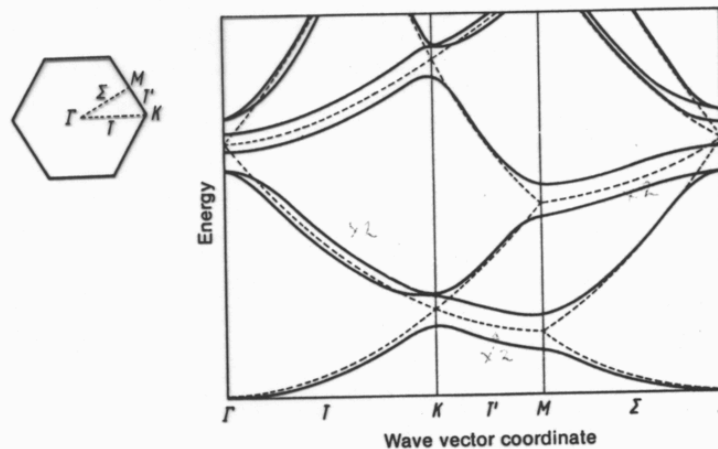
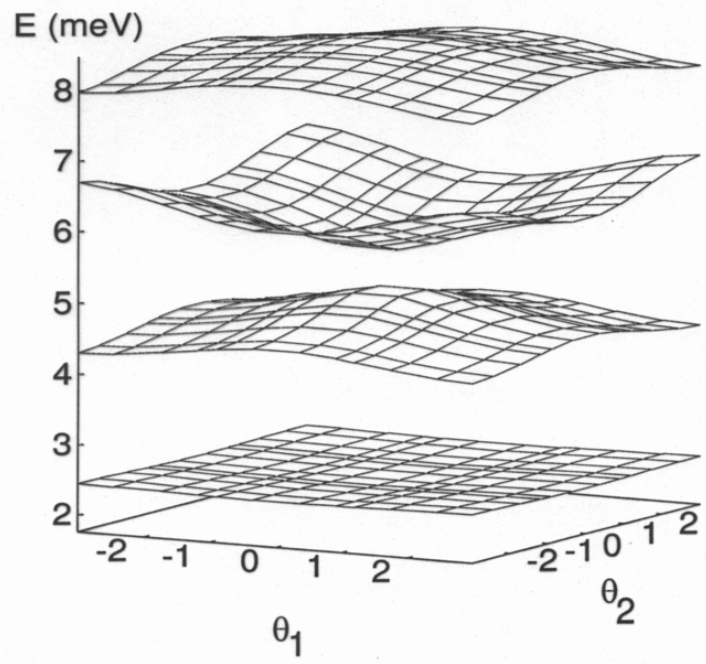
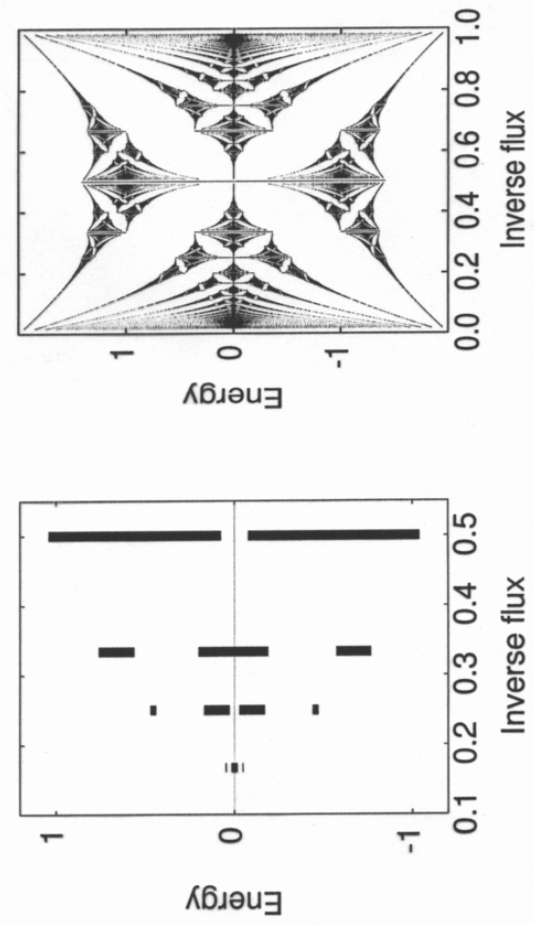


Fig. 2.18. The energy spectrum of Figs. 2.17 and 2.15b (dashed) along lines of symmetry in the Brillouin zone of the hexagonal lattice. Nomenclature of the lines of symmetry is explained at top left.

electrons were degenerate, that degeneracy has been removed by the periodic potential. At the same time the "kinks" in the bands are smoothed out and $E_n(\mathbf{k})$ thus becomes a smooth function there as well. Fig. 2.18 shows a section through the Brillouin zone of the previous illustration from the midpoint (Γ) to a corner of the hexagon (K), along one side to its midpoint (M), and back to Γ . The individual parabola segments are intersections of different paraboloids (centred on different K_m) in the repeated zone scheme.



Gudmundsson, Fig. 1



Gudmundsson, Fig. 9

Half sigld heyring rafenda i kristalli

(1)

Rafendir i Bloch bndum:

astnd: $|n, \bar{k}\rangle$ $\hbar\bar{k}$: kristallsstpp.

$\bar{k} \in$ frumrningu nyrgrndar
fjöldi tttmarkast med B.V-K

Orku bndur $\Sigma_n(\bar{k} + \bar{K}) = \Sigma_n(\bar{k})$

Hraði $\bar{v}_n(\bar{k}) = \frac{1}{\hbar} \nabla \Sigma_n(\bar{k})$

Bylgju fall $\Psi_{n\bar{k}}(\mathbf{r}) = e^{i\bar{k}\cdot\mathbf{r}} u_{n\bar{k}}(\mathbf{r})$
 $u_{n\bar{k}}(\mathbf{r} + \bar{K}) = u_{n\bar{k}}(\mathbf{r})$

övissu lögmál: vitjum geta hlgreint
Bylgju ngr á Brillouin
svæðinu

→ Bylgjupaki sem i B nær
yfir margar grndarlunngar

Element geti þá getid:

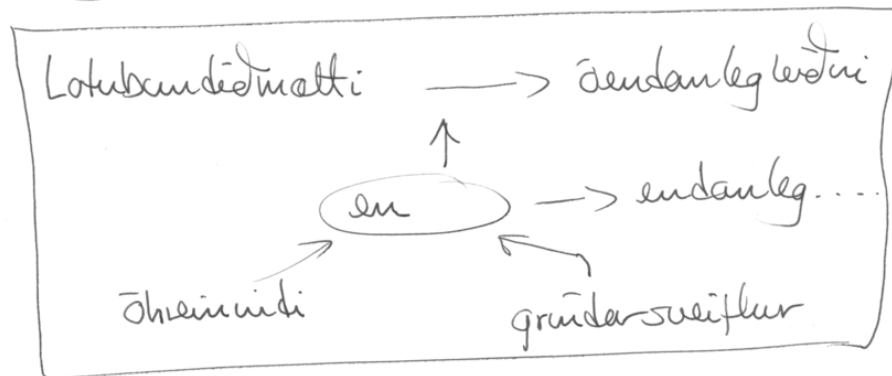
(2)

$$\dot{\mathbf{r}} = \frac{\hbar\bar{k}}{m}$$

$$\hbar\dot{\bar{k}} = -e\left(\bar{E} + \frac{1}{c} \bar{v} \times \bar{H}\right)$$

'Astnd $|n, \bar{k}\rangle$ hefur fastann hraða $\bar{v}_n(\bar{k})$

Engir árethar við jövir, en stek vxlverkun
möguleg. Kemur fram i $\Sigma_n(\bar{k})$



Litan

Allar upplýsingar fast hær $\Sigma_n(\bar{k})$
(sem er fyrir fram getid)

① Bórðavísir ástands n er heyltíng-fasti

② Hreyfijöfnum rafteinda í bórða n eru:

$$\dot{\mathbf{r}} = \mathbf{v}_n(\mathbf{k}) = \frac{1}{\hbar} \nabla_{\mathbf{k}} \epsilon_n(\mathbf{k})$$

$$\hbar \dot{\mathbf{k}} = -e \left\{ \mathbf{E}(\mathbf{r}, t) + \frac{1}{c} \mathbf{v}_n(\mathbf{k}) \times \mathbf{H}(\mathbf{r}, t) \right\}$$

③ Enginn munur er á ástandi

$$|\mathbf{r}, n, \mathbf{k}\rangle \text{ og } |\mathbf{r}, n, \mathbf{k} + \mathbf{k}'\rangle$$

öll mismunandi \mathbf{k} eru í einni og
nykturgründunum

Fæmíeúndir

$$2 \int (\epsilon_n(\mathbf{k})) \frac{d\mathbf{k}}{(2\pi)^3} = \frac{2 d\mathbf{k} / (2\pi)^3}{e^{(\epsilon_n(\mathbf{k}) - \mu) / k_B T} + 1}$$

④ fastur fjöldi rafteinda á bórða
tómir bórðar með $\Sigma_n(\mathbf{k}) \gg \Sigma_F$ skipta ekkri máli
munum sjá að bórðar með $\Sigma_n(\mathbf{k}) \ll \Sigma_F$,
fylltir bórðar skipta hekkur ekkri máli

→ Bórðar um Σ_F stjóra
leiddi eigin leit um

líkandi gætur ef

$$eEa \ll \frac{(\Sigma_{\text{gap}}(\mathbf{k}))^2}{\Sigma_F} \quad 0,1 \text{ eV}$$

$$\hbar \omega_c \ll \frac{(\Sigma_{\text{gap}}(\mathbf{k}))^2}{\Sigma_F}$$

engar örvarir á milli bórða

frekar sterk rafsvidnigulegt
en seqlsvið undir $1T$

Lög tíðni völgum $\hbar \omega \ll \Sigma_{\text{gap}}$

Löng bylgjuvölgum $\lambda \gg a$

fullir bórðar

(5)

$$\vec{j} = (-e)2 \int_C \frac{dE}{(2\pi)^3} \frac{1}{\hbar} \vec{\nabla}_k \Sigma_u(\vec{k}) \quad \text{rafstraumsþétt.}$$

$$\vec{j}_\Sigma = 2 \int_C \frac{dE}{(2\pi)^3} \Sigma_u(\vec{k}) \frac{1}{\hbar} \vec{\nabla}_k \Sigma_u(\vec{k}) = \int_C \frac{dE}{(2\pi)^3} \frac{1}{\hbar} \vec{\nabla}_k (\Sigma_u(\vec{k}))^2$$

↑ orkustraumsþéttleiki

C: frumgründarséining í nýttan grúnd.

$\Sigma_u(\vec{k})$ lotubandið fall vegna þess að bórðum er fylltur

lotubandið fall á C: $f(\vec{k})$ App I

$$I(\vec{k}') = \int_C d\vec{k} f(\vec{k} + \vec{k}')$$

er óháð \vec{k}'

$$\begin{aligned} \rightarrow 0 &= \vec{\nabla}' I(\vec{k}') = \int_C d\vec{k} \vec{\nabla}' f(\vec{k} + \vec{k}') \\ &= \int_C d\vec{k} \vec{\nabla} f(\vec{k} + \vec{k}') \end{aligned}$$

(6)

$$\vec{\nabla}' I(\vec{k}') \Big|_{\vec{k}'=0} = \int_C d\vec{k} \vec{\nabla} f(\vec{k}) = 0$$

→ $\vec{j} = 0$ og $\vec{j}_\Sigma = 0$ fyrir fullam bórða

leiðni er óeins vegna rafleidda í bórða sem er að hluta setum

Spurni: Hver bórði hefur N·2 ástönd þ.s. N er fjöldi grúndarséininga (B.vtk)

allir bórðar kúttall geta verið fullir eða tónir → fjöldi rafleidda á grúndarséin. er jöfnu tala

Ófengt þort ekki að vera rétt

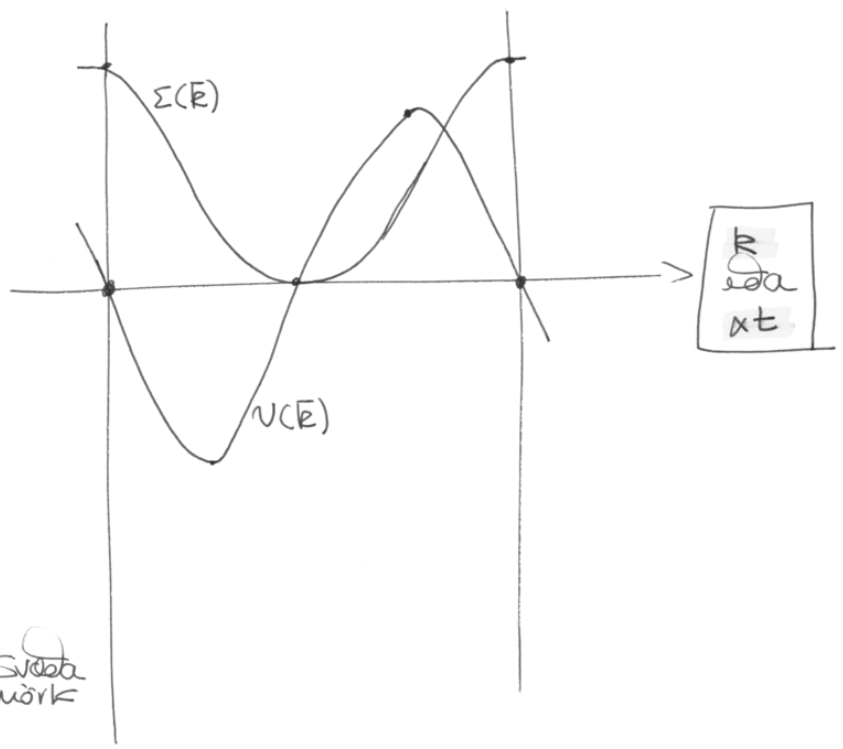


DC-svid

(7)

$$\bar{E}(t) = \bar{E}(0) - \frac{e\bar{E}t}{\hbar}$$

$$\bar{U}(\bar{E}(t)) = \bar{U}\left(\bar{E}(0) - \frac{e\bar{E}t}{\hbar}\right)$$



Svæða
vörk

Σ(E) lotubandið

Bragg speglun við Bragg stætur
kröftum getur verið andstöð krafti

↑ allt áhrið grundað

Hdur

(8)

①
$$\bar{J} = (-e)2 \int_{\text{setin}} \frac{d\bar{E}}{(2\pi)^3} \bar{U}(\bar{E}) \quad (*)$$

$$0 = 2 \int_{\text{svæði}} \frac{d\bar{E}}{(2\pi)^3} \bar{U}(\bar{E}) = 2 \int_{\text{setin}} \frac{d\bar{E}}{(2\pi)^3} \bar{U}(\bar{E}) + 2 \int_{\text{ösetin}} \frac{d\bar{E}}{(2\pi)^3} \bar{U}(\bar{E})$$

þú má endurrita (*) sem

$$\bar{J} = (+e)2 \int_{\text{ösetin}} \frac{d\bar{E}}{(2\pi)^3} \bar{U}(\bar{E})$$

Strömmur vegna vissra setinna rafræna ástanda er jafn strömi sem fengist ~~þá~~ með þú og

tömu setinu áföndin
þetta tömu áföndin með einum
með +e hleðslu

eins mögulegt vegna
borða myndun

↑
hdur

Í bórða verður annæðhvort og íotast
mið raferndir eda hokur (9)

Sex hálfsigildar hreyfi jöpunir $\bar{r} = \dots$,
 $\bar{t} \bar{k} = \dots$ (1)

fyrsta stigs jöpunir, nákvæmlega
uppfylla orsatar afleiðinga lögmál

Heimstímunir ogna hafa ekki samliqunlega
punktta

Í fasa rúminum eru ~~ástönd~~ setin og
og ósetin ástánda ~~á~~ ágreind

→ ástönd þröast óháð þú hvort þau
eru setin eda ekki
hokur og raferndir

(3) svörun rafernda við yfi áreitun uogir
gáðu líta
þu = hokur

Ósetin ástönd eru í jafnvægi (og uerri
jafnvægi) í efri hluta bórða

$$\rightarrow \Sigma(\bar{E}) \simeq \Sigma(\bar{E}_0) - A(\bar{E} - \bar{E}_0)^2, A > 0$$

háglíði ↑

líkulega hokur
verður og hokur

Verja er að stölgna

$$\frac{\hbar^2}{2m^*} = A \quad \underline{m^* > 0}$$

$$\rightarrow \bar{V}(\bar{k}) = \frac{1}{\hbar} \bar{\nabla} \Sigma(\bar{k}) \approx - \frac{\hbar(\bar{k} - \bar{k}_0)}{m^*}$$

$$\rightarrow \bar{a} = d_t \bar{V}(\bar{k}) = - \frac{\hbar}{m^*} \dot{\bar{k}} \quad \hbar \dot{\bar{k}} \sim \dot{\bar{p}} = F$$

\bar{a} er gagnstæð $\dot{\bar{k}}$ ← samhljóðskrafti
hröðun

Þó er þú eins og referendur hafi neikvæðan massa $-m^*$ nærri \bar{k}_0

er atvagnur fetta með heftijöfrunni

$$\hbar \dot{\bar{k}} = (-e)(\bar{E} + \frac{1}{c} \bar{v} \times \bar{H}) = -m^* \bar{a}$$

Jöfnuna má skrifa sem

$$m^* \bar{a} = (+e)(\bar{E} + \frac{1}{c} \bar{v} \times \bar{H})$$

Jákvætt hlöðin sind svarar \bar{a} heftubundin hátt

Svörum hoku er eins og svörum referenda sem veri í föma ástandum

↳ hoker hoga sér eins og einðin með jákvæðan massa og hlöðslu

hvort heppilegt sé að notu hoku eða referenda hugtakið tengist þú hvort hornid milli $\dot{\bar{k}}$ og \bar{a} er á þú svæði sem stöðað er (hluti af þöndu)

$$\dot{\bar{k}} \cdot \bar{a} = \dot{\bar{k}} \cdot d_t \bar{V} = \dot{\bar{k}} \cdot d_t \frac{1}{\hbar} \bar{\nabla} \Sigma(\bar{k})$$

~~$\dot{\bar{k}}$~~

$$= \frac{1}{\hbar} \sum_i \dot{k}_i d_t \left(\frac{\partial \Sigma}{\partial k_i} \right) = \frac{1}{\hbar} \sum_i \dot{k}_i \left(\sum_j \frac{\partial^2 \Sigma}{\partial k_i \partial k_j} \frac{\partial k_j}{\partial t} \right)$$

$$= \frac{1}{\hbar} \sum_{ij} \dot{k}_i \frac{\partial^2 \Sigma}{\partial k_i \partial k_j} \dot{k}_j < 0$$

(4)

ef komið milli $\dot{\vec{k}}$ og \vec{a} er stórna en $\frac{\pi}{2}$
nami hágráði \vec{a} $\Sigma(\vec{k})$ gæðir að

$$\sum_{ij} A_i \frac{\partial^2 \Sigma}{\partial k_i \partial k_j} A_j < 0 \quad \forall \vec{A}$$

$\rightarrow \dot{\vec{k}} \cdot \vec{a} < 0$ nami hágráði \vec{a} $\Sigma(\vec{k})$

Verja að stölgreina

$$[M^{-1}(\vec{k})]_{ij} = \pm \frac{1}{\hbar^2} \frac{\partial^2 \Sigma(\vec{k})}{\partial k_i \partial k_j}$$

Lággildi
hágráði

$$\dot{\vec{k}} \cdot \vec{a} = \frac{1}{\hbar} \sum_{ij} \dot{k}_i \frac{\partial^2 \Sigma}{\partial k_i \partial k_j} \dot{k}_j = \sum_i \dot{k}_i a_i$$

$$\rightarrow a_i = \frac{1}{\hbar^2} \sum_j \frac{\partial^2 \Sigma}{\partial k_i \partial k_j} \hbar \dot{k}_j$$

$$\rightarrow \vec{a} = \pm M^{-1}(\vec{k}) \hbar \dot{\vec{k}}$$

Lággildi
hágráði

(5)

Viki massa þínurinn er stölgreindur
til að hreyfingunni lítið jöfnunum
þynir frjálsum eindir og áhrif grunda
felast öllu $M^{-1}(\vec{k})$

Fast segulsvid

$$\vec{E} = 0, \vec{H} \neq 0$$

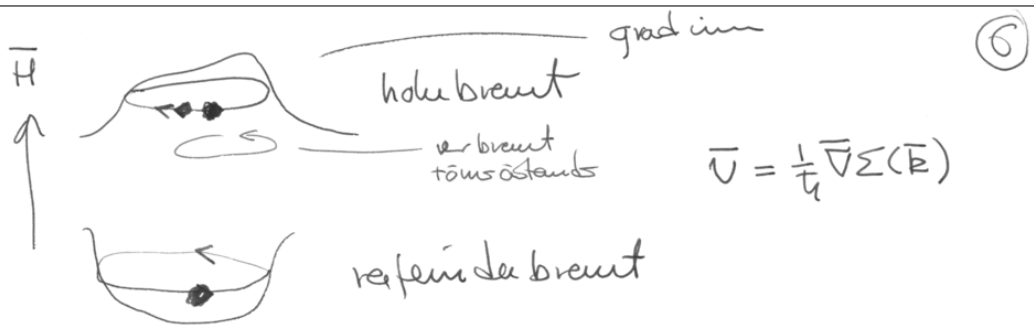
$$\dot{\vec{r}} = \vec{v}(\vec{k}) = \frac{1}{\hbar} \nabla \Sigma(\vec{k})$$

$$\hbar \dot{\vec{k}} = (-e) \frac{1}{c} \vec{v}(\vec{k}) \times \vec{H}$$

Þáttur \vec{k} samhlíða \vec{H} er hreyfingartasti
 $\Sigma(\vec{k})$ er hreyfingartasti, þú krefst
er alltaf komuettur \vec{a} \vec{v}

Brant eindar í k -rúminu er ákveðin af
skurðferli slöttur \perp \vec{a} \vec{H} og jafnorku
fleti $\Sigma(\vec{k}) = \text{fasti}$

Stefnan ákveðin af hægri handa reglu



6

Rafeind \nwarrow grad út (ath í bók)

\searrow föllum um hvern í efa dæminni

í stöðvænni

$$\begin{aligned} \hat{H} \times \hbar \dot{\vec{K}} &= (-e) \frac{\hbar}{c} \hat{H} \times (\vec{V}(\vec{K}) \times \vec{H}) \\ &= - \frac{e\hbar}{c} \hat{H} \times (\vec{V}(\vec{K}) \times \hat{H}) \\ &= - \frac{e\hbar}{c} \left\{ \vec{V}(\hat{H} \cdot \hat{H}) - \hat{H}(\hat{H} \cdot \vec{V}) \right\} \\ &= - \frac{e\hbar}{c} \left\{ \dot{\vec{r}} - \hat{H}(\hat{H} \cdot \dot{\vec{r}}) \right\} = - \frac{e\hbar}{c} \dot{\vec{r}}_{\perp} \end{aligned}$$

heitdast sem

$$\vec{r}_{\perp}(t) - \vec{r}_{\perp}(0) = - \frac{\hbar c}{e\hbar} \hat{H} \times (\vec{K}(t) - \vec{K}(0))$$

\uparrow l^2 : segul lengd

7

\vec{K} liggur í slettunni \perp á \vec{H}

\rightarrow \vec{r} -braut liggur í sömu slettunni en snúin um $\pi/2$

Brautir þurfa ekki að vera loftsláðar þetta er jafn orku flutur

lesa fremur heldur lauslega

Yfirborðshrif

(1)

Lausleg yfirferð hér, Lesa sjálf.

Mikilvogi..... Ekki farid í hér.

Mættid frá Wigner-Seitz grúndareiningu

$$U(r) = -e \int_C d\vec{r}' \frac{\rho(r')}{|\vec{r} - \vec{r}'|}$$

fellur eins og r^{-5} ef einingun er öhláðin, grúndin hefur punkt samhverfu og teuingu samhverfu

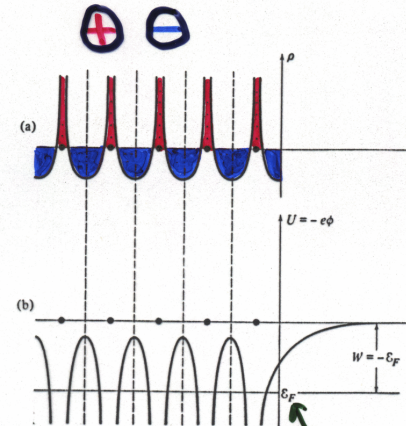
Mættid deyr mjög hratt út
Oft uogir virkverkun við næstu granna.

Ef þessir eiginleikar bendanlegs krístalls gilda einnig í endarylegum krístalli þá geti máttid við yfirborð litid út á eftirfarandi hátt:

Engin endurröðun við yfirborðið, engin söfnun hleðslu.

(2)

Hleðsluhreitt:



Mætti:

Fermi orka
Efnamætti μ
Næstum sama
ef $T_F \gg T$

Minnsta orka sem þarf til að fjórlogja eina rafseind veri

$$W = 0 - \epsilon_F = -\epsilon_F \geq 0$$

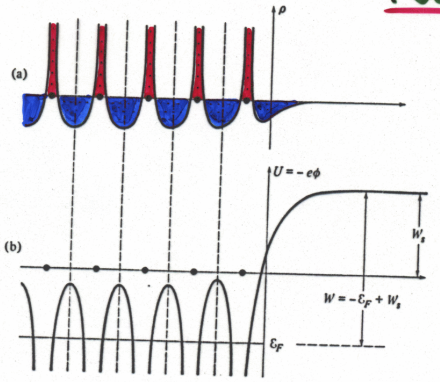
Vinnufall lokaástand upphafsástand

E_n

Grindin breytist við yfirbordið, fjarlægðir breytast, endurröðun atóma. Hleðsluheiting breytist.

3

Einfalt líkan → túlka sem yfirbörðslag tvískauta



ekki bara tvískudalag

↓
yfirbörðslag → rafsvið \bar{E} , viðbótarorka sem part

$$W_s = e \int d\bar{l} \cdot \bar{E}$$

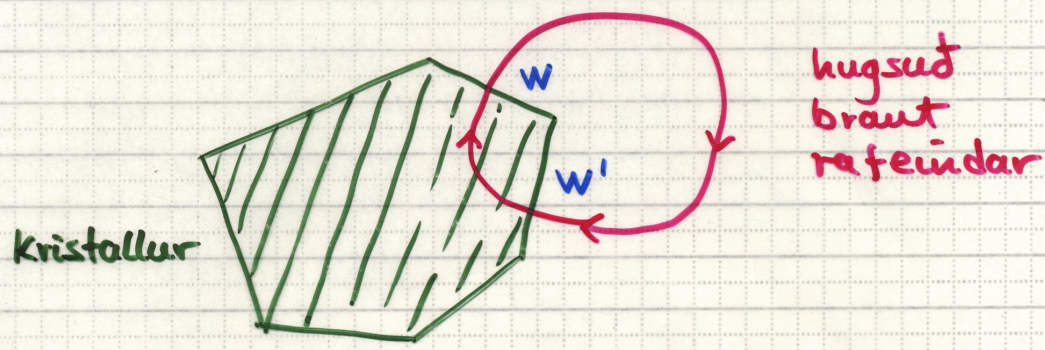
Vinnufallið verður Lokaástand
upphafsást.

$$W = W_s - \Sigma_F$$

Spennunur yfirbörða sama kristalls

Endurröðun, eða hleðsluheiting getur verið mismunandi fyrir mism. yfirbörð

4



Mismunandi yfirbörð → mism. vinnuföll

Geyminn kraftur → vinnan fyrir hringinn = 0

en $W \neq W'$ → yfirbörðin verða að vera undir mismunandi spennu

$$-e(\phi - \phi') = W - W'$$

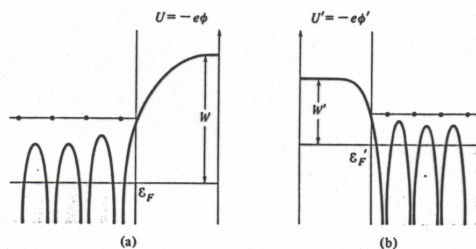
Vinnufall er skilgreint sem lágsta orka sem part til að fjarlægja rafteind



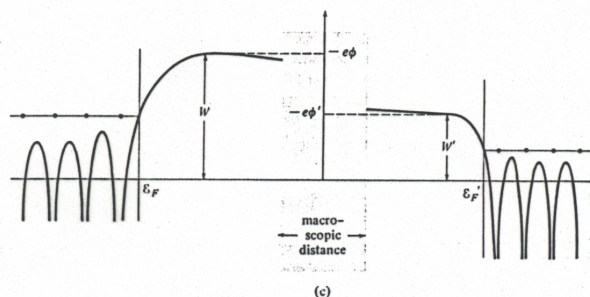
Leidir til snertispennu

Suertispenna

5



engin
suerting



Suerting

Suerting í lafuvogi → $\mu = \mu'$

↑ nóst með forsku í rafenda á milli hluta



ekki lengur öhládnir → yfir borðshleðsla



Suertispenna

6

Lesi afgang kaflans lauslega sjálf

Table 18.1
WORK FUNCTIONS OF TYPICAL METALS

METAL	W (eV)	METAL	W (eV)	METAL	W (eV)
Li	2.38	Ca	2.80	In	3.8
Na	2.35	Sr	2.35	Ga	3.96
K	2.22	Ba	2.49	Tl	3.7
Rb	2.16	Nb	3.99	Sn	4.38
Cs	1.81	Fe	4.31	Pb	4.0
Cu	4.4	Mn	3.83	Bi	4.4
Ag	4.3	Zn	4.24	Sb	4.08
Au	4.3	Cd	4.1	W	4.5
Be	3.92	Hg	4.52		
Mg	3.64	Al	4.25		

Source: V. S. Fomenko, *Handbook of Thermionic Properties*, G. V. Samsanov, ed., Plenum Press Data Division, New York, 1966. (Values given are the author's distillation of many different experimental determinations.)

Flokkun kristallaðs efvis

(7)

lesa að mestu sjálf

Algerlega lotubundinn kristallur T=0

tómir borðar
fylltir borðar

Einangrarar

tómir borðar
borðar, að hluta tómir
fylltir borðar

málmar

T ≠ 0, orkugeil
ekki breið

veitur

hálfléiðar

flokkun samkvamt ástandarúmi
(bylgjuvígra)

í stöðarrúminu er flokkun ekki
eins einföld,
en skörum bylgufalla segir sögu

Einangrarar

(8)

Samgildur kristallur (Covalent)

Bylgju föll þurfa ekki að vera stöðbundin
við jónir

allir borðar fullir eða tómir

Poteinda hleðsla milli jóna venjul.
ekki einsleit ↔ efna tengi

Demantur $E_g = 5.5 \text{ eV}$

Sameinda kristallur

þéttbundnar rófeindir

veikir krættar
tvístaft-tvístaft
spanað tvístaft

Ne, Ar, Kr, Xe, H₂, N₂ ...

-r-6
+r-12

Jóna kristallur

þéttbundnar rófeindir, en oft ólíkt
upphaflegum atómum

Rófeindi sofa í kringum vissar jónir

NaCl

sterkir krættar

Kristallur m. vetnistengjum

Hölmur

fratar jöfn dæifing næstum frjalsra rafseinda

Næstum frjalsar rafseindir oft

víxlverkun milli rafseinda (fermíseinda) dopnar með vaxandi þéttleita rafseinda

$$n_s \sim 1/r_s^3 \quad n_s \uparrow \quad r_s \downarrow$$

$$E_{kin} \sim \frac{1}{r_s^2} \quad \text{fermíseindir}$$

$$E_{pot} \sim \frac{1}{r_s}$$

$$\rightarrow E_{kin} > E_{pot}$$

9

Jellium Model of Metallic Nanocoheision

C. A. Stafford,^{1,*} D. Baeriswyl,¹ and J. Bürki^{1,2}

¹Institut de Physique Théorique, Université de Fribourg, CH-1700 Fribourg, Switzerland

²Institut Romand de Recherche Numérique en Physique des Matériaux, CH-1015 Lausanne, Switzerland (Received 17 March 1997)

A unified treatment of the cohesive and conducting properties of metallic nanostructures in terms of the electronic scattering matrix is developed. A simple picture of metallic nanocoheision in which conduction channels act as delocalized chemical bonds is derived in the jellium approximation. Universal force oscillations of order e_F/λ_F are predicted when a metallic quantum wire is stretched to the breaking point, which are synchronized with quantized jumps in the conductance. [S0031-9007(97)04243-9]

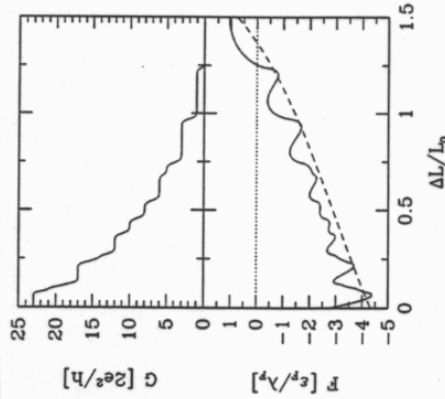


FIG. 2. Electrical conductance G and tensile force F of a cosine constriction in a cylindrical quantum wire of radius $k_F R = 11$ versus the elongation $\Delta L/L_0$. For the calculation of G , an initial length $k_F L_0 = 50$ was assumed. The dashed line indicates the contribution to the force due to the macroscopic surface tension $F_S = -\sigma \partial S / \partial L$, where S is the surface area of the system and $\sigma = \epsilon_0 k_F^2 / 16\pi$. F_c determines the overall

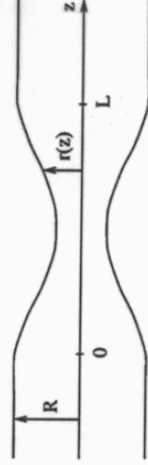


FIG. 1. Schematic diagram of a constriction in a cylindrical quantum wire. Electrons are confined along the z axis by a hard-wall potential at $r = r(z)$. Two different geometries are considered: $r(z) = (R + R_{\min})/2 + (R - R_{\min}) \cos(2\pi z/L)/2$ (cosine constriction) and $r(z) = R_{\min} + (R - R_{\min})(2z/L - 1)^2$ (parabolic constriction), with $r(z) = R_{\min}$ for $z < 0$ and $z > L$. The minimum radius of the neck R_{\min} as a function of the elongation $\Delta L/L_0$ is determined by a constant volume constraint $\int_0^L r(z)^2 dz = R^2 L_0$.

Samloðun

①

Mikilvægi $\left\{ \begin{array}{l} \rightarrow \text{sögulegt} \\ \rightarrow \text{upphaf bóðarvæðna.} \end{array} \right.$
 \rightarrow Orkuskipt væðna (mikilvægi iðótar)

SameindaKristallar (atómKristallar) Ne, Ar, Kr, Xe

veikt mætti milli atóma (sameinda)

lítil breyting á rafseindaádræifingu



Víxlvertun \leftrightarrow spennæð tviðstant

áðdrættarkraftur $\sim -r^{-6}$ \leftarrow tviðflamavæðna.

fræðkinging, Pauli... $\sim +r^{-12}$ \leftarrow

Stíðlum mættis

(engin ástæða fyrir einföldum líð)

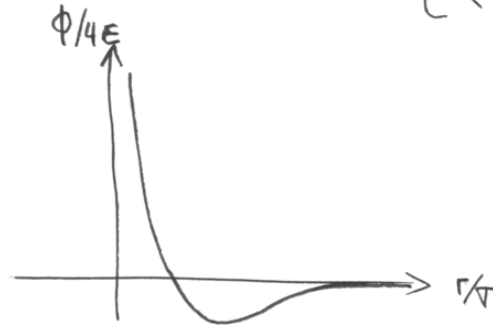
Lennard-Jones 6-12 mætti

②

$$\phi(r) = 4\epsilon \left\{ \left(\frac{\sigma}{r} \right)^{12} - \left(\frac{\sigma}{r} \right)^6 \right\} \quad \sigma = \left(\frac{B}{A} \right)^{1/6}$$

$$\epsilon = \frac{A^2}{4B}$$

\uparrow
mættunar stíðlar



mjög veðir Kræftur fyrir seðalgösin $\epsilon \sim 1 \text{ meV}$

Heiðarorka Kristalls

Stöðuorka eins atóms í meðu
hvitakerkis

$$\sum_{R \neq 0} \phi(\vec{R})$$

$R \neq 0$

\leftarrow engin sjálfsviðv.

(3)

margfaldad með N getur tvisvar
heildar orku kristalls. (hvert par atöma
tú talað) \rightarrow

• heildarorka \bar{a} atóm

$$U = \frac{1}{2} \sum_{\bar{R} \neq 0} \phi(\bar{R})$$

Setjum $\bar{R} = \alpha(\bar{R})r$
 \uparrow \uparrow fjarlegd ustu granna
 viddarlaus tala

$$\rightarrow U = 4E \left\{ \frac{1}{2} \sum_{\bar{R} \neq 0} \frac{1}{\alpha(\bar{R})^{12}} \left(\frac{r}{r}\right)^{12} - \frac{1}{2} \sum_{\bar{R} \neq 0} \frac{1}{\alpha(\bar{R})^6} \left(\frac{r}{r}\right)^6 \right\}$$

$$= 2E \left\{ A_{12} \left(\frac{r}{r}\right)^{12} - A_6 \left(\frac{r}{r}\right)^6 \right\}$$

með

$$A_n = \sum_{\bar{R} \neq 0} \alpha(\bar{R})^{-n}$$

(4)

Tafla 20.2 getur A_n fyrir

SC, BCC og FCC

og ~~...~~ $n \geq 4$

AL klassískir reikn., engin núllpunktsorka
 \rightarrow geti lýst þungum atómum
 (engin önnur heftig atöma)

Jafnvogisþéttleiki

r má finna frá $\frac{\partial U}{\partial r} = 0$

$$\frac{\partial U}{\partial r} = 2E \left\{ A_{12} \nabla^{12} \left(\frac{r}{r}\right)^{12} - A_6 \nabla^6 \left(\frac{r}{r}\right)^6 \right\} = 0$$

$$\rightarrow A_{12} 2 \left(\frac{r}{r}\right)^6 - A_6 = 0$$

$$\rightarrow r_0 = \left(\frac{2A_{12}}{A_6}\right)^{1/6} r = 1,09 r$$

Passar vel við mæld gildi r þung. atóm

(5)

$$U_0 = U(r_0) = 2E \left\{ A_{12} \left(\frac{A_6}{2A_{12}} \right)^2 - A_6 \left(\frac{A_6}{2A_{12}} \right) \right\}$$

$$= 2E \left\{ \frac{A_6^2}{4A_{12}} - \frac{A_6^2}{2A_{12}} \right\} = -\frac{EA_6^2}{2A_{12}}$$

$$= -8,6 E$$

Passar vel við mælinga

Nú er einnig hægt að reikna

fjæðurstaðul $B = -V \left(\frac{\partial P}{\partial V} \right)_T$

pú $B = v \frac{\partial}{\partial v} \left(\frac{\partial u}{\partial v} \right), v = \frac{V}{N}$

Passar vel f. Xe og Kr en
illa fyrir lötteri & þinn

↳ vantaþega nillpunktsta

(6)

Jónakristallar

Stærk Coulomb viðvæntun

↳ helstu kristalla ortar á jóna par.

$$U(r) = U_{\text{coul}}(r) + U_{\text{core}}(r)$$

↑ frækning

Jóna par:

$$\left\{ \begin{array}{l} \text{neikvæð anjón } \bar{R} \in \mathcal{B} \\ \text{og jákvæð katjón hlíðrúð } \bar{d} \text{ frá } \bar{R} \end{array} \right. \quad \frac{q}{2}$$

t.d. fcc Bravais grúnd fyrir NaCl

$$r = \frac{a}{2} \quad (=|\bar{d}|) \quad \text{harlegd næstu granna}$$

$$|\bar{R}| = \alpha(\bar{R}) r$$

$$|\bar{R} + \bar{d}| = \alpha(\bar{R} + \bar{d}) r$$

Stærsti hlutinn kemur frá U_{coul}

heltarotta einnar jönar (katjónar)

$$- \frac{e^2}{r} \left\{ \frac{1}{\alpha(d)} + \sum_{R \neq 0} \left(\frac{1}{\alpha(R+d)} - \frac{1}{\alpha(R)} \right) \right\}$$

og þú eins og áður

$$U_{\text{coul}}(r) = - \frac{e^2}{r} \left\{ \frac{1}{\alpha(d)} + \sum_{R \neq 0} \left(\frac{1}{\alpha(R+d)} - \frac{1}{\alpha(R)} \right) \right\}$$

↑
Stærðfræðilega ekki vel stökgeind röð
Umstöðum → kvæða svar sem e!

hver e stöðfræðilega merkingu?

Er hún til?

Summa röð ↔ mism. yfirbörð

↓
mism. yfirbörðshleðsla

↑
Störse fyrir $N \rightarrow \infty$

Maðar leiðir út

Summa öhtæðna eininga sem
virkvæða veikt + ...

Fasti Maðlungs

$$U_{\text{coul}}(r) = - \alpha \frac{e^2}{r}$$

Niðurstöða reiknings fyrir ~~þetta~~
hulda virkvetana ortuna á jóna par

CeCl $\alpha = 1,7627$

NaCl $\alpha = 1,7476$...

Stöðuleiti kristallsins fast með

U_{core}

↳ stökum oft notuð

$$U(r) = - \frac{\alpha e^2}{r} + \frac{C}{r^m}$$



Sangildir Kristallar

- Mitil breyting á rafleiddaheitingu
 - ↳ engin einföld algild litön
 - ↳ Börðareitir.

Málma meðrostum frjálssar rafleiddi

Hér skiptir rafleidda gasid mestu
(Stærk styling á jóna málmi)

Sigild hreyfing Kristalls

Afhverju?

tilraunamæturstöðun

forvarpi

- Edlisvarmi, litill hluti er vegna rafleidda kerfis
- þéttni, samloðun vantar nýllpunktis heyf.
- hitapensla
- Bráðunum

Flutnings ség úr líkum

- raf leiddi
- hitaleiddi
- ofur leiddi BCS

Víxlvæðun við geistun

röngtan
⋮

2

- ① Jafnvægis staðsetu jóna er \bar{R}
 Meðalgildi staðsetu er \bar{R}

- ② Sveifla jóna er lítil m.v. a

lysir ekki bráðum, sveimi.....

Hreintóna nálgun (Harmonic)

Til einnir nálgunir línu líta sem skýrest með henni nálgun (anharmonic)

- ② Er ekki rétt lýsing á He-kristalli

"skammta störf"

nálp. útslag er að sömu stöðum gráðu eins og a

3

Staðsetu. jónar

$$F(\bar{R}) = \bar{R} + U(\bar{R})$$

Jafnvægis p.
meðalgildi

hreyfing m.v. \bar{R}

- Heildarorka kristalls (sigild ef hreyfing er sleppt)

$$U = \frac{1}{2} \sum_{\bar{R} \bar{R}'} \phi(\bar{R} - \bar{R}') = \frac{N}{2} \sum_{\bar{R} \neq 0} \phi(\bar{R})$$

fordast
tú tala.

summa alla parvirklu.

En til lít þarf að tala til hreyfinga

$$U = \frac{1}{2} \sum_{\bar{R} \bar{R}'} \phi(F(\bar{R}) - F(\bar{R}'))$$

málið er háð breytinum $\bar{u}(\bar{R})$

(4)

þarfum að sköðu eiginleika kerfis
sem lýst er með

$$H = \sum_{\vec{R}} \frac{\bar{P}(\vec{R})^2}{2M} + U$$

Heimföna nálgun

Mattid ϕ er oft mjög flökid

→ nálgun, lítil útslag

↳ notum Taylor línum

$$f(\vec{r} + \vec{a}) = f(\vec{r}) + \vec{a} \cdot \vec{\nabla} f(\vec{r}) + \frac{1}{2} (\vec{a} \cdot \vec{\nabla})^2 f(\vec{r}) + \dots$$

notum þetta fyrir U þ.a.

$$U = \frac{N}{2} \sum \phi(\vec{R}) + \frac{1}{2} \sum_{\vec{R}\vec{R}'} (\bar{u}(\vec{R}) - \bar{u}(\vec{R}')) \cdot \vec{\nabla} \phi(\vec{R} - \vec{R}')$$

$$+ \frac{1}{4} \sum_{\vec{R}\vec{R}'} \left\{ (\bar{u}(\vec{R}) - \bar{u}(\vec{R}')) \cdot \vec{\nabla} \right\}^2 \phi(\vec{R} - \vec{R}') + \dots$$

(5)

Línuleg línum

$$\frac{1}{2} \sum_{\vec{R}\vec{R}'} \{ \bar{u}(\vec{R}) - \bar{u}(\vec{R}') \} \cdot \vec{\nabla} \phi(\vec{R} - \vec{R}')$$

$$= \frac{1}{2} \sum_{\vec{R}} \bar{u}(\vec{R}) \underbrace{\sum_{\vec{R}'} \vec{\nabla} \phi(\vec{R} - \vec{R}')} + \frac{1}{2} \sum_{\vec{R}'} \bar{u}(\vec{R}') \underbrace{\sum_{\vec{R}} \vec{\nabla} \phi(\vec{R} - \vec{R}')}_{\vec{R}}$$

→ summa allra kerfa
- F sem verkar á \vec{R} eða \vec{R}'

\vec{R} og \vec{R}' eru jafnvægis stöður → $F = 0$

Eftir standa

$$\rightarrow U^{eq} = \frac{N}{2} \sum \phi(\vec{R}) \quad \text{fasti}$$

sem oft má sleppa

(ekki þ. heitdar eða stæptir
máli, þéttleika, samlöðu...)

og

$$U^{\text{harm}} = \frac{1}{4} \sum_{\substack{\bar{R}, \bar{R}' \\ \mu, \nu = x, y, z}} \{u_\mu(\bar{R}) - u_\mu(\bar{R}')\} \phi_{\mu\nu}(\bar{R} - \bar{R}') \{u_\nu(\bar{R}) - u_\nu(\bar{R}')\}$$

med $\phi_{\mu\nu}(F) = \frac{\partial^2 \phi(F)}{\partial r_\mu \partial r_\nu}$

Allmennara formler

$$U^{\text{harm}} = \frac{1}{2} \sum_{\substack{\bar{R}, \bar{R}' \\ \mu, \nu}} u_\mu(\bar{R}) D_{\mu\nu}(\bar{R} - \bar{R}') u_\nu(\bar{R}')$$

og i okkar sér tilfalli er

$$D_{\mu\nu}(\bar{R} - \bar{R}') = \delta_{\bar{R}, \bar{R}'} \sum_{\bar{R}''} \phi_{\mu\nu}(\bar{R} - \bar{R}'') - \phi_{\mu\nu}(\bar{R} - \bar{R}')$$

athugum með innsetningu

$$U^{\text{harm}} = \frac{1}{2} \sum_{\substack{\bar{R}, \bar{R}' \\ \mu, \nu}} u_\mu(\bar{R}) \delta_{\bar{R}, \bar{R}'} \sum_{\bar{R}''} \phi_{\mu\nu}(\bar{R} - \bar{R}'') u_\nu(\bar{R}')$$

$$- \frac{1}{2} \sum_{\substack{\bar{R}, \bar{R}' \\ \mu, \nu}} u_\mu(\bar{R}) \phi_{\mu\nu}(\bar{R} - \bar{R}') u_\nu(\bar{R}')$$

$$= \frac{1}{2} \sum_{\substack{\bar{R}, \bar{R}' \\ \mu, \nu}} u_\mu(\bar{R}) \phi_{\mu\nu}(\bar{R} - \bar{R}') u_\nu(\bar{R}')$$

rot skiptir ekki máli

$$- \frac{1}{2} \sum_{\substack{\bar{R}, \bar{R}' \\ \mu, \nu}} u_\mu(\bar{R}') \phi_{\mu\nu}(\bar{R}' - \bar{R}) u_\nu(\bar{R})$$

$$= \frac{1}{4} \sum_{\bar{R}, \bar{R}'} \{u_\mu(\bar{R}) - u_\mu(\bar{R}')\} \phi_{\mu\nu}(\bar{R} - \bar{R}') \{u_\nu(\bar{R}) - u_\nu(\bar{R}')\}$$

þú kross úfir geta

$$\sum_{\bar{R}'} \phi_{\mu\nu}(\bar{R} - \bar{R}') = \frac{\partial^2}{\partial r_\mu \partial r_\nu} \sum_{\bar{R}'} \phi(\bar{R} - \bar{R}') = 0$$

(2)

Jóna-jóna víxlverkunin er ekki
almennt ekki summa parvíxlverkana

rafteinda hreyfingun tengist inn

○ Tveir mismunandi tímastuðlar

$$\tau_{\text{rat}} \ll \tau_{\text{jón}}$$

p.a. líta má svo á að á hverja
augnabliki í hreyfingu jónar sé
rafteindateyfið strax búið að finna
jafnvægisstöðu

Síðan koma leiðréttingarleiðir

adiabætísk nálgun
nálgun sínaþróðs kerfis

(1)

Siguldur Kristallur

Siguld samþæðisfræði: þéttleiki varmaorku

$$u = -\frac{1}{V} \frac{\partial}{\partial \beta} \ln \int d\Gamma e^{-\beta H}$$

með $\beta = \frac{1}{k_B T}$ og $d\Gamma = \prod_{\vec{r}} d\vec{u}(\vec{r}) d\vec{p}(\vec{r})$
↑
fasarúms eining.

β má skala út úr heildinni

$$\bar{u}(\vec{r}) = \beta^{-1/2} \bar{u}(\vec{r})$$

$$\bar{p}(\vec{r}) = \beta^{-1/2} \bar{p}(\vec{r})$$

$$d\bar{u}(\vec{r}) = du_i(\vec{r}) du_j(\vec{r}) du_k(\vec{r})$$

$$\rightarrow d\bar{u}(\vec{r}) = \beta^{-3/2} d\bar{u}(\vec{r})$$

$$d\bar{p}(\vec{r}) = \beta^{-3/2} d\bar{p}(\vec{r})$$

(2)

$$\int d\mathbf{r} e^{-\beta H} = \int d\mathbf{r} \exp\left\{-\beta\left(\sum \frac{\bar{p}(\bar{r})^2}{2M} + U^{eq} + U^{karru}\right)\right\}$$

$$= \underbrace{e^{-\beta U^{eq}}}_{\substack{\uparrow \\ \text{fasti sem taka} \\ \text{má útfyrir} \\ \text{veikid}}} \beta^{-3N} \left\{ \int_{\bar{r}} \prod d\bar{u}(\bar{r}) d\bar{p}(\bar{r}) \right.$$

$$\cdot \exp\left[-\sum \frac{\bar{p}(\bar{r})^2}{2M} - \frac{1}{2} \sum \bar{u}_\mu(\bar{r}) D_{\mu\nu}(\bar{r}-\bar{r}') \bar{u}_\nu(\bar{r}')\right]$$

Heildid er óháð β , þú sést að

$$u = -\frac{1}{V} \frac{\partial}{\partial \beta} \ln \left\{ e^{-\beta U^{eq}} \beta^{-3N} \times \text{fasti} \right\}$$

$$= -\frac{1}{V} (-1) \frac{\left\{ U^{eq} \beta^{-3N} \times \text{fasti} + e^{-\beta U^{eq}} \beta^{-3N-1} \times \text{fasti} \cdot \beta^{-3N} \right\}}{e^{-\beta U^{eq}} \beta^{-3N} \times \text{fasti}}$$

$$= \frac{U^{eq}}{V} + \frac{3N}{V\beta} = \frac{U^{eq}}{V} + \frac{3N}{V} k_B T$$

$$\rightarrow \boxed{u = u^{eq} + 3Nk_B T}$$

(3)

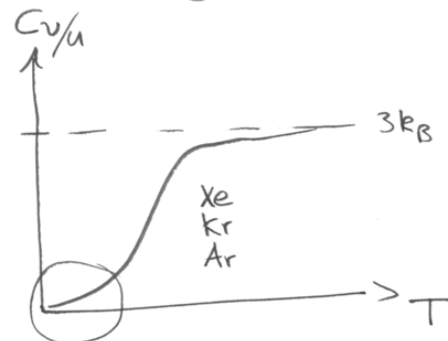
ljög lítil breyting með T ,

öllu hreyfing frýs við $T=0$

$$C_V = \frac{\partial u}{\partial T} = 3Nk_B$$

Dulong og Petit

þessa illa saman við málningu
sérstaklega við lægt hitastig



① Skilst ekki með sigldi lýsingu

② Klassískt má skilja frá úktá DugP við
hátt T , vegna líta sem sleppt er
í heintöna ualguninni

(4)

H-virkim er á þrívingsformi.

Margir eiginleikar þess er fast yfir í skammtafræði

→ Athugum sígilt lítan

Sveifluhallir einsátömu kedju



Aðeins næstu grannar víxlaðast

$$\rightarrow U^{\text{hamn}} = \frac{1}{2} K \sum_n [u(na) - u((n+1)a)]^2$$

Notum Bv-K þáttarstýrði, N-atóm

$$u((N+1)a) = u(a)$$

$$u(0) = u(Na)$$

hreyfi þéttur:

$$M\ddot{u}(na) = - \frac{\partial U^{\text{hamn}}}{\partial u(na)}$$

(5)

hvar kemur $U(na)$ fyrir í U^{hamn} ?

$$U^{\text{hamn}} = \frac{1}{2} K \left[\dots + (u((n-1)a) - u(na))^2 + (u(na) - u((n+1)a))^2 + \dots \right]$$

$$\rightarrow - \frac{\partial U^{\text{hamn}}}{\partial u(na)} = -K \left\{ - (u((n-1)a) - u(na)) + (u(na) - u((n+1)a)) \right\}$$

$$\rightarrow M\ddot{u}(na) = -K \left\{ 2u(na) - u((n-1)a) - u((n+1)a) \right\}$$

reyna lausvir á forminu

$$u(na, t) \sim e^{i(kna - \omega t)}$$

þáttarstýrði $u(0) = u(Na)$

$$\rightarrow e^{-i\omega t} = e^{i(kNa - \omega t)}$$

$$\rightarrow kNa = 2\pi n$$

$n \in \mathbb{Z}$

$$\rightarrow k = \frac{2\pi n}{Na}$$

lausnir eru óbreyttar með hlíðrum $k \rightarrow k + \frac{2\pi}{a}$

Þú ert aðeins N k -gildi sem við
getum valið til að vera á bilinu

$$\left(-\frac{\pi}{a}, \frac{\pi}{a}\right)$$

Setjum lausur inn í hreyfijöfnu

$$\begin{aligned} -M\omega^2 e^{i(kna - \omega t)} &= -K \left\{ 2 - e^{-ika} - e^{ika} \right\} e^{i(kna - \omega t)} \\ &= -2K(1 - \cos(ka)) e^{i(kna - \omega t)} \end{aligned}$$

Þú verður að gilda

$$\omega(k) = \sqrt{\frac{2K(1 - \cos(ka))}{M}}$$

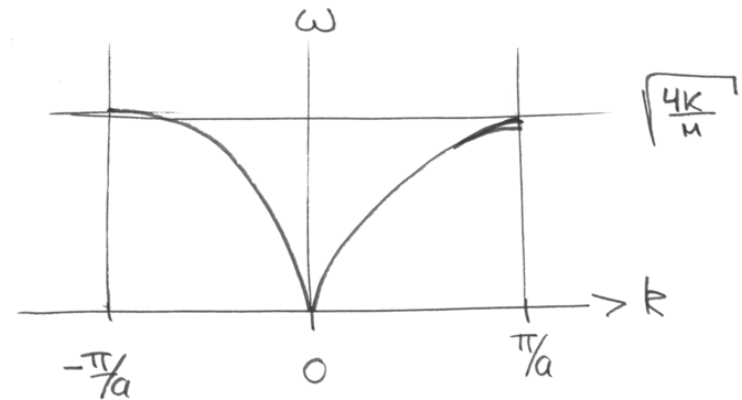
ω er jafnstætt fall af k þú ert að
jafnaða rötin þú hlífir atómanna

$$\begin{aligned} \cos(kna - \omega t) \\ \sin(kna - \omega t) \end{aligned}$$

eru óbreyttar eða jafn gildir fyrir

$$K \text{ og } -\omega(k) \quad \text{og} \quad -K \text{ og } \omega(-k) = \omega(k)$$

$2N$ óháðar lausur, en N sveifluhæðir



tvístur samband $\omega = \omega(k)$

fasahæði $c = \frac{\omega}{k}$

grúpuhæði $v = \frac{\partial \omega}{\partial k} \rightarrow 0$ v. $k = \pm \frac{\pi}{a}$

aðeins jafur fyrir $k \neq 0$ þegar $\omega(k)$
er línulegt

$$\omega = \left(a \sqrt{\frac{K}{M}}\right) |k|$$

Kæðja með grunni



Veljum

$$K \geq G$$

$$d \leq \frac{a}{2}$$

U_1 lýsir jönum við $R=na$
 U_2 — | | — $R=na+d$

Aðeins vaxlvertun nokkuð grunni

$$U_{\text{harm}} = \frac{K}{2} \sum_n [u_1(na) - u_2(na)]^2$$

$$+ \frac{G}{2} \sum_n [u_2(na) - u_1((n+1)a)]^2$$

Notum B-uk jafnarstýrði

tengdar hreyfi jöfnur fyrir U_1 og U_2

$$M\ddot{u}_1(na) = -K \{u_1(na) - u_2(na)\} - G \{u_1(na) - u_2((n-1)a)\}$$

$$M\ddot{u}_2(na) = -K \{u_2(na) - u_1(na)\} - G \{u_2(na) - u_1((n+1)a)\}$$

leit að lausna

$$u_1(na) = E_1 e^{i(kna - \omega t)}$$

$$u_2(na) = E_2 e^{i(kna - \omega t)}$$

innsetu gefur

$$\begin{pmatrix} M\omega^2 - (K+G) & K+Ge^{-ika} \\ K+Ge^{ika} & M\omega^2 - (K+G) \end{pmatrix} \begin{pmatrix} E_1 \\ E_2 \end{pmatrix} = 0$$

tvístursamband fast með því að krefjast að ákveðan hverfi

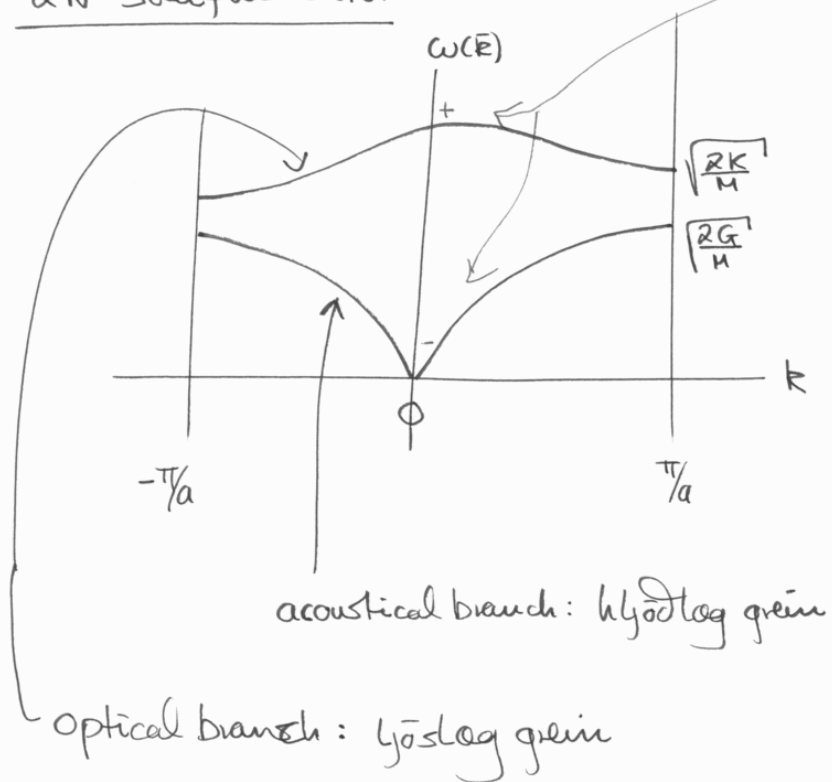
(10)

$$\omega^2 = \frac{K+G}{M} \left(\pm \frac{1}{M} \sqrt{K^2 + G^2 + 2KG \cos(ka)} \right)$$

linniq m\u00e1 finna

$$\frac{E_2}{E_1} = \left(\pm \frac{K+G e^{ika}}{K+G e^{-ika}} \right)$$

2N sveifluh\u00e6ttir



(11)

flvers konar sveifluh\u00e6ttir?

Atlungum $R \ll \frac{\pi}{a}$

$$\rightarrow \cos(ka) \approx 1 - \frac{(ka)^2}{2}$$

Lj\u00f3sleg

$$\omega^2 \approx \frac{K+G}{M} + \frac{1}{M} \left(K^2 + G^2 + 2KG \left(1 - \frac{(ka)^2}{2} \right) \right)^{1/2}$$

$$\omega \approx \sqrt{\frac{2(K+G)}{M}} - O(ka)^2$$

lj\u00f3sleg

$$\omega^2 \approx \frac{K+G}{M} - \frac{1}{M} \left(K^2 + G^2 + 2KG \left(1 - \frac{(ka)^2}{2} \right) \right)^{1/2}$$

$$\approx \frac{K+G}{M} - \frac{1}{M} \left((K+G)^2 + KG(ka)^2 \right)^{1/2}$$

$$\approx \frac{(K+G)}{M} - \frac{(K+G)}{M} \left(1 - \frac{KG(ka)^2}{(K+G)^2} \right)^{1/2}$$

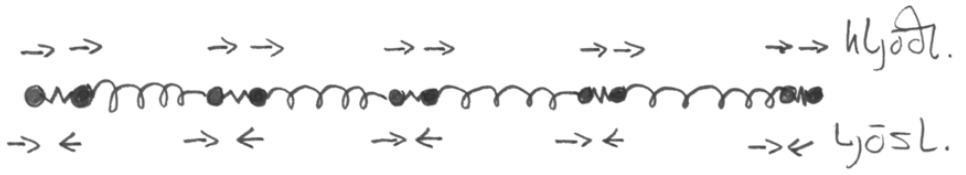
$$\approx \frac{KG}{2M(K+G)} (ka)^2$$

$$\omega \approx \sqrt{\frac{KG}{2M(K+G)}} |ka|$$

$$\frac{E_2}{E_1} = \mp \frac{K+G e^{ika}}{K+G e^{-ika}} \approx \pm 1 \quad \text{p. } ka \rightarrow 0$$

$E_2 = E_1 \leftarrow$ lyðdlog grein

$E_2 = -E_1 \leftarrow$ lyöslog grein



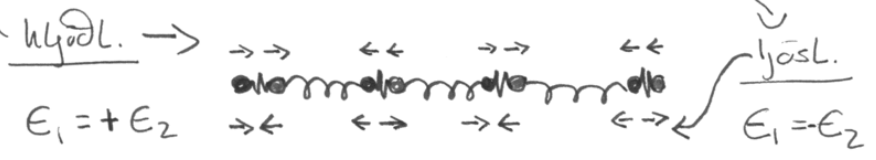
$$k = \pi/a$$

$K > G$

$$\omega^2 \approx \frac{K+G}{M} - \frac{1}{M} ((K-G)^2)^{1/2} = \frac{2G}{M}$$

$$\omega^2 \approx \frac{K+G}{M} + \frac{1}{M} ((K-G)^2)^{1/2} = \frac{2K}{M}$$

bara G-gamma sveiflast



lyðdlog grein

Jömur innan grúndareiningu sveiflast í fasa

tíðni roost af vixlvetnum milli grúndar eininga \rightarrow lág tíðni

lyöslog grein

Jömur innan grúndar eininga sveiflast í andfasa

Háttíðni sveiflur sameinda

þ breiða í bætta vegna vixlvetnum á milli grúndar eininga

Rafsegulsvid getur önnor lyöslogu...

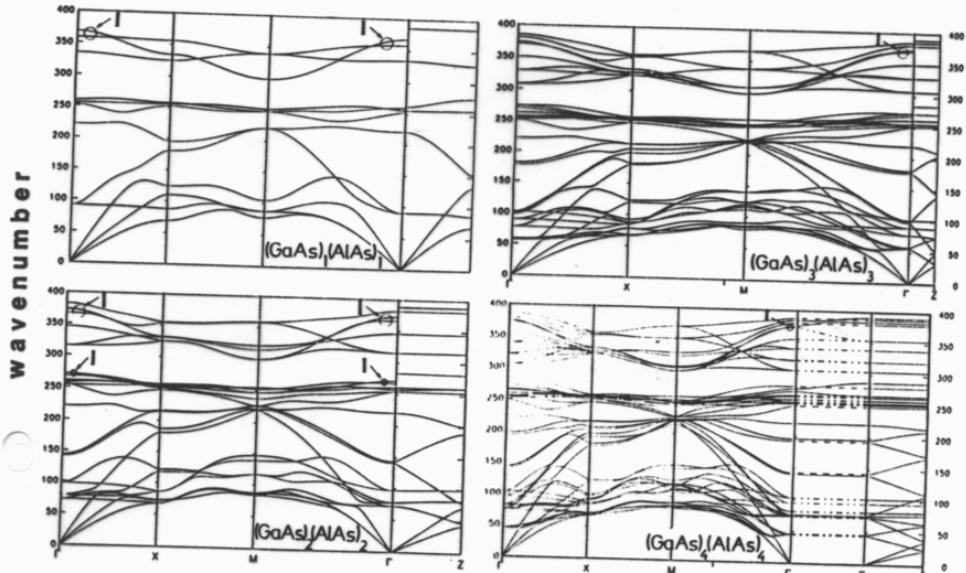
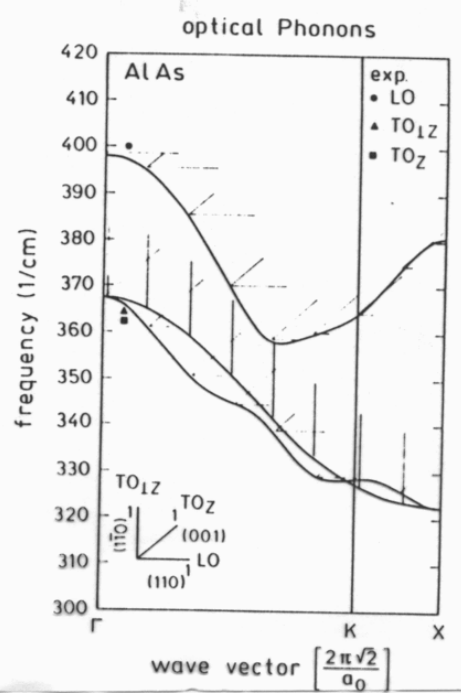
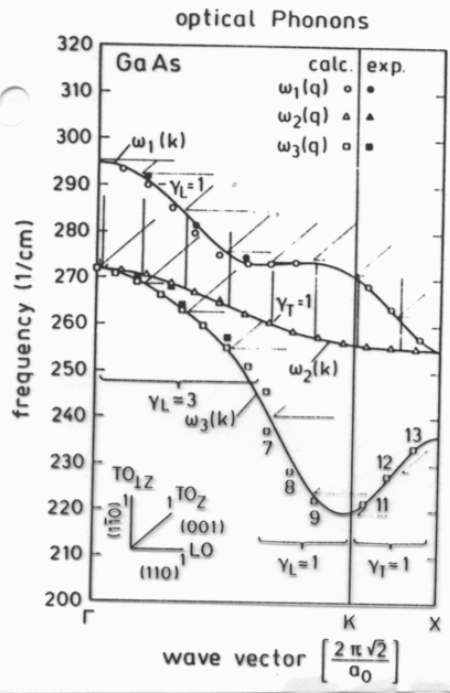


Fig. 2. Phonon dispersion relations of four GaAs/AlAs superlattices with interface modes labelled "I". From Ref. 10.



Sveifluhætti í 3D

lesa að mestu sjálf

Adalatindi :

hræfninga-jafna í fylkja táknum

$$M \ddot{u}(\vec{r}) = - \sum_{\vec{r}'} D(\vec{r}-\vec{r}') \bar{u}(\vec{r}')$$

með lesumum

$$\bar{u}(\vec{r}, t) = \vec{E} e^{i(\vec{k} \cdot \vec{r} - \omega t)}$$

pólunarséa

stærtnar vigr

B. vk. - Jætarstýðni

→ \vec{k} tekur gæðin $\vec{k} = \frac{n_1}{N_1} \vec{b}_1 + \frac{n_2}{N_2} \vec{b}_2 + \frac{n_3}{N_3} \vec{b}_3$

$$\vec{b}_i \cdot \vec{a}_j = 2\pi \delta_{ij}$$

nykurgründar vigrar

Negir að líta á $k \in (1. Brillouin svæði)$

3- Skautanir \rightarrow 3N sveiflukettir

Í einsetta (.)jafnatta) efni er ein grein ~~með~~ með skautan samsíða k og tvo með skautan

þvert á k

- \rightarrow 1 langs sveiflukettar
- 2 þvert sveiflukettir

Sjá Mynd 22.13

3D grind með grunni

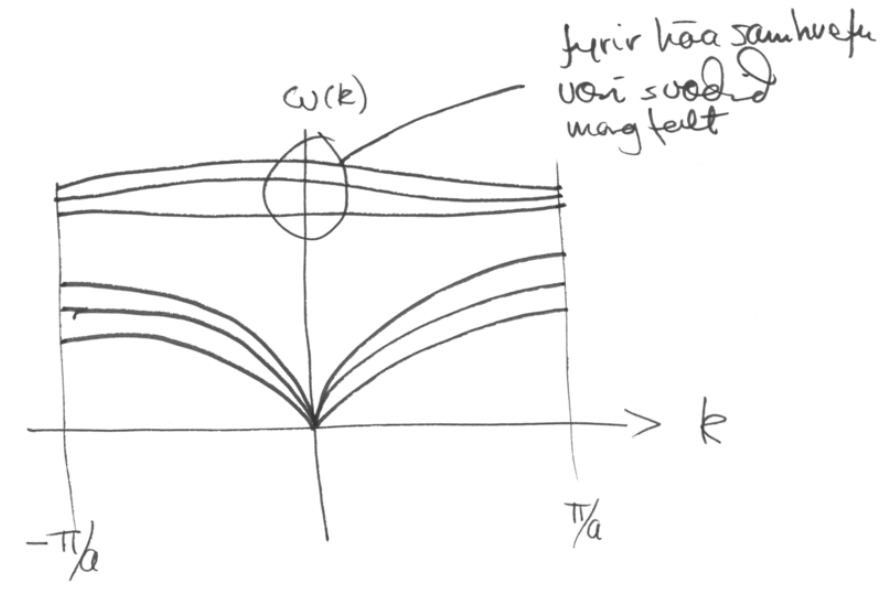
p : fjöldi jóna í grunni

fyrir hvert k eru $3p$ sveiflukettir
($3Np$ sveiflukettir alls)

3 af $3p$ sveiflukettum
eru hlöð lík

$3(p-1)$ eru löslegir

$p=2$



Skammta fróði Krítallahreyfinga

①

Getur skammtafróði skýrt

$$C_v \xrightarrow{T \rightarrow 0} \begin{cases} T^3 & : \text{einaþræðar} \\ AT + BT^3 & : \text{málmur} \end{cases}$$

Sigild botisfróði getur:

Deilang + Peltit..., C_v er fasti

í stöð þéttleika varmaortunar er lítil

á meðalortuþéttleika í skammtasafrú
~~meðalortuþéttleika~~ einu

$$u = \frac{1}{V} \frac{\sum_i E_i e^{-\beta E_i}}{\sum_i e^{-\beta E_i}} \quad \beta = \frac{1}{k_B T}$$

E_i er orka i -sistada ástands krítallsins.
Summan er yfir öll slík ástönd

Krítallinnun í heimtönaudgum er lýst með ②

$$H^{\text{ham}} = \sum_{\vec{R}} \frac{\bar{P}(\vec{R})^2}{2M} + \frac{1}{2} \sum_{\vec{R}, \vec{R}'} U_{\mu}(\vec{R}) D_{\mu\nu}(\vec{R}-\vec{R}') U_{\nu}(\vec{R}')$$

sem má skammta \rightarrow N -jónakrítallur
veður sem $3N$ -ökadir heimtöna sveiflar

Heildarorka einhvers sistads ástands
krítallsins er

$$E = \sum_{\vec{R}, s} \left(N_{\vec{R}, s} + \frac{1}{2} \right) \hbar \omega_s(\vec{R})$$

↑
summa upp orka hvers sveifils

\vec{R} er summa yfir N -lyturvegja
lyturgrúnda. p -sveiflu heitir
fyrir hvern vigr \vec{R} . p -greinar.

$$N_{\vec{R}, s} \in \{0, 1, 2, \dots\}$$

Hljóðeindir

(3)

Með hlidstöðu við rafsegulsvid (stammstöð)
í holrúmi er eftirfarandi gert



Örnumertala, $n_{\vec{k}s}$, sveiflukættar með
bylgjuvígur \vec{k} í gæm s

↕ Jafngæt

$n_{\vec{k}s}$ hljóðeindir af tegund s með
bylgjuvígur \vec{k}

↑ einfaldara til um fjölkennar

Varmagnind kristalls

(4)

Þóðalorku þéttleiki

$$u = - \frac{\partial f}{\partial \beta}$$

með

$$f = \frac{1}{V} \ln \left(\sum_i e^{-\beta E_i} \right)$$

$$\sum_i e^{-\beta E_i} = \sum_{\vec{k}, s} \exp \left\{ -\beta \sum_{\vec{k}, s} \left(n_{\vec{k}s} + \frac{1}{2} \right) \hbar \omega_s(\vec{k}) \right\}$$

$$= \prod_{\vec{k}, s} \left(e^{-\beta \hbar \omega_s(\vec{k})/2} + e^{-3\beta \hbar \omega_s(\vec{k})/2} + \dots \right)$$

heft að summa

$$= \prod_{\vec{k}, s} \left\{ \frac{e^{-\beta \hbar \omega_s(\vec{k})/2}}{1 - e^{-\beta \hbar \omega_s(\vec{k})}} \right\}$$

$$\rightarrow u = - \frac{1}{V} \frac{\partial}{\partial \beta} \ln \prod_{\vec{k}, s} \left\{ \frac{e^{-\beta \hbar \omega_s(\vec{k})/2}}{1 - e^{-\beta \hbar \omega_s(\vec{k})}} \right\}$$

(5)

$$u = -\frac{1}{V} \frac{\partial}{\partial \beta} \sum_{\vec{k}, s} \ln \left\{ \frac{e^{-\beta \hbar \omega_s(\vec{k})/2}}{1 - e^{-\beta \hbar \omega_s(\vec{k})}} \right\}$$

$$= -\frac{1}{V} \frac{\partial}{\partial \beta} \sum_{\vec{k}, s} \left\{ \ln e^{-\beta \hbar \omega_s(\vec{k})/2} - \ln(1 - e^{-\beta \hbar \omega_s(\vec{k})}) \right\}$$

$$= \frac{1}{V} \sum_{\vec{k}, s} \left\{ \frac{1}{2} + \frac{e^{-\beta \hbar \omega_s(\vec{k})}}{1 - e^{-\beta \hbar \omega_s(\vec{k})}} \right\} \hbar \omega_s(\vec{k})$$

$$= \frac{1}{V} \sum_{\vec{k}, s} \hbar \omega_s(\vec{k}) \left\{ n_s(\vec{k}) + \frac{1}{2} \right\}$$

ef
$$n_s(\vec{k}) = \frac{1}{e^{\beta \hbar \omega_s(\vec{k})} - 1}$$

medal fjöldi hljóðeinda af gerð \vec{k}, s
við hitastigið T

böseindir \leftarrow bösefering.

(6)

Orkuþéttleikinn er

$$u = u^{eq} + \frac{1}{V} \sum_{\vec{k}, s} \hbar \omega_s(\vec{k}) \left\{ n_s(\vec{k}) + \frac{1}{2} \right\}$$

Hér kemur T fyrir

$$n_s(\vec{k}) \xrightarrow{T \rightarrow 0} 0$$

miðpunktis-
orka ekki
háð T

sama og fyrir
klassískan kristall

Varmerágrind

$$C_V = \frac{1}{V} \sum_{\vec{k}, s} \left\{ \frac{\partial}{\partial T} n_s(\vec{k}) \right\} \hbar \omega_s(\vec{k})$$

alltíð mestgilti fyrir hátt og lágt T

hott T

p.e. $k_B T \gg \hbar \omega_s(\mathbf{k})$ f. $\forall \mathbf{k}, s$

Mikill fjöldi lýðeinda af öllum gráðum.

$$x = \frac{\hbar \omega}{k_B T} \ll 1$$

$$\frac{1}{e^x - 1} = \frac{1}{x + \frac{x^2}{2} + \frac{x^3}{6} + \dots} = \frac{1}{x} \left(1 - \frac{x}{2} + \frac{x^2}{12} + O(x^3) \right)$$

fyrsti liðurinn

$$n_s(\mathbf{k}) \approx \frac{k_B T}{\hbar \omega_s(\mathbf{k})} \rightarrow u = u^{eq} + \frac{1}{V} \sum_{\mathbf{k}, s} k_B T + \dots$$

$$= u^{eq} + \frac{3N}{V} k_B T + \dots$$

\rightarrow $C_V = 3Nk_B$ Dulong + Petit

Límlegi líðurinn vegur upp nillpunktts ortuna nákvæmlega

Næsta liðurinn er þú líðurinn á Dulong + Petit.

Anharmonic - liður gefa líðurinn með sömu stöðu gráðu

Lágt T

líðurinn

Allir hettir með $\hbar \omega_s(\mathbf{k}) \gg k_B T$ skipta ekki máli (eru frosnir út)

En eftir lífa alltaf einhverjar lýðeindir, lýðlagir hettir með $k \rightarrow 0$

Nálgun

- ① Einnig lýðlagir hettir skipta máli
- ② Lengdbylgju nálgun $\rightarrow \omega = C_s(\hat{\mathbf{k}})k$
- ③ Hettur yfir 1. B-svæðir eru breytt í hettur yfir allt \mathbf{k} -rúmið
 $n_s(\mathbf{k}) \rightarrow 0$ ef $\mathbf{k} \neq 0$

(9)

$$C_V = \frac{1}{V} \sum_{\vec{k}, s} \left\{ \frac{\partial}{\partial T} n_s(\vec{k}) \right\} \hbar \omega_s(\vec{k})$$

nota $\frac{1}{V} \sum_{\vec{k}, s} \rightarrow \int \frac{d\vec{k}}{(2\pi)^3} \sum_s$

$$\rightarrow C_V = \frac{\partial}{\partial T} \sum_s \int \frac{d\vec{k}}{(2\pi)^3} n_s(\vec{k}) \hbar \omega_s(\vec{k})$$

$$\approx \frac{\partial}{\partial T} \sum_s \int \frac{d\vec{k}}{(2\pi)^3} \frac{\hbar c_s(\hat{k}) k}{e^{\hbar c_s(\hat{k}) k / k_B T} - 1}$$

dyetustipti $\beta \hbar c_s(\hat{k}) k = x$

$$\rightarrow C_V = \frac{\partial}{\partial T} \frac{(k_B T)^4}{\hbar^3} \int_0^\infty \frac{x^3 dx}{e^x - 1} \frac{4\pi}{(2\pi)^3} 3 \frac{1}{3} \int \frac{d\Omega}{4\pi} \frac{1}{c_s(\hat{k})^3}$$

$$= \frac{\partial}{\partial T} \frac{(k_B T)^4}{(\hbar c)^3} \frac{3}{2\pi^2} \int_0^\infty \frac{x^3 dx}{e^x - 1}$$

(10)

$$\int_0^\infty \frac{x^3 dx}{e^x - 1} = \frac{\pi^4}{15}$$

$$\rightarrow C_V \approx \frac{2\pi^2}{5} k_B \left(\frac{k_B T}{\hbar c} \right)^3$$

1

Tvö líkön fyrir hljóðeindir
við „milli-litastig“

Debye - líkani

þrjár greinar, hver með tveimur.

$$\omega = c k$$

Í stað 1. Brillouin svæðisins er notuð kúla með geisla k_D sem er valinn þ.a. N gildir bylgjuvægi sé innan hennar.

rúmmál á bylgjuvægi k í k -rúminu er

$$(2\pi)^3/V$$



$$\frac{(2\pi)^3}{V} \cdot N = \frac{4\pi}{3} k_D^3$$

$$\rightarrow \boxed{n = \frac{k_D^3}{6\pi^2}}$$

þéttleiki jóna

2

$$\rightarrow C_V = \frac{\partial}{\partial T} \frac{3k_B}{2\pi^2} \int_0^{k_D} \frac{k^3 dk}{e^{\beta \hbar c k} - 1}$$

Skilgreinum

$$\omega_D = k_D c$$

$$k_B \theta_D = \hbar \omega_D = \hbar c k_D$$

k_D : tengist andhverfi fjórlega jóna

ω_D : hеста hljóðeinda tíðni

θ_D : fyrir ofan θ_D eru allar hljóðeindir til staða

(fyrir neðan fjösapör út)

Heildum með breytisöfptingun

$$\frac{\hbar c k}{k_B T} = x$$

$$\rightarrow C_V = 9nk_B \left(\frac{T}{\theta_D}\right)^3 \int_0^{\theta_D/T} \frac{x^4 e^x dx}{(e^x - 1)^2}$$

$$= \frac{12\pi^4}{5} n k_B \left(\frac{T}{\theta_D}\right)^3 \quad \text{fyrir } T \ll \theta_D \quad \text{(3)}$$

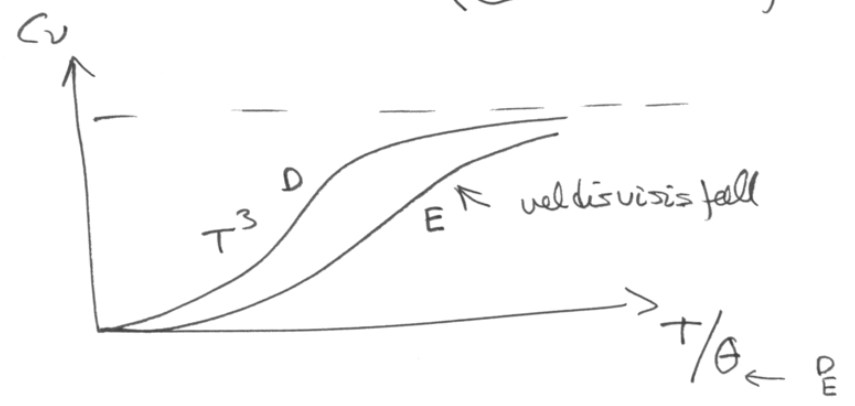
gildir best h₃ þú veð eins
 hljóðlega greina en tekur með

Einstein lítandi

Hver ljóslög greina hefur tvísturs samband
 $\omega = \omega_E$

fyrir p-greina fast

$$C_V^{opt} = p n k_B \frac{\left(\frac{\hbar \omega_E}{k_B T}\right)^2 e^{\hbar \omega_E / k_B T}}{\left(e^{\hbar \omega_E / k_B T} - 1\right)^2}$$



Kristallur með rafleindum T -> 0

$$C_V \sim aT + bT^3$$

(Jónir) hljóðleindir
 bóseleindir

↑ rafleindir, fermíleindir

fínna má hita stigið þegar leiddur er um
 jafn stakir

$$T_0 = 0.145 \left(\frac{Z \theta_D}{T_F}\right)^{1/2} \theta_D$$

~ örfáor gráður Kelvin

$$n_e = Z n_i$$

'Ástanda þéttleiki

(5)

$$\frac{1}{V} \sum_{\vec{k} \in S} Q(\omega_s(\vec{k})) = \sum_S \int \frac{d\vec{k}}{(2\pi)^3} Q(\omega_s(\vec{k}))$$

↙ $\bar{\text{ástanda þ.}}$

$$= \int d\omega g(\omega) Q(\omega)$$

$$\rightarrow g(\omega) = \sum_S \int \frac{d\vec{k}}{(2\pi)^3} \delta(\omega - \omega_s(\vec{k}))$$

eins og fyrir rafmáða ástanda þéttleika
með umskrifa

$$g(\omega) = \sum_S \int \frac{dS}{(2\pi)^3} \frac{1}{|V \omega_s(\vec{k})|}$$

van-Hove sérstöðupunktur

fyrir Debye-líkaning fest.

(6)

$$g_D(\omega) = 3 \int_{k < k_D} \frac{d\vec{k}}{(2\pi)^3} \delta(\omega - ck)$$

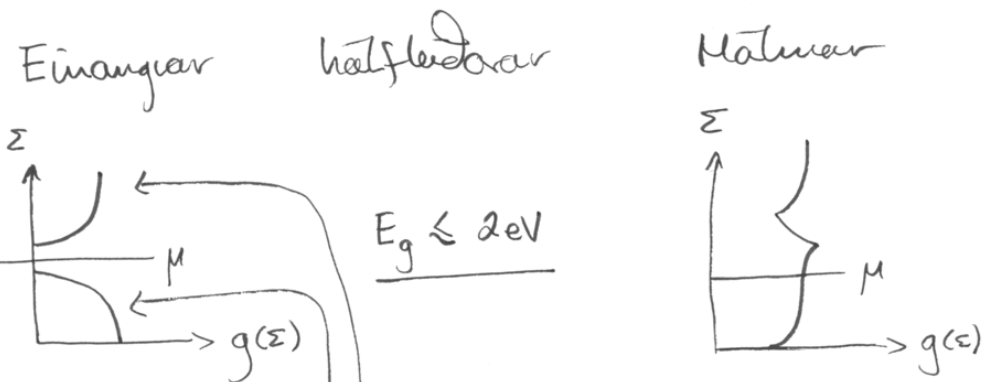
$$= \frac{3}{2\pi^2} \int_0^{k_D} k^2 dk \delta(\omega - ck)$$

$$= \begin{cases} \frac{3}{2\pi^2} \frac{\omega^2}{c^3} & \omega < \omega_D = k_D c \\ 0 & \omega > \omega_D \end{cases}$$

þessu saman við mynd 23.6

Hálfléiðarar Eins leitkur Kristall

①



tómir bádur
fullir bádur
Orkugeil

leitubandi
gildisbandi

bandi óð hluta
fylltur

Í hálfléiðara eru hitaörvadar rafjónir
í leitubanda og þá hduv í gildisbanda

Hreinn hálfléiðari hita örvunin er frá gildis-
yfir í leitubanda

Íbottur hálfléiðari hita örvunin getur verið frá eða
í veitu ástandi ummi öðrum
eða báðum bandum

Íböt getur gerbreytt eiginleikum hálfléiðara. ^{vaxandi}
leitni eykst verulega með hitastigi, öfugt m.v.
málmna þ.s. leitni minnkar

$$\tau = \frac{ne^2}{m}$$

vegna aukinna árefta við hýðeindir
(τ minnkar með vaxandi T)

Gerist hita í hálfléiðara, en hita örvunin
vex miklu hraðar með T

→ breytingum stundal 10^3 getur breytt leitni
um einum tug stóðagráða

intrinsic : eigin, eigin leitni...
hrens hálfléiðara

extrinsic : íbötur, íböturleitni...

②

Hvæða e þri?

(3)

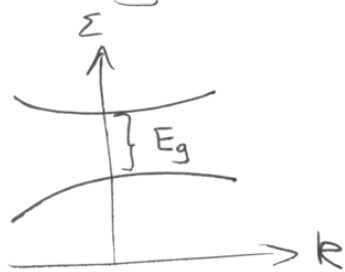
Um mitt lotukerfið, Si, Ge, C, B, Se, Te...

Samsetningar SiGe, GaAs, PbTe, InAs
InP, GaP, AlSb.....

III-VI, II-VI
↑ samgiltir ↑ skautbörir + samg.

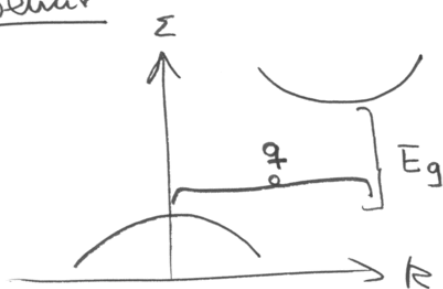
Beinir hálflétarar

Lágmark leiðriþorða er fyrir sama k og hámark gáldisþorða



Orkulagða forslan er bein ljóstofa
 $\omega = \frac{E_g}{\hbar}$

Öbeinir



Orkulagða forslan er öbeiniforsla með aðstoð klyðsins
 $\omega = \frac{E_g}{\hbar} - \omega_{cp}$

k fyrir ljósið er svo lítið samankorid við vagna \bar{c} nýtturgründinni munurinn er nokkar stóðargráður

(4)

Þarabýgging

Orkan \bar{c} kringum lágmark \bar{c} hámark er \bar{a} forminn

$$\Sigma(\bar{k}) = \Sigma_c + \hbar^2 \left(\frac{k_1^2}{2m_1} + \frac{k_2^2}{2m_2} + \frac{k_3^2}{2m_3} \right)$$

fyrir rafjónir

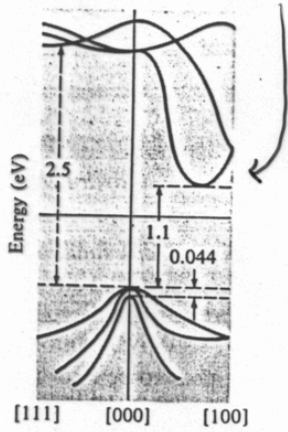
og

$$\Sigma(\bar{k}) = \Sigma_v - \hbar^2 \left(\frac{k_1^2}{2m_1} + \frac{k_2^2}{2m_2} + \frac{k_3^2}{2m_3} \right)$$

fyrir hódur

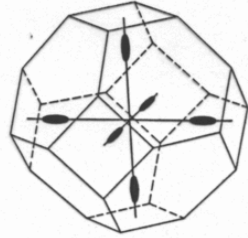
massa gáldis en mismunandi og háð þorðum

C: $m_L = 1,0m$ $m_T = 0,2m$ Si



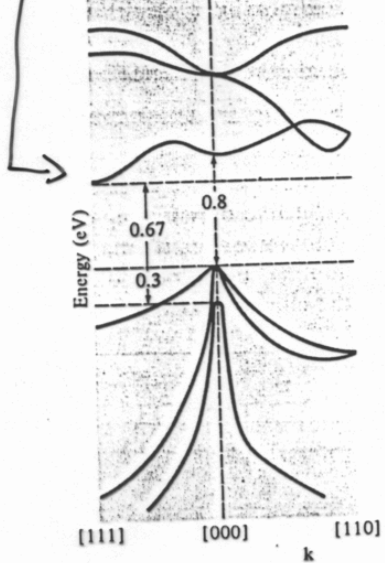
0,49m, 0,16m

Fyrsta Brillouin Svæðid



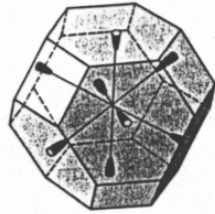
6x margfeldni
sporvölur
(Walley deg.)

$m_L = 1,6m$ $m_T = 0,08m$ Ge



0,28m, 0,044m

margfeldni
minntar við
skilfleti



8x eða 4x margfeldni

Γ : þungar og lettari hlukur, spuna-brættar klöfum

Massarnir eru mældir með hringhæðilkerum

Keyfijafna

$$\hat{H} \frac{d\psi}{dt} = \mp \frac{e}{c} \vec{U} \times \vec{H}$$

Segulsvið $\vec{H} = H \hat{z}$ (veðir til virks massa

$$m^* = \left(\frac{|\hat{M}|}{M_{zz}} \right)^{1/2}$$

\hat{M} er samkvæmtarauntölu þinnur

→ finna má höfuð ása þ.a.

$$m^* = \sqrt{\frac{m_1 m_2 m_3}{\hat{H}_1^2 m_1 + \hat{H}_2^2 m_2 + \hat{H}_3^2 m_3}}$$

þaðir $\frac{\vec{H}}{H}$ samsíða Höfuð ásumum

Með val á stefnum má mæla m_1 , m_2 eða m_3

$\omega \tau \gg 1$ ← hvernig
má mæla skindýpt til
hálfl. fjar rafeindir en
sést inn í allt kerfið

Fjöldi hléslubra í varma jafnvægi

(7)

Íbötur ástönd breyta ekki $g_c(\epsilon)$ eða $g_v(\epsilon)$

ástandap. \uparrow \uparrow
 loftm. \uparrow \uparrow
 gildisb.

þú þau lenda innan geilar

$$n_c(T) = \int_{\epsilon_c}^{\infty} d\epsilon g_c(\epsilon) \frac{1}{e^{(\epsilon-\mu)/k_B T} + 1}$$

fermíð.
 lítur á sölu
 rafenda

$$p_v(T) = \int_{-\infty}^{\epsilon_v} d\epsilon g_v(\epsilon) \left[1 - \frac{1}{e^{(\epsilon-\mu)/k_B T} + 1} \right]$$

Söstjóldi

Lítur á fönu
 ástandi rafendi
 = söti hoku

þetta er rafenda

Íböt roður n_c og p_v og sérstaklega μ

(8)

en ef

$$\epsilon_c - \mu \gg k_B T$$

$$\mu - \epsilon_v \gg k_B T$$

þá er tekið um rafbrana
 sem hlýgas

Fermí dreifingin innan lestri þordans
 er aðeins hali dreifingarinnar sem
 lýsa má sem Boltzmanns dr.
 sigilt gas \leftrightarrow hlýgas

Í-f hefur líta aðeins Boltzmanns-
 hella innan gildisþarda \leftrightarrow hduvar
 en líta hlýgas

Ef μ er nær aðruhvernum þordanum
 eða innan hans er um kulgas að
 ræða sem lýsa verður með
 fermí dreifingu.

hóðsluþéttur - hlýgas

(9)

$$\frac{1}{e^{(\varepsilon-\mu)\beta} + 1} \approx e^{-(\varepsilon-\mu)\beta} \quad \underline{\varepsilon > \varepsilon_c}$$

$$1 - \frac{1}{e^{(\varepsilon-\mu)\beta} + 1} \approx e^{-(\mu-\varepsilon)\beta} \quad \underline{\varepsilon < \varepsilon_v}$$

$$n_c(T) = N_c(T) e^{-(\varepsilon_c - \mu)\beta}$$

$$p_v(T) = P_v(T) e^{-(\mu - \varepsilon_v)\beta}$$

← höfð breyting með T

með

$$N_c(T) = \int_{\varepsilon_c}^{\infty} d\varepsilon g_c(\varepsilon) e^{-(\varepsilon - \varepsilon_c)\beta}$$

$$P_c(T) = \int_{-\infty}^{\varepsilon_v} d\varepsilon g_v(\varepsilon) e^{-(\varepsilon_v - \varepsilon)\beta}$$

föll sem breytast högt með T

fyrir ástandaþéttleikann má nota

(1)

$$g_\alpha(\varepsilon) = \sqrt{2|\varepsilon - \varepsilon_\alpha|} \frac{m_\alpha^{3/2}}{\hbar^3 \pi^2}$$

$$\alpha = c, v$$

(og $m^{3/2} = \sqrt{m_x m_y m_z}$)

þá má halda og fá

$$N_c(T) = \frac{1}{4} \left(\frac{2m_c k_B T}{\pi \hbar^2} \right)^{3/2} \quad \text{með } c = \alpha$$

$$\left\{ N_v(T) = \frac{1}{4} \left(\frac{2m_v k_B T}{\pi \hbar^2} \right)^{3/2} \right\}$$

þá

$$N_\alpha(T) = 2.5 \left(\frac{m_\alpha}{m} \right)^{3/2} \left(\frac{T}{300\text{K}} \right)^{3/2} \cdot 10^{19} \text{ cm}^{-3}$$

→ fyrir hálfleiðara m. hlýgasi er $10^{18} - 10^{19}$ hámark þú veldisv. f. er ≤ 1

Massa virkni regla

Til að finna n_c og p_v þarf sum μ

en
$$n_c p_v = N_c p_v e^{-E_g/k_B T}$$

Hreinn hálfleiðari



$$n_c(T) = p_v(T) \equiv n_i(T)$$

$$\begin{aligned} \rightarrow n_i &= (n_c p_v)^{1/2} = (N_c(T) p_v(T))^{1/2} e^{-E_g/2k_B T} \\ &= p_v = p_v(T) e^{-(\mu - \Sigma_v)/k_B T} \end{aligned}$$

$$\begin{aligned} \xrightarrow{\ln \dots} & \ln \left\{ (N_c(T) p_v(T))^{1/2} e^{-E_g/2k_B T} \right\} \\ &= \ln \left(p_v(T) e^{-(\mu - \Sigma_v)/k_B T} \right) \end{aligned}$$

$$\rightarrow \frac{1}{2} \ln(N_c(T) p_v(T)) - \frac{E_g}{2k_B T} = + \ln(p_v(T)) - \frac{\mu - \Sigma_v}{k_B T}$$

$$\begin{aligned} \rightarrow & \left(\frac{1}{2} \ln(N_c(T)) + \frac{1}{2} \ln(p_v(T)) - \ln(p_v(T)) \right) k_B T \\ &= \frac{E_g}{2} - \mu + \Sigma_v \quad \neq \quad \frac{E_c - E_v}{2} - \mu + \Sigma_v = E \end{aligned}$$

$$\begin{aligned} \rightarrow \mu &= \Sigma_v + \frac{E_g}{2} + \frac{1}{2} k_B T \ln \left(\frac{p_v(T)}{N_c(T)} \right) \\ &= \mu_i \end{aligned}$$

↑
T stýtt út

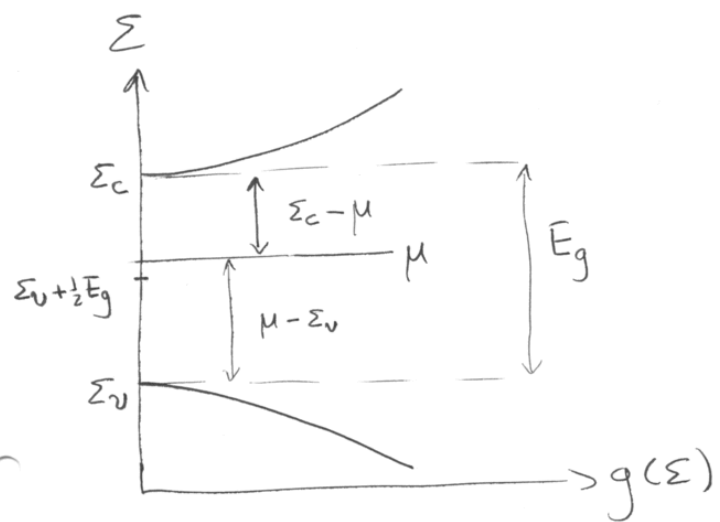
↙
sins og sæst.

↘
efnamellið fyrir
heinnan hálf.

$$\mu_i = \Sigma_v + \frac{E_g}{2} + \frac{3}{4} k_B T \ln \left(\frac{m_v}{m_c} \right)$$

T → 0 μ liggur í miðri geil
fyrir $k_B T \ll E_g$ fast ($m_v \sim m_c$)
að μ liggur sum mjög nær miðri
geil.

(4)



İbottar hálflétari

Ef viðhi rafstöðin sé hleður
koma þeir íbottaratómum
er felld um íbottan.....

$$\rightarrow n_c - p_v = \Delta n \neq 0$$

Reglan um massaþrögn hefur
þú hún er öðað μ

$$\rightarrow n_c p_v = n_i^2$$

(5)

$$n_c - p_v = \Delta n \rightarrow n_c = p_v + \Delta n$$

$$n_c p_v = n_i^2$$

$$p_v(p_v + \Delta n) = n_i^2$$

Það

$$p_v^2 + \Delta n p_v - n_i^2 = 0$$

$$\rightarrow p_v = -\frac{1}{2}\Delta n \pm \frac{1}{2}\sqrt{(\Delta n)^2 + 4n_i^2}$$

$$p_v \geq 0$$

$$\rightarrow p_v = \frac{1}{2}\sqrt{(\Delta n)^2 + 4n_i^2} - \frac{\Delta n}{2} \quad (1)$$

$$p_v = n_c - \Delta n$$

$$n_c(n_c - \Delta n) = n_i^2 \rightarrow n_c^2 - \Delta n p_v - n_i^2 = 0$$

$$n_c = \frac{\Delta n}{2} \pm \frac{1}{2}\sqrt{(\Delta n)^2 + 4n_i^2}$$

$$n_c \geq 0$$

$$\rightarrow n_c = \frac{1}{2}\sqrt{(\Delta n)^2 + 4n_i^2} + \frac{\Delta n}{2} \quad (2)$$

(6)

Vi þunnum efnumaltid μ fyrir
 íbottan heitbæðna og þessu saman
 v. heitna (μ_i)

Hér má skilgreina μ með

$$\frac{n_c}{n_i} = e^{\beta(\mu - \mu_i)}$$

$$n_c p_v = n_i^2 \rightarrow p_v = e^{-\beta(\mu - \mu_i)} n_i$$

$$\begin{aligned} \Delta u &= n_c - p_c = n_i (e^{\beta(\mu - \mu_i)} - e^{-\beta(\mu - \mu_i)}) \\ &= n_i 2 \sinh(\beta(\mu - \mu_i)) \end{aligned}$$

Sérlega sterkt fall af ' $(\mu - \mu_i)\beta$ '

\rightarrow jafnvæði $\Delta u \rightarrow n_i$ þyðir samt $\mu \approx \mu_i$
eru hlýgas

og frá (1+2) sést að þá er
 annhvat $n_c \sim \Delta u$ eða $p_v \sim \Delta u$

Ritgjafi og útgjafi hléðu þessu

(7)

p -eða n -efni

Heimur hálf leiðari

$$n_i(T) = [N_c(T) P_v(T)]^{1/2} e^{-E_g/k_B T \cdot 2} \leftarrow n_c = p_v$$

$$\mu_i(T) = \Sigma_v + \frac{1}{2} E_g + \frac{3}{4} k_B T \ln \left(\frac{m_v}{m_c} \right)$$

Háfl. með íbót

Íbót ákveður n_c og p_v aðeins í gegnum μ

$$\rightarrow n_c p_v = n_i^2$$

$$\Delta n = n_c - p_v, \left(\frac{n_c}{p_v} \right) = \frac{1}{2} \left((\Delta n)^2 + 4n_i^2 \right)^{1/2} \pm \frac{\Delta n}{2}$$

$$\frac{\Delta n}{n_i} = 2 \sinh \beta (\mu - \mu_i)$$

Hér þarf frekri upplýsingar um íbótina

n_i og μ_i eru gáðir fyrir hvernann háfl. $\cdot e^{-E_g/\beta}$

Orkuskipti íbótaraðama

Ör lofttöflu

B	C	N
Al	Si	P
Ga	Ge	As
In	Su	Sb

\rightarrow As í Ge-grind getur verið rafgefi
 \uparrow \uparrow
5gát 4gát

↑ autaröfend losar föst jafnvegi meðla verður eftir

Ga í Ge-grind getur verið rafþegi

* E i hálfléðara stökkur með
mínkandi E_g (er ∞ í molúnum)

Orkuþéttar \rightarrow viktarmassi oft minni en
 m_e

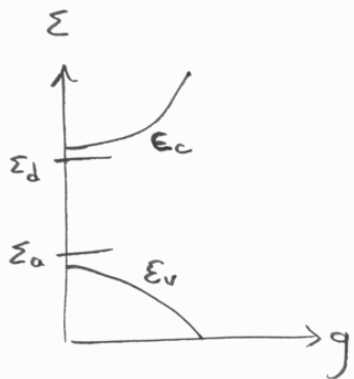
\rightarrow bindi orku rafeindir við \oplus -hlöðuna
í rafgjafa

$$E \approx \frac{m^*}{m} \frac{1}{\epsilon^2} \times 13,6 \text{ eV}$$

getur verið mjög lítil

Sjálfsamkvæmt $E \ll 13,6 \text{ eV} \rightarrow a_0^* \gg a_0$
rafeindir sér stórt svæði
úr kristallinum

$\rightarrow E$ og m^* kafa þýðing!



bindiata $\ll E_g$

Si i Ga

$$\begin{aligned} E_d &\sim 3,9 \text{ meV} \\ a_0 &\sim 97,7 \text{ \AA} \end{aligned}$$

Sætui raf-gjafa og þega

\bar{n} Jafnvægi gildir almennt

$$\langle n \rangle = \frac{\sum_j N_j e^{-\beta(E_j - \mu N_j)}}{\sum_j e^{-\beta(E_j - \mu N_j)}}$$

fjöldi einda í ástandi j
orka ástandi j
N.B.

Engin vörðveitun milli raf-gjafa og þega
(ekki hár styrkur)

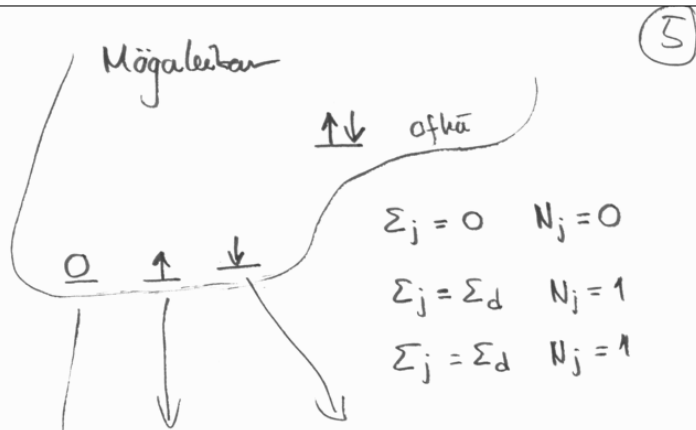
$N_a \leftarrow$ þétti rafþega

$N_d \leftarrow$ rafgjafa

$N_a \leftarrow$ þéttui setima rafþega

$N_d \leftarrow$ gjafa

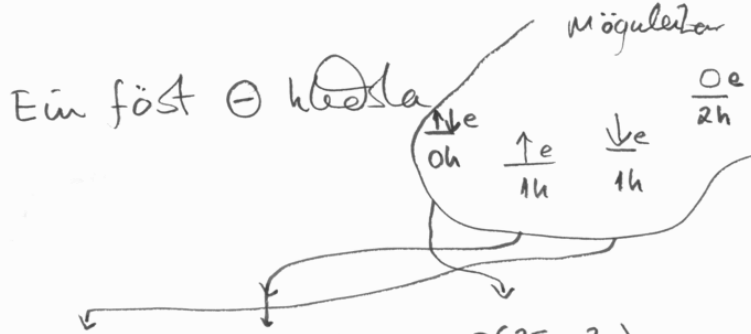
Rafgjafar



$$\langle n \rangle = \frac{n_d}{N_d} = \frac{0 + e^{-\beta(\epsilon_d - \mu)} + e^{-\beta(\epsilon_d - \mu)}}{e^{-0} + e^{-\beta(\epsilon_d - \mu)} + e^{-\beta(\epsilon_d - \mu)}}$$

$$= \frac{2e^{-\beta(\epsilon_d - \mu)}}{1 + 2e^{-\beta(\epsilon_d - \mu)}} = \frac{1}{\frac{1}{2}e^{\beta(\epsilon_d - \mu)} + 1}$$

Rafþegar



$$\langle n \rangle = \frac{e^{-\beta(\epsilon_a - \mu)} + e^{-\beta(\epsilon_a - \mu)} + 2e^{-\beta(2\epsilon_a - 2\mu)}}{e^{-\beta(\epsilon_a - \mu)} + e^{-\beta(\epsilon_a - \mu)} + e^{-\beta(2\epsilon_a - 2\mu)}}$$

talid eftir rafleindar ástöndum

$$\langle n \rangle = \frac{2e^{\beta\mu} + 2e^{-\beta(\epsilon_a - 2\mu)}}{2e^{\beta\mu} + e^{-\beta(\epsilon_a - 2\mu)}} = \frac{e^{\beta(\mu - \epsilon_a)} + 1}{\frac{1}{2}e^{\beta(\mu - \epsilon_a)} + 1}$$

$\langle p \rangle = 2 - \langle n \rangle$, $\langle p \rangle = \frac{p_a}{N_a}$

↑ mesti fjöldi rafleinda

$$p = \frac{N_a}{\frac{1}{2}e^{\beta(\mu - \epsilon_a)} + 1}$$

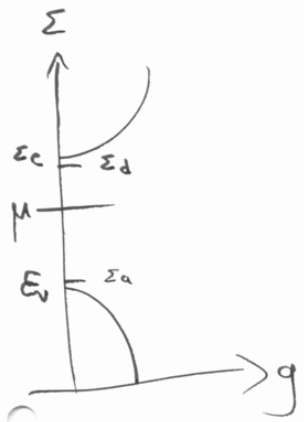
Selvi orkuskipta
íbatts hlöfl.
í jafnvægi

N_a : rafþegar
 N_d : rafgjafar

T=0 $N_d \geq N_a$

$n_c + n_d - p_v - p_a = N_d - N_a$

Gerum við fyrir



$$\Sigma_d - \mu \gg k_B T \quad E_g \gg k_B T$$

$$\mu - \Sigma_a \gg k_B T$$

↓
 $n_d \ll N_d$
 $p_a \ll N_a$ } Jónæðir rafgjafar + þega

$$\Delta n = n_c - p_v \approx N_d - N_a$$

$$\rightarrow \begin{cases} n_c \\ p_v \end{cases} = \frac{1}{2} \left[(N_d - N_a)^2 + 4n_i^2 \right]^{1/2} \pm \frac{1}{2} [N_d - N_a]$$

$$\frac{N_d - N_a}{n_i} = 2 \sinh \beta (\mu - \mu_i)$$

$E_g \gg k_B T$ og $|N_d - N_a|$ er ekki mörgum stöðum frá n_i vörum en n_i

$$\rightarrow \mu \approx \mu_i$$

Lág íbót

$$n_i \gg |N_d - N_a|$$

$$\begin{cases} n_c \\ p_v \end{cases} = n_i \left[\frac{(N_d - N_a)^2}{4n_i^2} + 1 \right]^{1/2} \pm \frac{1}{2} [N_d - N_a]$$

$$\approx n_i \pm \frac{1}{2} [N_d - N_a]$$

miðil íbót

$$n_i \ll |N_d - N_a|, \text{ en } \begin{cases} \Sigma_d - \mu \gg k_B T \\ \mu - \Sigma_a \gg k_B T \end{cases}$$

$$n_c \approx N_d - N_a$$

$$p_v \approx \frac{1}{2} \left((N_d - N_a)^2 + 4n_i^2 \right)^{1/2} - \frac{1}{2} (N_d - N_a)$$

$\frac{N_d > N_a}{n\text{-epni}}$

$$\approx \frac{1}{2} (N_d - N_a) \left(1 + \frac{4n_i^2}{(N_d - N_a)^2} \right)^{1/2} - \frac{1}{2} (N_d - N_a)$$

$$\approx \frac{1}{2} (N_d - N_a) \left(1 + \frac{2n_i^2}{(N_d - N_a)^2} \dots \right) - \frac{1}{2} (N_d - N_a) \approx \frac{n_i^2}{N_d - N_a}$$

$\rightarrow n_c \gg p_v$

pegar $\frac{N_a > N_d}{}$

$n_c \approx \frac{n_i^2}{N_a - N_d}$

\rightarrow

$p_v \approx N_a - N_d$

$p_v \gg n_c$

p-efni

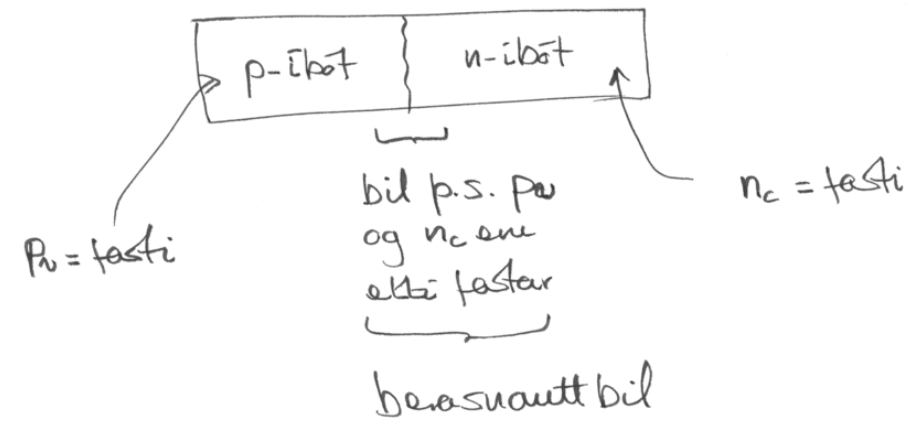
p-n samskyfti
í jafnvægi

Hálfleiðara tekni byggðist mest á p-n samsk.
sem dregin eru upp úr bröð.

Síðan betast við

- MBE samskyfti, íböt S-íböt
- LPE yfirgründur, sniá mótum
- ⋮
- ⋮

en p-n-samskyfti gefa úmsýn í
einföldustu hlutina



Veljum líkan skarpra stíla

$$N_d(x) = \begin{cases} N_d & x > 0 \\ 0 & x < 0 \end{cases}$$

$$N_a(x) = \begin{cases} 0 & x > 0 \\ N_a & x < 0 \end{cases}$$

~ Hálf siglata líkan $e\Delta\phi \ll E_g$

$$n_c(x) = N_c(T) \exp\left\{-\frac{(\Sigma_c - e\phi(x) - \mu)}{k_B T}\right\}$$

$$p_v(x) = P_v(T) \exp\left\{-\frac{(\mu - \Sigma_v + e\phi(x))}{k_B T}\right\}$$

~ Jadarstilyrði hlöðslubær hlýgas

$$n_c(\infty) = N_c(T) \exp\left\{-\frac{(\Sigma_c - e\phi(\infty) - \mu)}{k_B T}\right\} = N_d$$

$$p_v(\infty) = P_v(T) \exp\left\{-\frac{(\mu - \Sigma_v + e\phi(-\infty))}{k_B T}\right\} = N_a$$

Jafnvægi \rightarrow μ : fasti

\rightarrow

$$N_a N_d = N_c(T) P_v(T) \exp\left\{-\frac{(\Sigma_c - \Sigma_v + e\phi(-\infty) - e\phi(\infty))}{k_B T}\right\}$$

$$\ln\left\{\frac{N_a N_d}{N_c P_v}\right\} = -\frac{(\Sigma_c - \Sigma_v + e\phi(-\infty) - e\phi(\infty))}{k_B T}$$

$$\rightarrow e\phi(\infty) - e\phi(-\infty) = \Sigma_c - \Sigma_v + k_B T \ln\left\{\frac{N_a N_d}{N_c P_v}\right\}$$

$$\rightarrow e\Delta\phi = E_g + k_B T \ln\left\{\frac{N_d N_a}{N_c P_v}\right\}$$

↑
mathis beyting v. p.a. μ = fasti

~ Eins mathi Stöðgreina rafefnamatti

$$\mu_e(x) = \mu + e\phi(x)$$

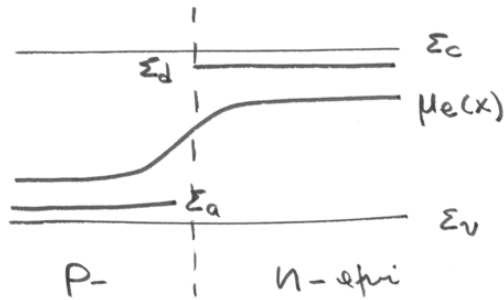
með samsvarendi umskrift fyrir P_v og N_c

$$\rightarrow e\Delta\phi = \mu_e(\infty) - \mu_e(-\infty)$$

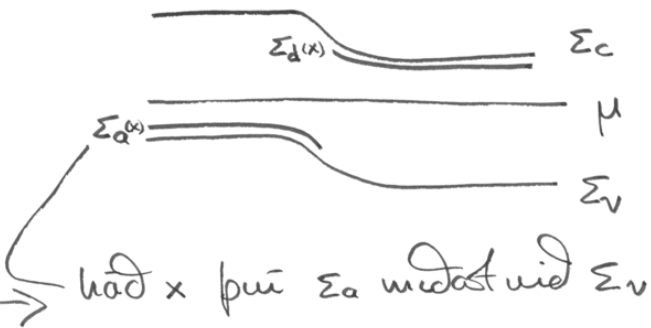
Tvær myndir sama fyrirbæris

(4)

$\mu_e(x)$:



μ :



Notum jöfnu Poissons til að reikna
rofstöðumætti ϕ út frá hitastæriföringunni $\rho(x)$

↳ Dovda beygning við
samsteyti

$$-\nabla^2 \phi = \frac{4\pi}{\epsilon} \rho(x)$$

með

$$\rho(x) = e \{ N_d(x) - N_a(x) - n_c(x) + p_v(x) \}$$

$n_c(x)$ og $p_v(x)$ eru háð $\phi(x)$

→ ólíkurleg jafna $\phi(x)$ sem venjulega
er byst tölulega

Til þess að stjóra samsteyti verður
efthirferandi einfalt útan stöðad

$$e\Delta\phi \sim E_g \gg k_B T \quad \text{notum}$$

höfum $n_c(x) = N_c(T) \exp \{ -(\Sigma_c - e\phi(x) - \mu) / \beta \}$ ①

$$N_d = N_c(T) \exp \{ -(\Sigma_c - e\phi(\infty) - \mu) / \beta \}$$
 ②

$$\text{②} \rightarrow N_c(T) = N_d \exp \{ (\Sigma_c - e\phi(\infty) - \mu) / \beta \}$$

(5)

Notum i ①

$$n_c(x) = N_d \exp\{-(e\phi(\infty) - e\phi(x))\beta\}$$

sins fast

$$p_v(x) = N_a \exp\{-(e\phi(x) - \phi(-\infty))\beta\}$$

$\phi'(x) \neq 0$ fyrir $-d_p \leq x \leq d_n$ genumræð
fyrir

$$\rightarrow n_c = N_d \text{ ef } x > d_n$$

$$p_v = N_a \text{ ef } x < -d_p$$

vel innan bilins gildir $n_c \ll N_d$
 $p_v \ll N_a$

↑
þar gildir $p(x) = e(N_d(x) - N_a(x))$

⑥

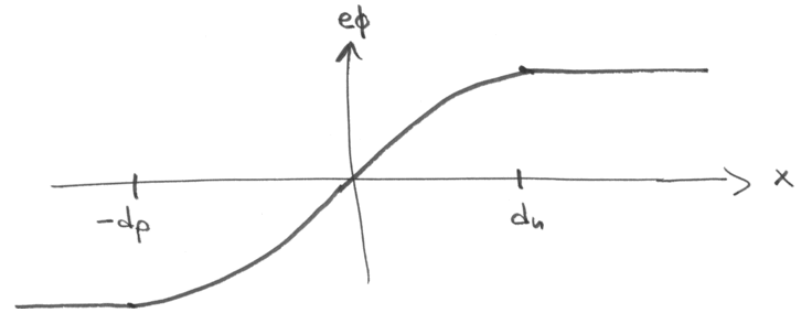
þú veður Poisson jafnan

⑦

$$\phi''(x) = \begin{cases} 0 & \text{ef } x > d_n \\ -\frac{4\pi e}{\epsilon} N_d & \text{ef } d_n > x > 0 \\ \frac{4\pi e}{\epsilon} N_a & \text{ef } 0 > x > -d_p \\ 0 & \text{ef } -d_p > x \end{cases}$$

Sem má heilda

$$\phi(x) = \begin{cases} \phi(\infty) \\ \phi(\infty) - \left(\frac{2\pi e N_d}{\epsilon}\right) (x - d_n)^2 \\ \phi(-\infty) + \left(\frac{2\pi e N_a}{\epsilon}\right) (x + d_p)^2 \\ \phi(-\infty) \end{cases}$$



(8)

Jöðarst. + samfella + samfella ϕ'
eru upptýtt í $x = -d_p$ og d_n

Samfella ϕ' í $x=0$

getur $N_d d_n = N_a d_p$

Samfella ϕ í $x=0$

getur $(\frac{2\pi e}{\epsilon})(N_d d_n^2 + N_a d_p^2) = \Delta\phi$

saman jöfnur fyrir d_n og d_p

$$d_{n,p} = \left\{ \frac{\left(\frac{N_a}{N_d}\right)^{\pm 1} \epsilon \Delta\phi}{(N_d + N_a) 2\pi e} \right\}^{1/2}$$

munu $\Delta\phi \sim E_g$

(1)

Afdriftun p-u-samsteypa

ytri spennu lögd á samsteypin

mest spennu fall p.s. við nám er
kost \leftrightarrow bersuanda bilinu

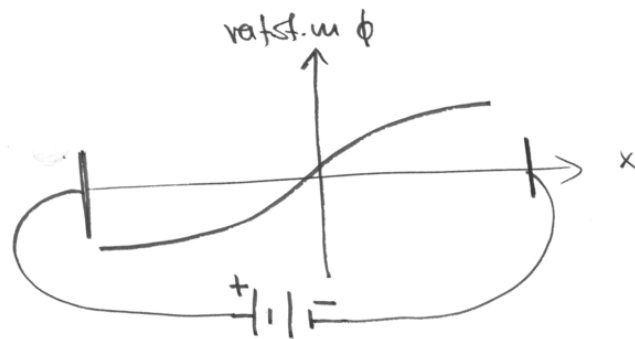
Gerum völd fyrir öð allt spennu fallid
sæ þar

fyrir $V=0$ var áður reiknað $\Delta\phi$
sem við köllum nú $(\Delta\phi)_0$

fyrir $V \neq 0$ er breyting rafstöðumathisins
yfir bersuanda bilid

$$\Delta\phi = (\Delta\phi)_0 - V$$

Ef V er lagt þ.a. rafstöðumatti
p-enda er hollbót um. x. n-enda



fyrir $V=0$ fækkast stórt beranæðaða bílsins ⁽²⁾

$$d_{n,p} = \left\{ f(N_a, N_d) \Delta\phi \right\}^{1/2}$$

þú fast fyrir $V \neq 0$

$$d_{n,p}(V) = d_{n,p}(0) \left\{ 1 - \frac{V}{(\Delta\phi)_0} \right\}^{1/2}$$

Atlitunum nú rafströum $j = qJ$ þ.s. J er þéttleiki eindastraums, fjöldi einda sem steyma í gegnum flöt á tíma einingu

$$j_e = -eJ_e, \quad j_h = eJ_h$$



rafendastraums-
þéttleiki



holustraums-
þéttleiki

$V > 0$

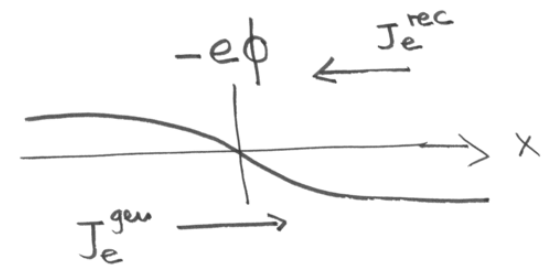
Beranæðaðabilið minnkar
viðunám bílsins minnkar

$V < 0$

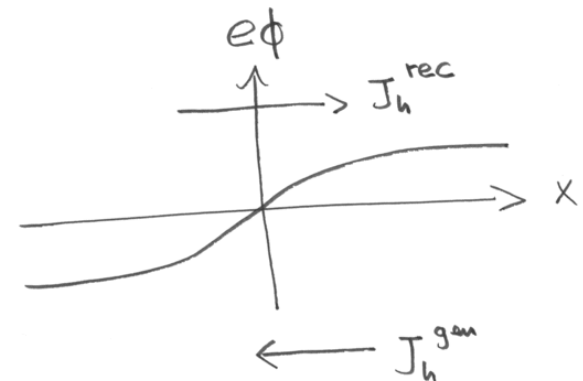
Beranæðaðabilið stóttar og
viðunám þess eykst

Hvernig lítur matlið (stöðuásta) eindanna út

Rafendi



Holu



J^{rec} : Sameiningar strömmur (eyðir)

J^{gen} : Framleiðslu strömmur (stapar)

Skodun fyrir hólur

J_h^{gen} byrjar þarsam fær hólur en en þeim er ýtt í gegnum

$J_h^{gen} \sim e^{-e(\Delta\phi)_0}$
↑

brásnæðabílid ef þær komast uomi þui,

tilurðar-
líkur

EKKI mjög háður stord og spennufalli á bílinu

J_h^{rec} Rotsviðid á bílinu vinnur á móti strömmunum. eindeirnar komast yfir þröskuldin með hitaorku

$\rightarrow J_h^{rec} \sim e^{-e(\Delta\phi_0 - V)\beta}$

J_h^{rec} er mjög háður V andstótt J_h^{gen}

þui ef V=0

$\rightarrow J_h^{rec}(V=0) = J_h^{gen}$

og þui

$J_h^{rec}(V) = J_h^{gen} e^{eV\beta}$

heldar hólur strömmur þetta tekinn er

$J_h = J_h^{rec} - J_h^{gen}$
↑

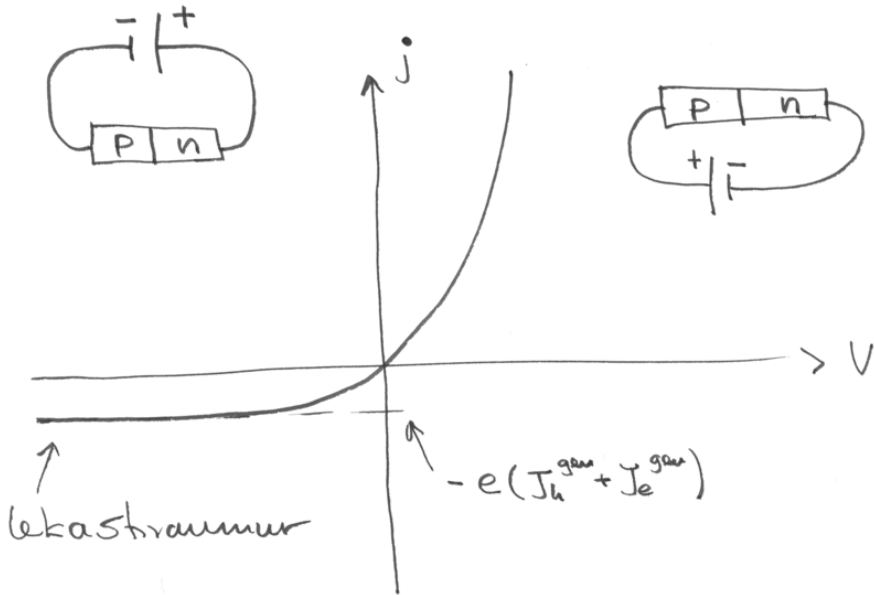
Stefnan roðst af hlut fallinu

$\rightarrow J_h = J_h^{rec} - J_h^{gen} = J_h^{gen} (e^{eV\beta} - 1)$

svipað má leida út fyrir rof eindeir strömmur þetta leita

því fast

$$j = e \underbrace{(J_h^{gen} + J_e^{gen})}_{\sim \text{fasti}} (e^{eV/\beta} - 1)$$



afritkun möguleg

p-n: samsteyti → tvístur (dióða)

margfeldari $V = (V_1 + V_2)$

$$j(V_1 + V_2) \sim j(V_1) \cdot j(V_2) \quad \text{ef } eV_1, V_2 \gg k_B T$$